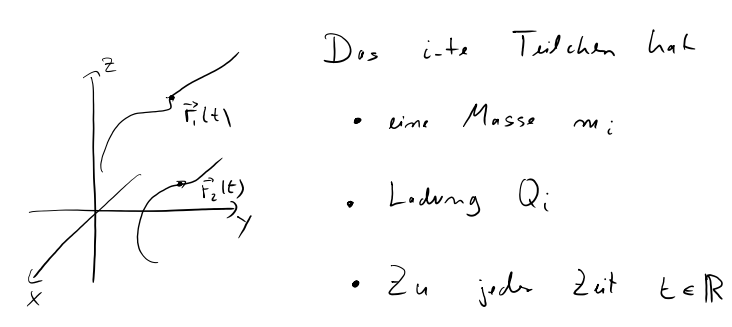
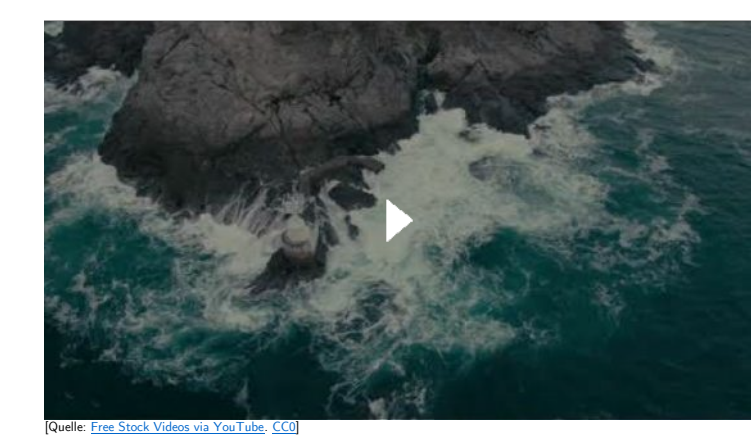
#### 1.1 Modellannahmen

Modell: Punktteilchen im R3.



Cine Position
$$\overrightarrow{r_i}(t) = \begin{pmatrix} x_i(t) \\ y_i(t) \\ \vdots \\ t_i(t) \end{pmatrix}$$

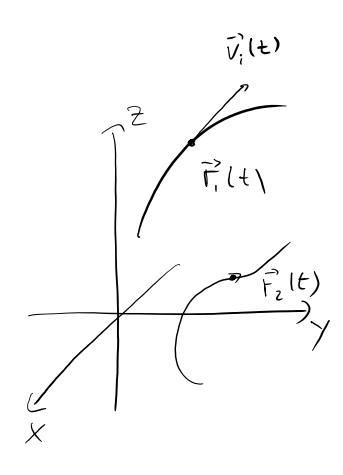


Erfolge führten zum mechanistischem Weltbild: Wirklichkeit ist Mechanik.

Später wurden Limitierungen des Models deutlich:

- Begriff des "Punktteilchens" problematisch. Tatsächliche Körper scheinen ausgedeht. Punktteilchen mit elektrischer Ladung hätten unendliche Eigenenergie. (Modellbildung wird in der Theorie der starren Körper gerechtfertigt)
- SRT: Masse & Teilchenzahl nicht konstant. (Kann bei geringen Energien ignoriert werden)
- ART: euklidisches Modell keine korrekte Beschreibung der Geometrie des Raumes. (Aber auf kurzen Skalen eine gute Näherung)
- QM: Man kann Teilchen keinen definitiven Ort zuweisen. Physikalische Eigenschaften können nicht unabhängig von Beobachtern beschrieben werden! (Aber gute Näherung für große Teilchen die mit der Umgebung wechselwirken)

### 1.2 Bewegungslgeichungen



glichungen beschrieben.

$$\vec{\nabla}_{i}(t) = \frac{d}{dt} \vec{\Gamma}_{i}(t)$$

$$= \vec{\Gamma}_{i}(t)$$

$$= \begin{bmatrix} \dot{x}_{i}(t) \\ \dot{y}_{i}(t) \\ \dot{z}_{i}(t) \end{bmatrix}$$

$$\vec{\alpha}_{i}(t) = \vec{\Gamma}_{i}(t)$$
Beschlaningung

## Zutaten:



Ein Bezugssystem ist die Wahl eines orthonormalen Koordinatensystems im dreidimensionalen Raum.

Ein Bezugsystem ist inertial wenn für die Bahnen von Teilchen, die unter keinem äußeren Einfluss stehen, die Beschleunigung verschwindet.

$$\vec{\Gamma}_i(t) = 0 \iff \vec{\Gamma}_i(t) = \vec{\Gamma}_i(t_0) + t\vec{\Gamma}_i(t_0)$$
Antanysbed.

"garadinin, glachtorming"



### Anmerkung:

Es ist nicht sehr klar, wie man feststellen soll, dass "kein äußerer Einfluss" wirkt. Die Definition ist daher nicht besonders befriedigend.

In der Praxis ist ein relativ zur Erdoberfläche fixiertes Koordinatensystem eine annehmbare Annährung an ein Intertialsystem. Ein im luftleeren Raum frei fallendes System (z.B. im Orbit um die Erde) ist deutlich besser.

Fürs erste nehmen wir an, dass alle Koordinatensysteme mit denen wir arbeiten, inertial sind.



Beschleunigung ist proportional zu einer Kraft.

$$("\overline{+}=ma")$$

$$\overrightarrow{\Gamma}_{i}(t)=\frac{1}{m!}\overrightarrow{\Gamma}_{i}(\overrightarrow{\Gamma}(t),\overrightarrow{\Gamma}(t),t)$$

## Anmerkungen:

- Kräfte hängen i.d.R. nur von den Orten, der Zeit und den Geschwindigkeiten ab.
- Die Formel F=m a definiert erst mal nur eine neue Größe. Um Vorhersagen zu ermöglichen, braucht man eine weitere Zutat:



Regeln, um den Kraftvektor in physikalisch relevanten Situationen zu berechen.

3.1

Eine Liste fundamentaler Kraftgesetze:

Bsp.: • Gravitation

$$\overrightarrow{F}_{i,j} = m_{i,m_{i,j}} G \frac{\overrightarrow{\Gamma}_{i,j} - \overrightarrow{\Gamma}_{i,l}}{||\overrightarrow{\Gamma}_{i,j} - \overrightarrow{\Gamma}_{i,l}||^{3}}$$
with out doub join

• Coulomb

$$\overrightarrow{F}_{i,j} = -\frac{e_{i}e_{j}}{4\pi} \frac{\overrightarrow{\Gamma}_{i,j} - \overrightarrow{\Gamma}_{i,l}}{||\overrightarrow{\Gamma}_{i,j} - \overrightarrow{\Gamma}_{i,l}||^{3}}$$
• All fund Kraftgystze estillen  $\overrightarrow{T}_{i,j} = -\overrightarrow{T}_{i,l}$ 

Superpositionsprinzip: Gesamtkraft ist die Summe aller individuellen Kräfte

Die drei "Zutaten" sind angelehnt an, aber nicht identisch mit, den "Drei Newtonschen Gesetzen".

Tatsächlich sind die "Gesetze" von Newton keine Gesetze im modernen Sinn. D.h. sie sind nicht ein vollständiges System von Axiomen, aus denen sich die Theorie ableiten lässt.

Das erste Gesetz "In Abwesenheit äußerer Einflüsse bewegen sich Teilchen geradlinig und gleichförmig" ist eher eine Definition (nämlich eines Intertialsystems) als ein Gesetz, und die "Abwesenheit von Einflüssen" ist schwer festzustellen.

Das zweite Gesetz "F = m a" ist auch mehr Definition (der Kraft) als ein Gesetz, das Vorhersagen ermöglicht. Schließlich ist **jede** Bahn damit kompatibel - man setze einfach F(t):=m a(t). Erst zusammen mit spezifischen Kraftgesetzen erhält man eine Theorie, die geprüft werden kann.

Das dritte Gesetz "Kraft = Gegenkraft" schränkt die möglichen Kraftgesetze ein wenig ein. Hieraus kann man schon erste Konsequenzen ableiten (z.B. Impulserhaltung -- dazu später mehr). Aber warum ausgerechnet dieser eine Aspekt fundamentaler Kräfte den Status eines Gesetzes erlang hat, und deren anderen Eigenschaften nicht, ist nicht offenbar.

Man sieht hier einen Unterschied zwischen mathematischer und physikalischer Tradition.

Mathematiker sind "Geschichtsrevisionisten". Sie erforschen eine Theorie - und sobald sie gut verstanden ist, wird die

ursprüngliche Formulierung vergessen, und durch eine minimalistische, stringente Version ersetzt.

Physiker sind eher traditionsbewusst und wiederholen alten Konzepte, auch wenn sie aus moderner Sicht nicht mehr ideal sind.

(Philosophen sind natürlich noch um einiges extremer. Dort wird die Meinung der ursprünglichen Autoren so hoch geschätzt, dass man sogar Originalquellen liest... Abstrus, oder?)

## 1.3 Ziele der Mechanik

Gegeben Bewegungsgleichungen:

$$N = 3m \begin{cases} \overrightarrow{\Gamma}_{1}(t) = \frac{1}{m_{1}} \overrightarrow{T}_{1}(\overrightarrow{\Gamma}_{1}, \overrightarrow{\Gamma}_{1}, t) \\ \vdots \\ \overrightarrow{\Gamma}_{m}(t) = \frac{1}{m_{m}} \overrightarrow{T}_{n}(\overrightarrow{\Gamma}_{1}, \overrightarrow{\Gamma}_{1}, t) \end{cases} := \begin{cases} \overrightarrow{\Gamma}_{1} \\ \overrightarrow{\Gamma}_{2} \\ \vdots \\ \overrightarrow{\Gamma}_{m}(t) = \frac{1}{m_{m}} \overrightarrow{T}_{n}(\overrightarrow{\Gamma}_{1}, \overrightarrow{\Gamma}_{1}, t) \\ \vdots \\ \overrightarrow{\Gamma}_{m}(t) = \frac{1}{m_{m}} \overrightarrow{T}_{n}(\overrightarrow{\Gamma}_{1}, \overrightarrow{\Gamma}_{1}, t) \end{cases} := \begin{cases} \overrightarrow{\Gamma}_{1} \\ \overrightarrow{\Gamma}_{2} \\ \vdots \\ \overrightarrow{\Gamma}_{m}(t) = \frac{1}{m_{m}} \overrightarrow{T}_{n}(\overrightarrow{\Gamma}_{1}, \overrightarrow{\Gamma}_{1}, t) \\ \vdots \\ \overrightarrow{\Gamma}_{m}(t) = \frac{1}{m_{m}} \overrightarrow{T}_{n}(\overrightarrow{\Gamma}_{1}, \overrightarrow{\Gamma}_{1}, t) \end{cases} := \begin{cases} \overrightarrow{\Gamma}_{1} \\ \vdots \\ \overrightarrow{\Gamma}_{m}(t) = \frac{1}{m_{m}} \overrightarrow{T}_{n}(\overrightarrow{\Gamma}_{1}, \overrightarrow{\Gamma}_{1}, t) \\ \vdots \\ \overrightarrow{\Gamma}_{m}(t) = \frac{1}{m_{m}} \overrightarrow{T}_{n}(\overrightarrow{\Gamma}_{1}, \overrightarrow{\Gamma}_{1}, t) \end{cases} := \begin{cases} \overrightarrow{\Gamma}_{1} \\ \vdots \\ \overrightarrow{\Gamma}_{m}(t) = \frac{1}{m_{m}} \overrightarrow{T}_{n}(\overrightarrow{\Gamma}_{1}, \overrightarrow{\Gamma}_{1}, t) \\ \vdots \\ \overrightarrow{\Gamma}_{m}(t) = \frac{1}{m_{m}} \overrightarrow{T}_{n}(\overrightarrow{\Gamma}_{1}, \overrightarrow{\Gamma}_{1}, t) \end{cases} := \begin{cases} \overrightarrow{\Gamma}_{1} \\ \vdots \\ \overrightarrow{\Gamma}_{m}(t) = \frac{1}{m_{m}} \overrightarrow{T}_{n}(\overrightarrow{\Gamma}_{1}, \overrightarrow{\Gamma}_{1}, t) \\ \vdots \\ \overrightarrow{\Gamma}_{m}(t) = \frac{1}{m_{m}} \overrightarrow{T}_{n}(\overrightarrow{\Gamma}_{1}, \overrightarrow{\Gamma}_{1}, t) \end{cases} := \begin{cases} \overrightarrow{\Gamma}_{1} \\ \vdots \\ \overrightarrow{\Gamma}_{m}(t) = \frac{1}{m_{m}} \overrightarrow{T}_{n}(\overrightarrow{\Gamma}_{1}, \overrightarrow{\Gamma}_{1}, t) \\ \vdots \\ \overrightarrow{\Gamma}_{m}(t) = \frac{1}{m_{m}} \overrightarrow{T}_{n}(\overrightarrow{\Gamma}_{1}, \overrightarrow{\Gamma}_{1}, t) \\ \vdots \\ \overrightarrow{\Gamma}_{m}(t) = \frac{1}{m_{m}} \overrightarrow{T}_{n}(\overrightarrow{\Gamma}_{1}, \overrightarrow{\Gamma}_{1}, t) \end{cases} := \begin{cases} \overrightarrow{\Gamma}_{1} \\ \vdots \\ \overrightarrow{\Gamma}_{m}(t) = \frac{1}{m_{m}} \overrightarrow{T}_{n}(\overrightarrow{\Gamma}_{1}, \overrightarrow{\Gamma}_{1}, t) \\ \vdots \\ \overrightarrow{\Gamma}_{m}(t) = \frac{1}{m_{m}} \overrightarrow{T}_{n}(\overrightarrow{\Gamma}_{1}, \overrightarrow{\Gamma}_{1}, t) \end{cases} := \begin{cases} \overrightarrow{\Gamma}_{1} \\ \vdots \\ \overrightarrow{\Gamma}_{m}(t) = \frac{1}{m_{m}} \overrightarrow{T}_{n}(\overrightarrow{\Gamma}_{1}, \overrightarrow{\Gamma}_{1}, t) \\ \vdots \\ \overrightarrow{\Gamma}_{m}(t) = \frac{1}{m_{m}} \overrightarrow{T}_{n}(\overrightarrow{\Gamma}_{1}, \overrightarrow{\Gamma}_{1}, t) \end{cases} := \begin{cases} \overrightarrow{\Gamma}_{1} \\ \vdots \\ \overrightarrow{\Gamma}_{m}(t) = \frac{1}{m_{m}} \overrightarrow{T}_{n}(\overrightarrow{\Gamma}_{1}, \overrightarrow{\Gamma}_{1}, t) \\ \vdots \\ \overrightarrow{\Gamma}_{m}(t) = \frac{1}{m_{m}} \overrightarrow{T}_{n}(\overrightarrow{\Gamma}_{1}, \overrightarrow{\Gamma}_{1}, t) \end{cases} := \begin{cases} \overrightarrow{\Gamma}_{1} \\ \vdots \\ \overrightarrow{\Gamma}_{m}(t) = \frac{1}{m_{m}} \overrightarrow{T}_{n}(\overrightarrow{\Gamma}_{1}, \overrightarrow{\Gamma}_{1}, t) \\ \vdots \\ \overrightarrow{\Gamma}_{m}(t) = \frac{1}{m_{m}} \overrightarrow{T}_{n}(\overrightarrow{\Gamma}_{1}, \overrightarrow{\Gamma}_{1}, t) \end{cases} := \begin{cases} \overrightarrow{\Gamma}_{1} \\ \vdots \\ \overrightarrow{\Gamma}_{m}(t) = \frac{1}{m_{m}} \overrightarrow{T}_{n}(\overrightarrow{\Gamma}_{1}, \overrightarrow{\Gamma}_{1}, t) \end{cases} := \begin{cases} \overrightarrow{\Gamma}_{1} \\ \vdots \\ \overrightarrow{\Gamma}_{m}(t) = \frac{1}{m_{m}} \overrightarrow{T}_{n}(\overrightarrow{\Gamma}_{1}, \overrightarrow{\Gamma}_{1}, t) \end{cases} := \begin{cases} \overrightarrow{\Gamma}_{1} \\ \vdots \\ \overrightarrow{\Gamma}_{m}(t) = \frac{1}{m_{m}} \overrightarrow{T}_{1}(\overrightarrow{\Gamma}_{1}, \overrightarrow{\Gamma}_{1}, t) \end{cases} := \begin{cases} \overrightarrow{\Gamma}_{1} \\ \vdots \\ \overrightarrow{\Gamma}_{m}(t) = \frac{1}{m_{m}} \overrightarrow{T}_{1}(\overrightarrow{\Gamma}_{1}, \overrightarrow{\Gamma}_{1}, t) \end{cases} := \begin{cases} \overrightarrow{\Gamma}_{1} \\ \vdots \\ \overrightarrow{\Gamma}_{m}(t) = \frac{1}{m_{m}} \overrightarrow{T}_{1}(\overrightarrow{\Gamma}_{1},$$

$$\vec{\Gamma} := \begin{pmatrix} \Gamma_1 \\ \Gamma_2 \\ \Gamma_3 \\ \Gamma_4 \\ \vdots \\ \Gamma_M \end{pmatrix} := \begin{pmatrix} \chi_1 \\ \chi_2 \\ \vdots \\ \chi_n \\ \vdots \\ \chi_m \end{pmatrix}$$

## Mögliche Ziele:

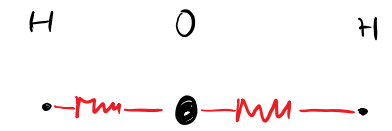
• Explizite Lösung durch elementare Funktionen

$$\int_{\frac{1}{2}}^{\frac{1}{2}} \Gamma(t) = A \sin(\omega t + \beta)$$

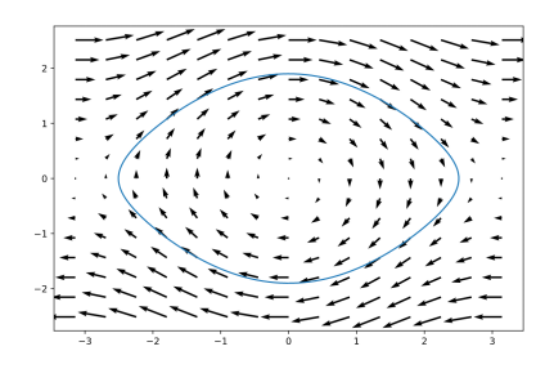
• Explizite Lösung mit Funktionen, die durch eindimensionale Integrale definiert sind ("Quadraturen")

$$\pm (\beta) = \sqrt{\frac{m\ell^2}{2}} \int_{0}^{\beta} \sqrt{E - 2mgl \sin^2 \frac{\beta'}{2}} d\beta'$$

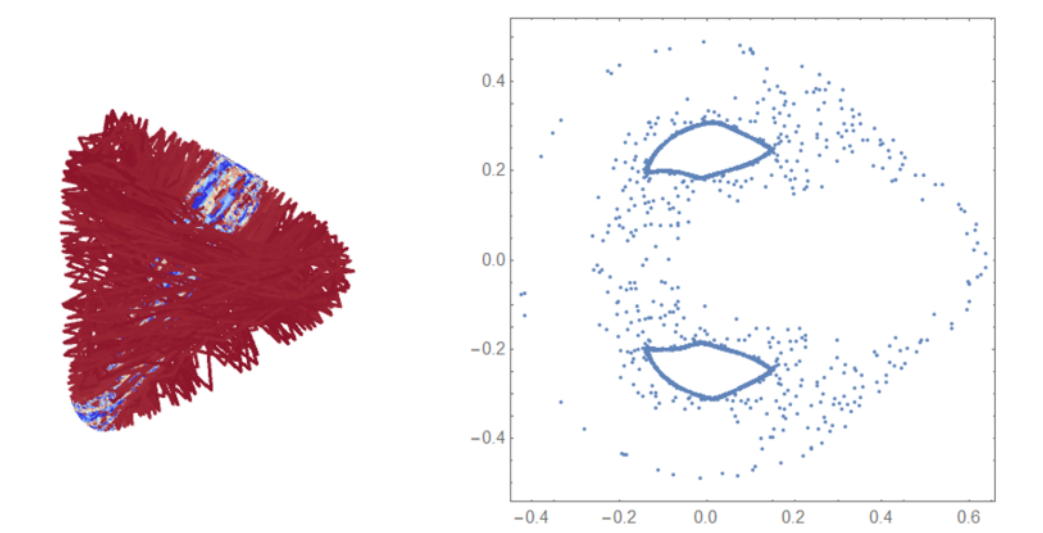
• Explizite Lösung vereinfachter, approximativer Bewegungslgeichungen



• Lösung durch numerische Integration



- Aussagen über qualitatives Verhalten
  - o Ungebunden, gebunden, periodische Lösungen
  - Stabil vs. chaotisch



2. Newtonsche Mechanik am Beispiel von eindimensionalen Systemen

Zum Aufwärmen analysieren wir im Detail die Dynamik von Systemen mit einem Freiheitsgrad.

#### Ziele

Sie werden:

- ...lernen, Bewegungsgleichungen im Phasenraum zu formulieren und qualitative Eigenschaften dynamischer Systeme am Phasenraumportrait abzulesen;
- ...Bewegungsgleichungen numerisch lösen
- ...den Begriff der Energie einführen und sehen, wie man mit diesem Konzept eindimensionale Systeme mittels Quadraturen lösen kann,
- ...Kontakt mit speziellen Funktionen machen.

#### **Beispiel**

Unser Hauptbeispiel ist das mathematische Pendel:



ein Punktteilchen mit Masse m, das an einer starren Aufhängung der Länge I befestigt ist. Wenn man es aus der unteren Ruhelage um den Winkel  $\phi$  auslenkt, wirkt eine Rückstellkraft mit dem Betrag

$$F(\phi) = -mg \sin(\phi)$$

Für kleine Auslenkungen, kann man den Sinus um 0 herum zur ersten Ordnung nach Taylor approximieren und erhält

$$F(\phi) \simeq -mg \phi$$
  $(\phi \ll 1)$ .

Dieses approximative Modell nennt man das harmonische Pendel.

(Es gibt auch das physikalische Pendel. Dort hat das Gewicht endliche Ausdehnung und wird nicht als Punktmasse modelliert).

#### Anwendungen

Die Resultate in diesem Kapitel haben verschiedene Anwendungen.

- Da der physikalische Raum drei Dimensionen hat, ist es erst mal nicht offensichtlich, dass Systeme mit nur einem Freiheitsgrad physikalisch sind. Wir werden später sehen, dass man Freiheitsgrade aus dem Modell eliminieren kann, wenn sie durch Zwangskräfte eingeschränkt sind. Im Fall des Pendels, z.B., kann man sich vorstellen, dass die Masse an einem stabilien Stab befestigt ist. Wenn man versucht, sie in Richtung Aufhängung zu bewegen, übt der Stab eine starke "Zwangskraft" in die Gegenrichtung aus. Die Details besprechen wir in der Lagrangemechanik.
- Im nächsten Kapitel zum Zweikörperproblem werden wir sehen, dass man z.B. die Bewegungsgleichungen von zwei Himmelskörpern auf ein eindimensionales Problem reduzieren kann.
- Viele der Begriff aus diesem Kapitel werden Ihnen in den ersten Wochen der Quantenmechanik-Vorlesung wieder begegnen.

## 2.1 Dynmaik im Phasenram

Newtonsche BW Gli

(N) 
$$\ddot{r}(t) = \frac{1}{m} \mp (\vec{r}(t), \dot{\vec{r}}(t))$$

Schreibe um im 2 gekop. DGLa 1. Ordnung.

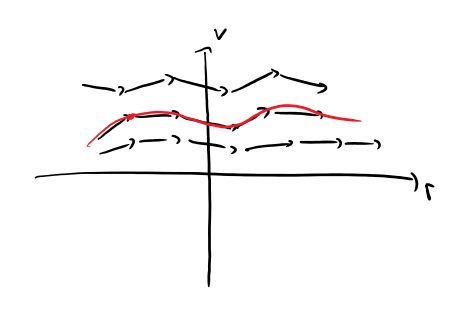
 $D_{a2u}: V(t) = \dot{r}(t)$ 

$$(N) \leftarrow \begin{cases} \dot{r}(t) = v(t) \\ \dot{v}(t) = \frac{1}{m} T(r(t), v(t)) \end{cases}$$

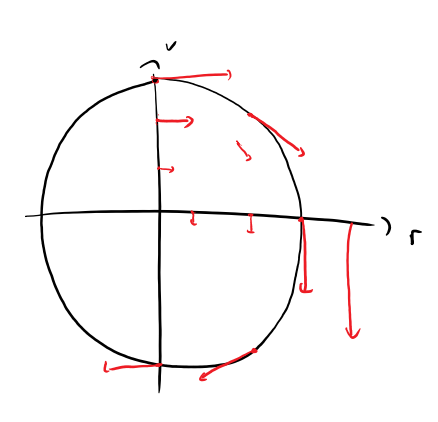
$$\vec{X}(t) = \begin{pmatrix} \Gamma(t) \\ V(t) \end{pmatrix} \in \mathbb{R}^2$$
 Phasam raum

$$\overrightarrow{f}(\vec{x}) = \begin{pmatrix} v \\ \frac{1}{m} \mp (r, v) \end{pmatrix}$$

Vektorfeld (der Kraft 7)



Bsp.: Harman. Osz. m=1, K=1, ~> F(r)=-r



$$\frac{1}{\sqrt{\frac{x^2}{t^2}}} = \frac{1}{\sqrt{\frac{x^2}{t^2}}} = \frac{1}{\sqrt{\frac{x^2}{t^2}}}$$

Test.

1 a cost \ ~.

Test:  

$$\frac{d}{dt} \vec{x}'(t) = \begin{pmatrix} a \cos t \\ -a \sin t \end{pmatrix} = \vec{f} (\vec{x}(t))$$

$$\frac{d}{dt} \vec{x}'(t) = \vec{f}'(\vec{x}'(t))$$

ment men Integral kurve des V.F.

## 2.1.1 Computerimplementierung

http://www.thp.uni-koeln.de/gross/tp1-blog/posts/pendel-phasenraum/

## Phasenraumfluss

Bewegungsgleichung für das mathematische Pendel:

$$\ddot{\phi}(t) = -\sin\phi(t). \tag{1}$$

Wir führen eine Variable v(t) für die erste Zeitableitung ein

$$v(t) = \phi(t)$$
.

Dann ist (1) äquivalent zu diesem System aus zwei gekoppelten DGL'en erster Ordnung

$$\dot{\phi}(t) = v(t) 
\dot{v}(t) = -\sin\phi(t).$$
(2)

```
import matplotlib.pyplot as plt
```

# Erzeuge das Richtungsvektorfeld, dass durch die rechte Seite von (2) gegeben ist.

# Definitionsbereich: Ein Gitter von 15 x 15 Punkten im Bereich

# -2 pi ... 2 pi (für phi), # - pi ... pi (für v).

phi, v = np.meshgrid(np.linspace(-2\*np.pi, 2\*np.pi, 15), np.linspace(np.pi,-np.pi, 15))

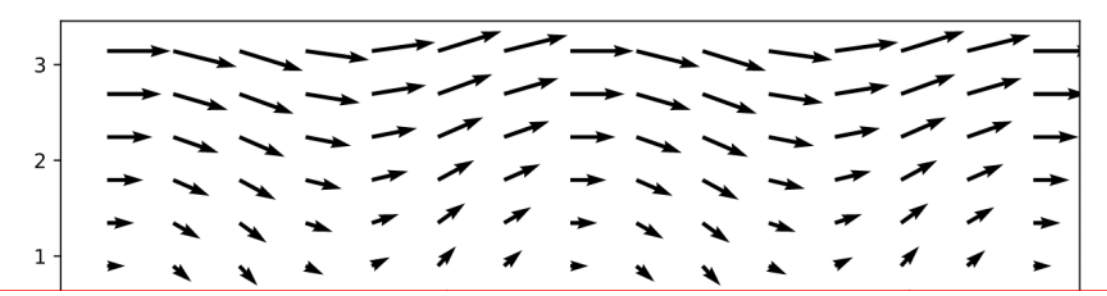
# Berechne das Vektorfeld wie in Formel (2)

F\_phi = v F\_v = -np.sin(phi)

import numpy as np

# Matplotlib kann Vektorfelder mit einem "Quiver-Plot" visualisieren

plt.quiver(phi,v,F\_phi,F\_v);



•

#### 2.1.2 Euler-Verfahren

$$\vec{x}(0) = \vec{y}$$
, find  $\vec{x}(t)$ 

• Will "klims" Zeitinter ord 
$$\tau$$
.

• Für Sitze

 $t = 0$ 
 $\vec{x}(0) = y$ 
 $t \in (0, \tau]$ 
 $\vec{x}(t) = \vec{x}(0) + t \vec{f}(\vec{x}(0))$ 
 $\Rightarrow \frac{d}{dt}\vec{x}(t) = \vec{f}(\vec{x}(0))$ 
 $\vec{x}(t) = \vec{y}(\tau) + (t - \tau) \vec{f}(\vec{x}(\tau))$ 

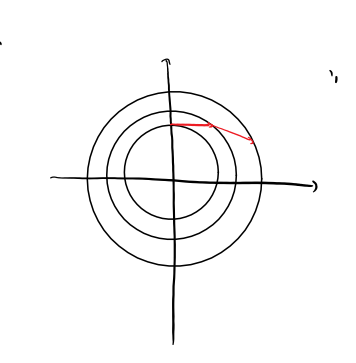
:

:

Wenn das Vektorfeld stetig ist, und  $\tau$  klein im Vergleich zu den Skalen, auf denen sich das Vektorfeld ändert, dann ist der Approximationsfehler in (\*) klein. Tatsächlich kann man zeigen, dass für feste Maximalzeit T und stetiges Vektofeld, das Eulerverfahren im Limes  $\tau \to 0$  exakt ist.

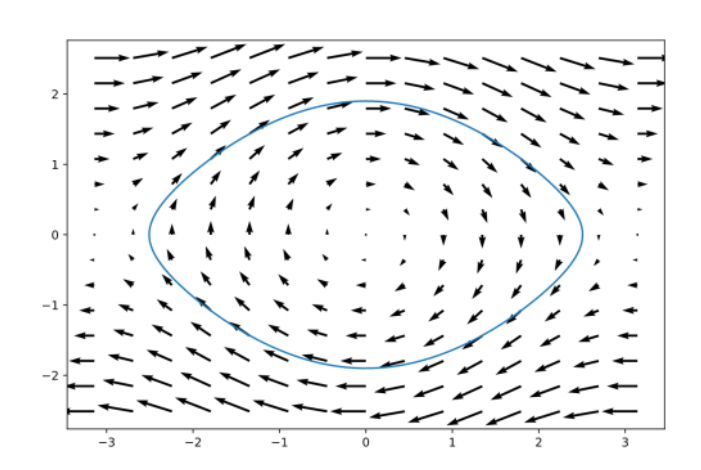
Allerdings konvergiert das Eulerverfahren sehr schlecht. In der Computerphysik werden Sie bessere Methoden kennenlernen.

Man kann leicht sehen, dass das Eulerverfahren für Probleme mit periodischen Lösungen dazu neigt, zu immer energiereicheren Lösungen zu springen. Vergl. VL.



# 2.1.3 Picard-Lindeloef: Existenz und Eindeutigkeit von Lösungen der

Bewegungslgeichungen



$$\frac{d}{dt}\vec{x}(t) = \frac{2}{3}(\vec{x}(t)), \qquad \vec{x}(t_0) = \vec{y}$$

## Globale Version des Satzes von Picard-Lindelöf [Bearbeiten |

Quelltext bearbeiten ]

Es sei E ein Banachraum und  $f{:}[a,b] \times E \to E$  eine stetige Funktion, die eine globale Lipschitz-Bedingung bezüglich der zweiten Variablen erfüllt. Dann gibt es zu jedem  $y_0 \in E$  eine globale Lösung  $y{:}[a,b] \to E$  des Anfangswertproblems

$$y'=f(\cdot,y),\quad y(a)=y_0$$
 .

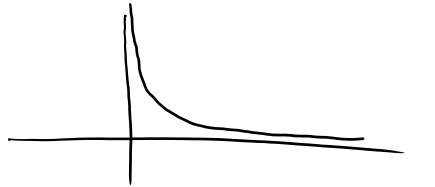
Es gibt keine weiteren (lokalen) Lösungen.

## Wirtwbuch

Picard-Limd.	TPI
E	
Y [0,6]	Zuit interval
£(·,y)	£(f' x(f))
y'= {(·, y)	$\frac{d\xi}{dt} \vec{x}'(t) = \vec{f}(\xi, \vec{x}(\xi))$

Lipschitz: 
$$\|\vec{\nabla}_{\vec{x}} \vec{f}\| < \vec{G} \quad \forall \vec{x}$$
it

· Coulomb/Gravitation:



X

Also: Wenn das Vektorfeld hinreichend stetig ist, gibt es immer eine Lösung zu den Bewegungslgeichungen. Diese ist eindeutig.

Folgerung: Mechanische Systeme können Fixpunkte der Dynamik nie erreichen.

Warum?



2.2 Energiesatz

Definien:

$$\bullet T(v) = \frac{1}{2} m v^2$$

Emergicisate Si 
$$r(t)$$
 Lsy der BWGR:
$$\frac{1}{r}(t) = \frac{1}{m} \mp (r(t))$$
Down gill:
$$\frac{d}{dt} + 1(r(t), \dot{r}(t)) = 0$$

Also es gibt aim Ee IR s.d. HI riti, riti) = E & E.

ŋ

$$\frac{d}{dt} T(\dot{r}(t)) = \frac{dT}{dv}(\dot{r}(t)) \ddot{r}(t) = m \dot{r}(t) \ddot{r}(t) = \dot{r}(t) T(r(t))$$

$$\frac{d}{dt}U(r(t)) = \frac{dU}{dr}(r(t))\dot{r}(t) = -\bar{r}(r(t))\dot{r}(t).$$

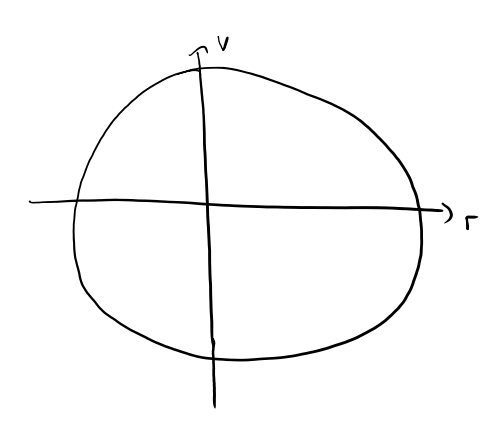
Bsp.: Harman. Ozz. m= K=1.

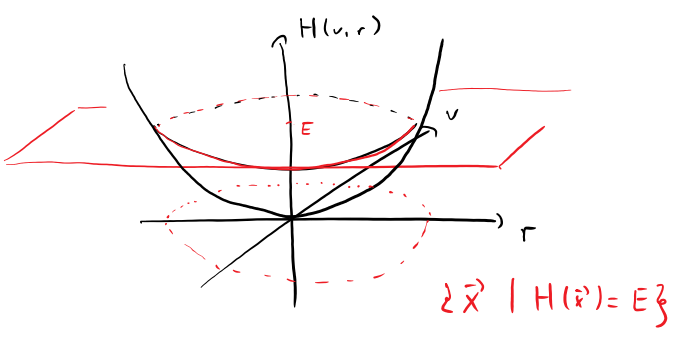
Bsp.: Harman. Usz. m= K=1.

$$T(v) = \frac{1}{2} m v^2,$$

$$(Y(L) = \frac{5}{l} L_s$$

$$T(v) = \frac{1}{2} m v^2$$
,  $U(r) = \frac{1}{2} r^2$ ,  $H(v, r) = \frac{1}{2} ||\overrightarrow{x}||^2$ 





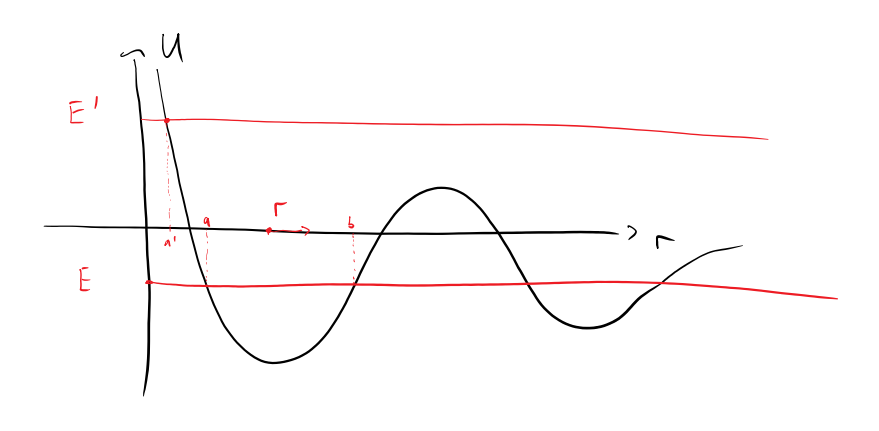
## Bemerkung

Wir sind drei Objekten begegnet, die alle die Interpretation einer "Energie" haben, die aber als mathematische Objekte sehr unterschiedlich sind.

Bitte nicht verwirren lassen!

• 
$$\underline{H: \mathbb{R}^2 \to \mathbb{R}}$$
  $\overrightarrow{x} \mapsto H(\overline{x}')$ 

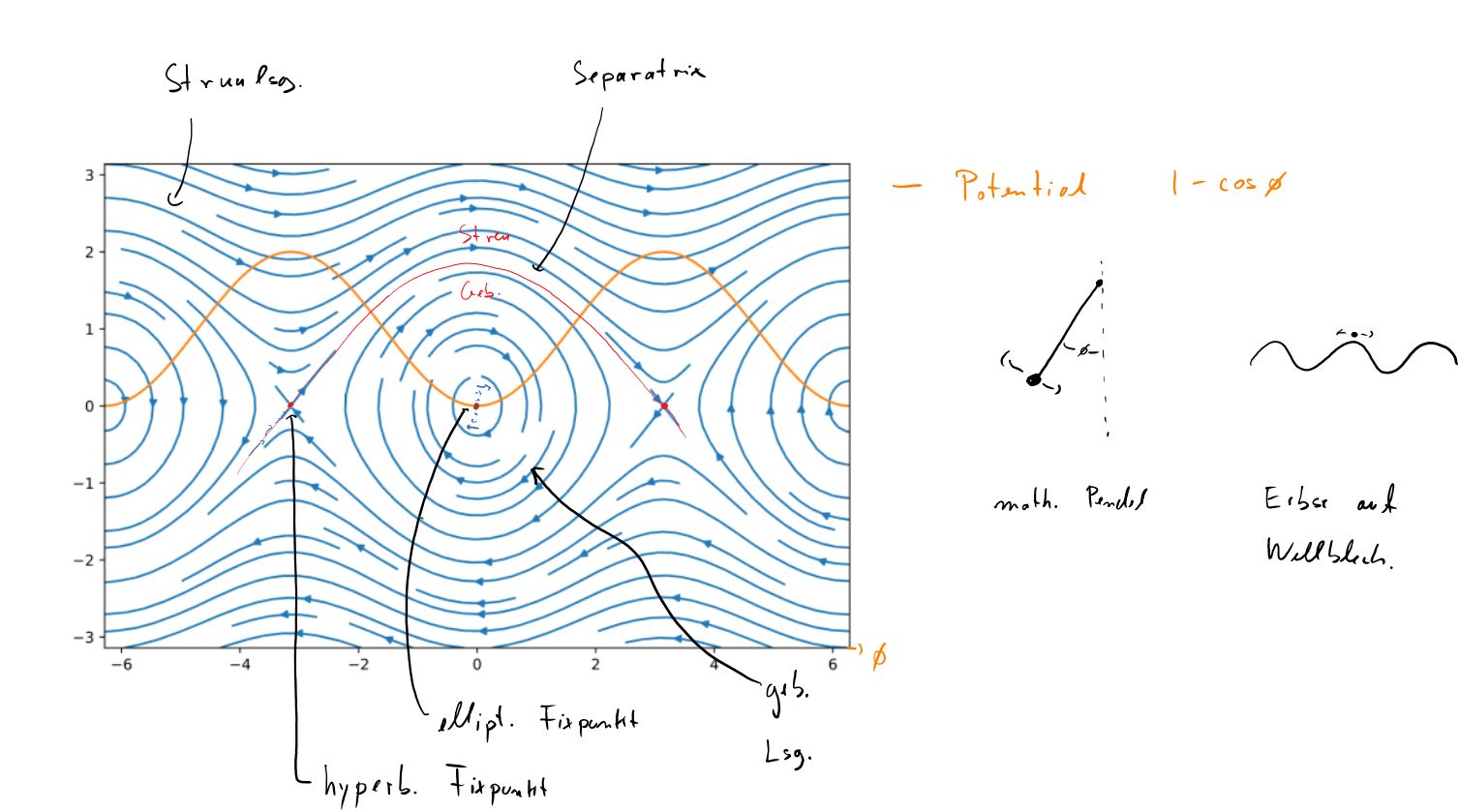
# 2.3 Qualitative Analyse eindimensionaler Dynamik



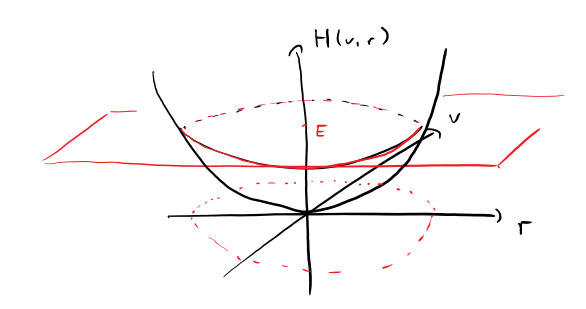
Bahmen im 1-D sind aut Intereste [a, 6] be. schrönkt.

- · Wann a = -00 odr b = 00 donn: Strentissung.
- · Ansonstin: gebondene Log.

Windsphte: (11a) = U(6) = E.



## 2.4 Lösung durch Quadraturen



Idee: Benutze Energiesatz, um die Dimension des Problems von zwei auf eins zu reduzieren.

$$E = \frac{1}{2}m i(t)^2 + U(r(t))$$
 (=)  $i(t) = \frac{1}{2} \sqrt{\frac{2}{m} (E - U(r(t)))}$ 

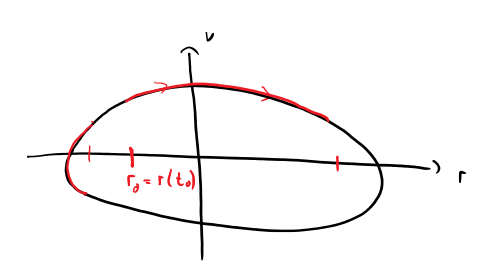
Eine DGL 1 Ordnung.

Tremung de Variablen

Gegeben DGL dr(t) = f(r(t)) für explizit bekannte Flet. f(r).

Schwirighuit: Rechte Seite hängt von nach unbekonnter FHI. r(t) ab.

Trick: Stall Cl. für Umkehrfht. t(r) auf!



r(t) invetiender, and Intrudler, die Keinen Wendepht. enthalten.

$$\sim \frac{d \xi(r)}{d r} = \frac{1}{f(r)}$$

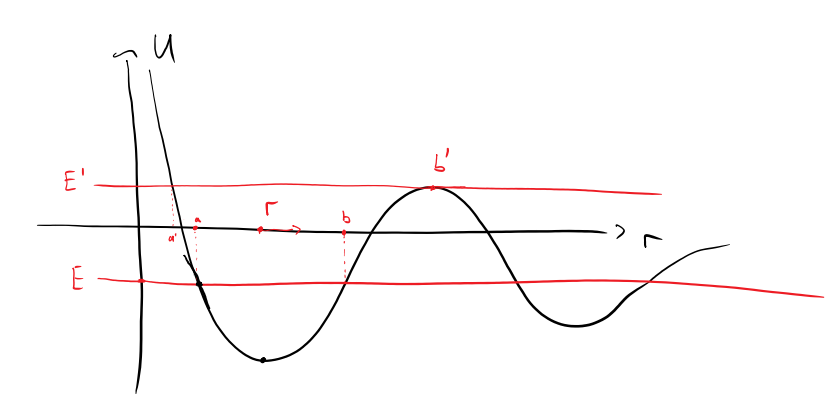
2 bekannte FAE. f(r)! ~ Kann dinkt integrieren!

$$\Rightarrow \ \, \xi(r) = \int \frac{1}{\xi(r')} dr' + \xi(r_0).$$

Allgemeines Rezept: Lösung der BWGen für Potential U(r) in zwei Schritten:

$$\frac{1}{1} \qquad t(r) = \sqrt{\frac{2}{2}} \int_{\Gamma_0} \frac{1}{\sqrt{E - U(r')}} dr' + t_0$$

#### 2.5 Periodendauer



Betrachte Lösung r(t), die im Intervall [a, b] gebunden ist.

## Periodendann:

$$\tilde{c} = 2\sqrt{\frac{m}{z}}\int_{a}^{b} \frac{1}{\sqrt{E - u(v)}} dv$$

Achtung: Integrand divergial bei a 16

Um herauszufinden, ob die Period endlich ist, gehen wir wie folgt vor:

- 1. Wähle eine positive Zahl  $\epsilon$  hinreiched klein, sodass das Potential um die Wendepunkte herum in erster Ordnung Taylor gut beschrieben wird.
- 2. Auf dem Interval  $[a+\epsilon,b-\epsilon]$  ist der Integrand beschränkt, das Integral also endlich. (Physikalisch: Da dort die kinetische Energie positiv ist, ist auch die Geschwindigkeit positiv und daher die Verweildauer endlich). Potentiell unendlich lange kann man sich höchstens in einer Umgebung der Wendepunkte aufhalten. Also schauen wir uns das Integral nur auf dem Interval  $[a,a+\epsilon]$  an.

Zwi Fälli:

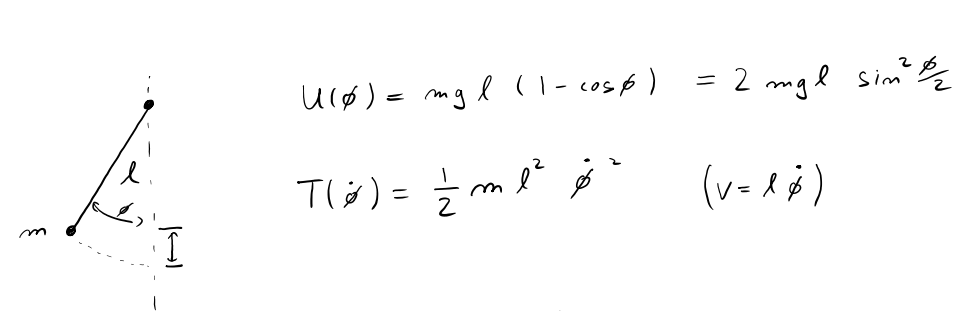
I) a Kein lokaler Extremponkt des Potentiels.  
~) 
$$U(a+\epsilon) \approx E - C \cdot \epsilon$$

$$\int_{a}^{a+\epsilon} \frac{1}{\sqrt{E-U(r')}} dr' = \frac{1}{\sqrt{C}} \int_{0}^{\epsilon} \frac{1}{\sqrt{\epsilon'}} d\epsilon' = 2 \frac{\sqrt{\epsilon}}{\sqrt{C}} < 00$$

=> Gebundene Lig. sind:

- Periodisch,  $\Gamma(t) = \Gamma(t+\tau)$  when WP a/b keine Extremol pht. vom U sind
- oder · Kniechtosungen, die oo langsom aut Maximum zulaufen

### 2.6 Analytische Lösung des mathematischen Pendels



$$|J(\phi)| = mgl(1-cosp) = 2 mgl sim^2 \frac{\beta}{2}$$

$$T(\dot{\phi}) = \frac{1}{2} \, \text{m} \, \ell^2 \, \dot{\phi} \, \dot{$$

$$= \sum_{i=1}^{n} \frac{1}{2} \left\{ \begin{array}{c} \sum_{i=1}^{n} \frac{1}{2} \\ \sum_{i=1}^{n} \frac{1}{2} \end{array} \right\} = \sum_{i=1}^{n} \frac{1}{2} \left\{ \begin{array}{c} \sum_{i=1}^{n} \frac{1}{2} \\ \sum_{i=1}^{n} \frac{1}{2} \end{array} \right\} = \sum_{i=1}^{n} \frac{1}{2} \left\{ \begin{array}{c} \sum_{i=1}^{n} \frac{1}{2} \\ \sum_{i=1}^{n} \frac{1}{2} \end{array} \right\} = \sum_{i=1}^{n} \frac{1}{2} \left\{ \begin{array}{c} \sum_{i=1}^{n} \frac{1}{2} \\ \sum_{i=1}^{n} \frac{1}{2} \\ \sum_{i=1}^{n} \frac{1}{2} \end{array} \right\} = \sum_{i=1}^{n} \frac{1}{2} \left\{ \begin{array}{c} \sum_{i=1}^{n} \frac{1}{2} \\ \sum_{i=1}^{n}$$

$$= \frac{1}{\omega k} \int_{0}^{\beta/2} \frac{1}{\sqrt{1 - \frac{1}{N^2 \sin^2 \beta^2}}} d\beta'$$

$$= \frac{1}{A + 12.4.15} \frac{1}{\omega} \mp (\alpha + k^2)$$

$$Sim d = \frac{1}{k} Sim \frac{8}{2}$$

(=) 
$$\emptyset = 2 \arcsin(K \sin \zeta)$$

Invetine (A 16.1.4)

Abkürzungen

$$\omega = \sqrt{\frac{3}{2}} \quad \text{Eigenfug.} \\
\text{im Limes} \\
\phi << 1$$

$$k = \sqrt{\frac{F}{2 \, \text{mge}}} \quad \text{im Einheiten} \\
\text{det mes. Pot.} \\
\text{Energie}$$

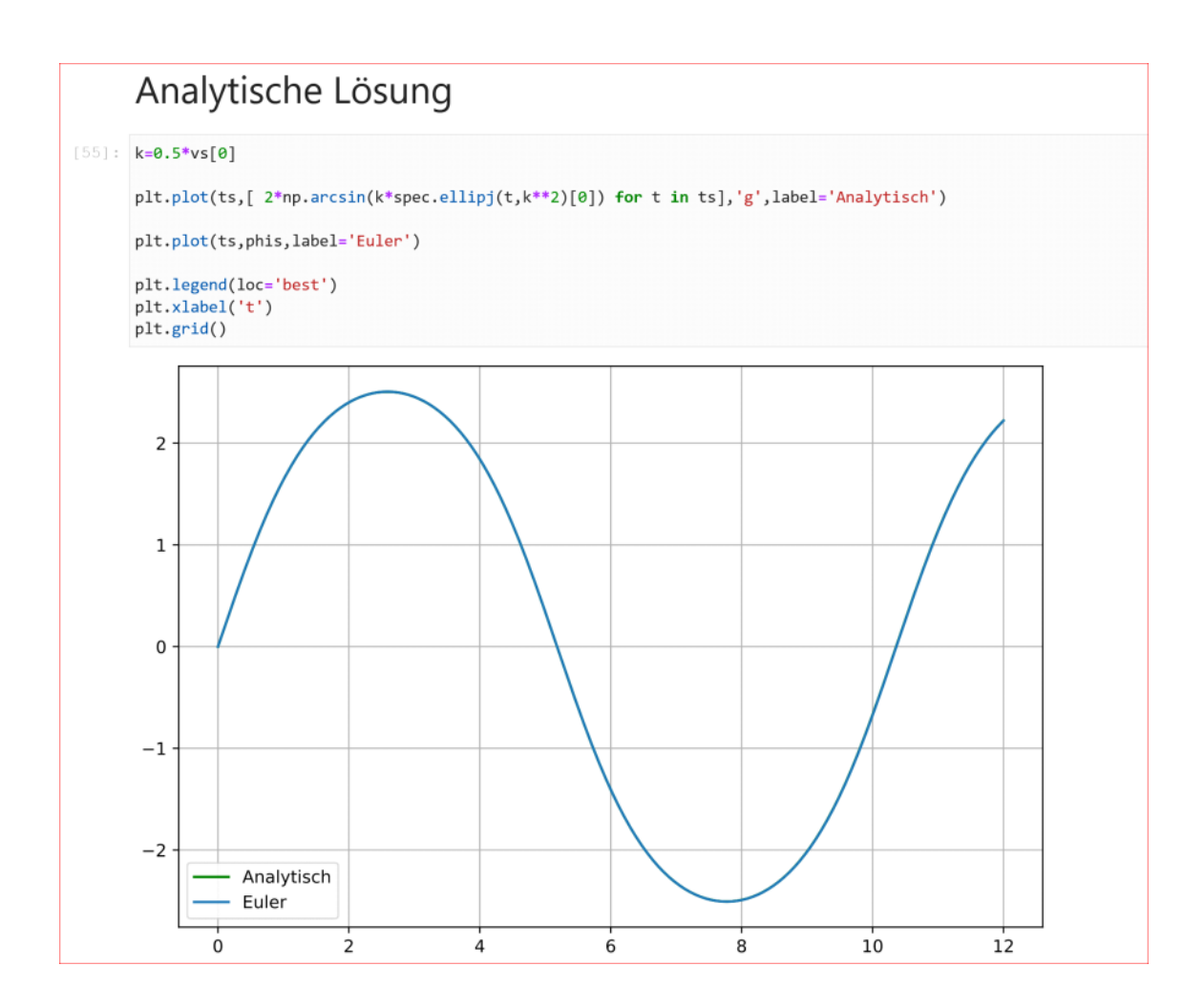
$$(=) E = 2 \, \text{mgl k}^2$$

## Jacobische Elliptische Fkt.

=) 
$$d = arcsin sm(\omega t | k^2)$$
  
=)  $\phi = 2arcsin | K \cdot sm(\omega t | h^2|)$ 

$$M_{i} \downarrow \qquad \emptyset(0) = 0 :$$

$$= \sqrt{\frac{E}{2 \times 3^{\ell}}} = \sqrt{\frac{M \ell^{2} \dot{\phi}(0)^{2}}{4 \times 3^{\ell}}} = \frac{1}{2\omega} \dot{\phi}(0)$$



## 3. Das Zweikörperproblem

Newtons Lösung des Zweikörperproblems markierte den Beginn der klassichen Mechanik.

Unser Ziel in diesem Kapitel ist es, die Dynamik von zwei Massenpunkten im dreidimensionalen Raum zu verstehen, wobei die Kräfte entlang der Verbindungslinie zwischen den beiden Körpern wirken. Das Problem umfasst insbesondere die Gravitations- und die Coulomb-Wechselwirkung, die sehr explizit behandelt werden können.

Zwei glückliche Umstände waren für die Entwicklung der Physik von zentraler Bedeutung:

- 1. Bewegungsgleichungen mit sechs Freiheitsgraden sind in der Regel *nicht* explizit lösbar (wir werden das Problem in der Chaostheorie genauer verstehen). Das Zweikörperproblem beschreibt nicht nur die wichtigen Wechselwirkungen der Physik -- es ist auch ganz untypisch einfach mathematisch handhabar. Warum die Welt es uns so vergleichsweise einfach macht ist viel diskutiert worden.
- 2. Bewegungen auf der Erde sind durch Reibung und Luftwiderstand verkompliziert. Die Bahnen der Planeten, hingegen, kommen fast nur unter dem Einfluss der Gravitation zustande und waren genau studiert. Durch die Himmelsmechanik konnten wir die Gesetze entdecken, die sich später als auch auf der Erde gültig herausgestellt haben.

Einige der Themen in diesem Kapitel sind absolut zentral für die Physik. So sollten Sie sehr gut verstehen und nicht wieder vergessen:

- die Erhaltungsgrößen des Zweikörperproblems (Gesamtimpuls, Drehlimpuls, Energie) und ihre Rolle bei der Lösung,
- die Beschreibung durch ein effektives eindimensionales Potentialproblem. Einige speziellere Themen, wie die Definition des Runge-Lenz-Vektors, oder die Feinheiten der Geometrie von Ellipsen sind für diese Vorlesung zwar wichtig -- wenn Sie aber die Details in Zukunft nicht immer parat haben, ist das nicht so tragisch.

Im nächsten Semester werden Sie Gelegenheit haben, einige der Methoden zu wiederholen: Wir werden sie in der QM1-Vorlesung benötigen, um die Spektrallinien des Wasserstoffatoms auszurechnen.

### 3.1 Reduktion auf ein Teilchen unter Zentralkraft

$$\frac{\vec{r}_{i,j}}{\vec{r}_{i,j}} \left( \vec{r}_{i,j}, \vec{r}_{i,j} \right) = \left\{ \left( ||\vec{r}_{i,j} - \vec{r}_{i,j}|| \right) \right\} \frac{\vec{r}_{i,j} - \vec{r}_{i,j}}{||\vec{r}_{i,j} - \vec{r}_{i,j}||}$$

Bs p.:

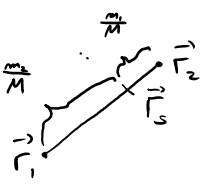




Ziel dieser Lektion:

reduziere BWGen auf die für ein Teilchen unter der Wirkung einer Zentralkraft.

• 
$$|V| = m_1 + m_2$$
 Cresent masse  
•  $|V| = m_1 + m_2$  Schwapunhts kourd.  $|V| = m_1 + m_2 + m_2 + m_3 + m_4 + m_$ 



Warum diser Koordinaten wechsel?

$$\frac{1}{1} P(\xi) = m, \overrightarrow{\Gamma} + m, \overrightarrow{\Gamma} = \overrightarrow{\Gamma} + \overrightarrow{\Gamma} = 0$$

$$\frac{\int a_{r} dt}{dt} P_{S}(t) = m_{1} \overrightarrow{r_{1}} + m_{2} \overrightarrow{r_{2}} = \overrightarrow{F}_{12} + \overrightarrow{F}_{21} = 0$$

Enhaltungsgröße!

$$\Rightarrow 0 = \overrightarrow{\Gamma}_{S}(t) \Rightarrow \overrightarrow{\Gamma}_{S}(t) = \overrightarrow{\Gamma}_{S}(0) + t \overrightarrow{\Gamma}_{S}(0)$$



Es bleiben: BWGen für ?:

$$\overrightarrow{\Gamma} = \overrightarrow{\Gamma}_{1}^{2} - \overrightarrow{\Gamma}_{2}^{2} = \frac{1}{m_{1}} \overrightarrow{T}_{12} + \frac{1}{m_{2}} \overrightarrow{T}_{12}$$

$$= \frac{m_{2} + m_{1}}{m_{1} \cdot m_{2}} f(||\overrightarrow{r}_{2}^{2} - \overrightarrow{r}_{1}^{2}||) \frac{\overrightarrow{\Gamma}_{2}^{2} - \overrightarrow{\Gamma}_{1}^{2}}{|| \cdots ||}$$

$$= \frac{1}{r} \left( -f(r) \right) \overrightarrow{\Gamma}$$

$$\sim \overrightarrow{\Gamma} = ||\overrightarrow{\Gamma}_{2}^{2} - \overrightarrow{\Gamma}_{1}^{2}||$$

$$\sim \overrightarrow{\Gamma} = ||\overrightarrow{\Gamma}_{2}^{2} - \overrightarrow{\Gamma}_{1}^{2}||$$

$$\sim \overrightarrow{\Gamma} = ||\overrightarrow{\Gamma}_{2}^{2} - \overrightarrow{\Gamma}_{1}^{2}||$$

# 3.2 Drehimpulserhaltung unter Zentralkräften

$$(2) \qquad \overrightarrow{r} = \frac{1}{r} \left(-f(r)\right) \hat{r}$$

$$\frac{D_{ann}}{dt} = Wenn \vec{f}(t) \qquad (2) \quad erfallt, \quad dann$$

$$\frac{\partial}{\partial t} \left( r \overrightarrow{r} \times \overrightarrow{r} \right) = r \overrightarrow{r} \times \overrightarrow{r} + r \overrightarrow{r} \times \overrightarrow{r} = 0$$

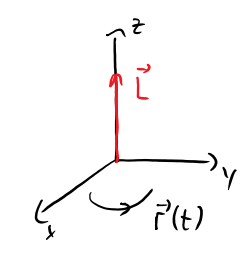
$$(2) \sim \overrightarrow{r}$$

Also: 
$$\vec{+}$$
 are just leg.  $\vec{r}(t)$  von  $(\frac{1}{2})$  gist as an  $\vec{l} \in \mathbb{R}^3$  s.d.  $\vec{L}(\vec{r}(t), \vec{r}(t)) = \vec{l}$   $\forall$   $t$ 

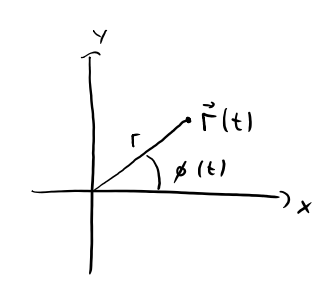
Schreibe	sho
$\begin{bmatrix} \cdot & \cdot & \cdot \\ \cdot & \cdot & \cdot \\ \cdot & \cdot & \cdot \\ \cdot & \cdot &$	Ĺ
$\vec{r}$ , $\vec{v}$ $\mapsto$ $\vec{L}(\vec{r},\vec{v})$	
George Bahm F(t):	
$\overrightarrow{L}: \mathbb{R} \to \mathbb{R}^3$	
ل ب <u>ر ( نے ( بی ( نی ( بی )</u>	
l ∈   1 3	L
\( \in \big  \)	

## 3.3 Die Ekliptik und das zweite Keplerscher Gesetz

## Konsequen Zem:



## Dazu: Führe Polar koordinaten ain:



[Vergl. http://www.thp.uni-koeln.de/gross/tp1-blog/posts/anomalie/]

[Quelle: Wikipedia. CC-BY-SA 3.0]

$$\vec{\Gamma}(t) = \Gamma(t) \begin{pmatrix} \cos \phi(t) \\ \sin \phi(t) \end{pmatrix}$$

$$\hat{\Gamma}(t) = \begin{pmatrix} (os \rho(t)) \\ sin \phi(t) \end{pmatrix}$$

Berchne;

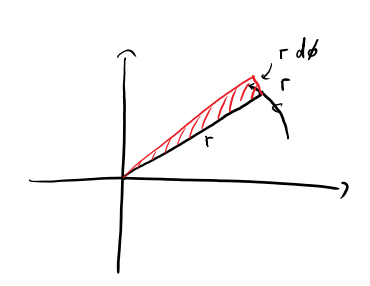
Berchne;

$$= \mu \stackrel{\sim}{\Gamma} \times \stackrel{\sim}{\Gamma} \times \stackrel{\sim}{\Gamma} + \Gamma \stackrel{\sim}{\rho} \stackrel{\sim}{\Gamma})$$

$$= \mu \stackrel{\sim}{\Gamma} \times \stackrel{\sim}{\Gamma} \times \stackrel{\sim}{\Gamma} + \Gamma \stackrel{\sim}{\rho} \stackrel{\sim}{\Gamma} \stackrel{\sim}{\Gamma} = \frac{\mu}{\Gamma} \stackrel{\sim}{\Gamma} \stackrel{\sim}{\Gamma}$$

$$|\nabla \cdot \mathbf{K}| = |\dot{\Gamma}(t)| + |\dot{\Gamma}(t)| + |\dot{\Gamma}(t)| = |\dot{\Gamma}(t)| + |\dot{\Gamma}(t)| + |\dot{\Gamma}(t)| = |\dot{\Gamma}(t)| + |\dot{$$

2. Kaplerscha Gasatz:



$$dA = \frac{1}{2} \Gamma^{2} dd \iff \dot{A} = \frac{1}{2} \Gamma^{2} \dot{\beta} \qquad \overline{+ 1} \ddot{a} \dot{c} hen geschwindigkeit$$

$$= \frac{\ell}{2 p}$$

$$= const.$$

### Anmerkung:

Anfang des 17. Jahrhunderts formulierte Johannes Kepler die drei Keplerchen Gesetze. Sie fassten empirische Beobachtungen der Planetenbewegung zusammen. Ende des 17. Jahrhunderts konnte Newton das beobachtete Verhalten erstmals quantitativ erklären.

Wir sin in der VL dem 2. Keplerschen Gesetz zuerst begenet. Das erste und dritte kommen später vor. Warum? Wir wissen heute, dass das 2. Gesetz allgemeiner gilt als die beiden anderen. Es beruht nur auf der Drehimpulserhaltung und ist für alle Zentralkräfte gültig. Die beiden anderen Gesetze gelten hingegen nur für Zentralkräfte mit einem Potential proportional zu 1/r (wie der Gravitation und der Coulombkraft).

Für die Physik hat diese Allgemeinheit Vor- und Nachteile.

Vorteil: Da das 2. Gesetz unter schwächeren Annahmen gilt, erlaubt es uns Vorhersagen zu machen, selbst wenn die genaue Form des Potentials unbekannt ist.

Nachteil: Wir lernen aus Beobachtungen der Flächengeschwindigkeit nichts über die genaue Form des Potentials. Aufgrund von relativistischen Effekten und der Einwirkung anderer Himmelskörper ist das effektive Potential in dem sich Planeten um die Sonne bewegen nämlich nicht gleich dem 1/r-Potential der Newtonschen Gravitation! Abweichungen der Planetenbewegungen von der von Kepler beschriebenen Form waren daher historisch wichtige Zutaten, um z.B. unbekannte Planeten zu entdecken, oder die ART zu testen.

# 3.4 Konservative Kräfte und der allgemeine Energiesatz

[Dieses Lektion bezieht sich auf allgemeine Bewegungsgleichungen, nicht nur auf Zentralkräfte]

$$(*) \qquad \ddot{\tau}_i = \frac{1}{m_i} \quad \overline{\tau}_i \left( \vec{\tau} \right) \qquad i = 1, \dots, N.$$

$$\frac{E_{r inneverng} (1-D):}{\{F(r) = -\int_{0}^{r} F(r') dr' = -\frac{1}{2}m\dot{r}^{2} + U(r)\}} = \frac{1}{2}m\dot{r}^{2} + U(r)$$

$$\frac{1}{2} F(r') = -\frac{2}{2} F(r') dr' = -\frac{1}{2}m\dot{r}^{2} + U(r)$$

$$\overline{+}_{i}(\vec{r}) = -\frac{\partial}{\partial r_{i}} U(\vec{r}). \tag{K}$$

$$\frac{d}{dt} \left[ \sum_{i=1}^{n} \frac{1}{2} m_i \ \dot{r}_i^2 + U(\vec{r}) \right] = \sum_{i} \frac{m_i \ \dot{r}_i}{T_i} \dot{r}_i + \sum_{i=1}^{n} \frac{\partial u}{\partial r_i} \dot{r}_i = 0.$$

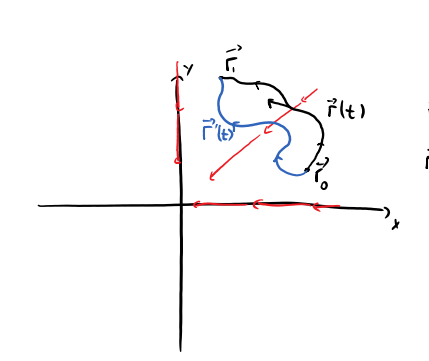
### **Anmerkung:**

In der Newtonschen Mechanik ist die Kraft eine fundamentale Größe.

Der Begriff des Potentials wird als formaler mathematischer Ausdruck eingeführt, um (für den Spezialfall konservativer Kräfte) die Erhaltungsgröße Energie definieren zu können.

Überraschenderweise stellt sich später heraus, dass Potentiale fundamentaler als Kräfte sind: In der QM sind die Bewegungsgleichungen über Potentiale definiert. Kräfte hingegen können in Quantensystemen i.d.R. nicht definiert werden.

Grysben: 
$$\overrightarrow{+}(\overrightarrow{r})$$
.



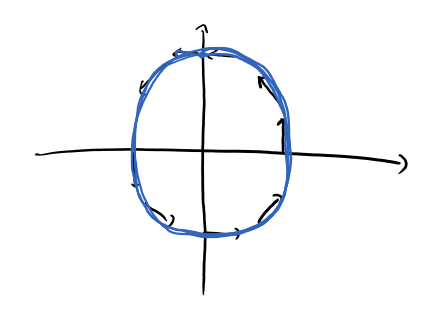
$$U(r_{i}) = -\int_{0}^{t} \left(\frac{1}{r_{i}}(r_{i}(t)), \vec{r}(t)\right) dt$$

$$\vec{r}'(t) = \vec{r}_{i}$$

$$\vec{r}'(t) = \vec{r}_{i}$$

$$\text{would definited, more, we seem this integral}$$

Wegunabhängig ist.



(W) gilt micht fin all Fills

Water relevante Eigenschaft:

Für Konservatives Fild Fi = - Du gilt:

$$(R) \qquad \frac{\partial F_i}{\partial r_j} - \frac{\partial F_j}{\partial r_i} = \frac{\partial^2 U}{\partial r_j \partial r_i} - \frac{\partial^2 U}{\partial r_i \partial r_j} = 0.$$

(3.D: Äqu. ≥u Vx = 0).

Satz Sai F V.F. Dann



(K) (W) => (R) ("hot king Lock")

Wenn der Definitions bereich von F einfach zusammenh. ist, dann gilt zusätzlich  $(k), (w) \in (R)$ 

# 3.5 Reduktion auf eindimensionales Potentialproblem

$$\underline{\underline{B_{2h}}} : \overrightarrow{f}(\overrightarrow{r}) = -\overrightarrow{\nabla} U(\overrightarrow{r}) \quad \text{wit} \quad U(\overrightarrow{r}) = \int_{0}^{r} f(r') dr'.$$

$$\frac{\mathcal{B}_{iw.:}}{\mathcal{B}_{iw.:}} - \frac{\partial}{\partial r_i} U(\vec{r}) = -\left(\frac{\partial}{\partial r} \int_{r_i}^{r_i} f(r) dr'\right) \frac{\partial}{\partial r_i} r_i^{r_i} = -\int_{r_i}^{r_i} \left(\frac{\vec{r}_i}{\vec{r}_i} - \frac{\vec{r}_i}{\vec{r}_i}\right)^{\frac{1}{2}} = -\int_{r_i}^{r_i} \left(\frac{\vec{r}_i}{\vec{r}_i} - \frac{\vec{r}_i}{\vec{r}_i}\right)^{\frac{1}{2}}$$

$$(=) \dot{\Gamma} = -\sqrt{\frac{2}{r}} \left( \bar{E} - \frac{\ell^2}{2r r^2} - U(r) \right)^{1/2}$$

$$- U_{eff}(r)$$

П

$$=) \quad \{(r) = \sqrt{\frac{\nu}{2}} \quad \int_{\Gamma_0} \frac{1}{\sqrt{E - U_{AH}(r')}} Ar^{-1}$$

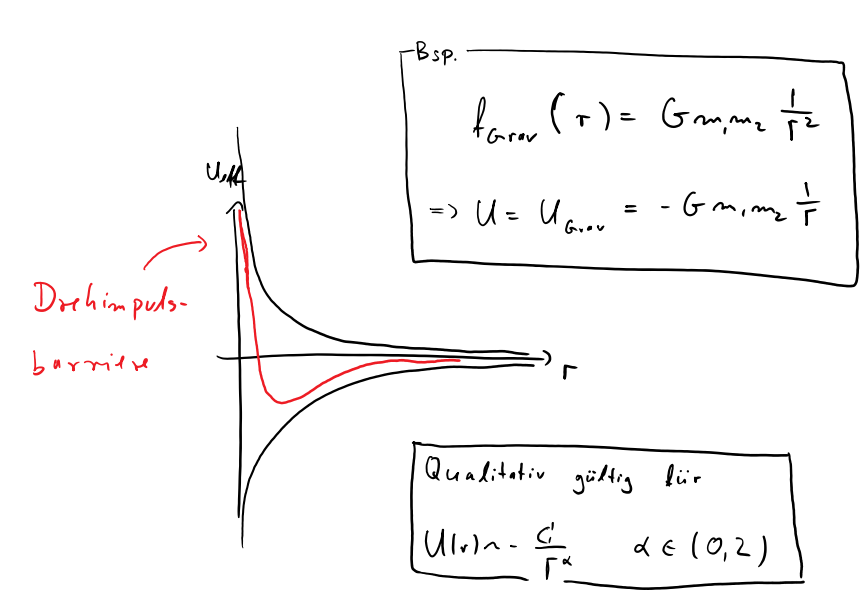
$$\Rightarrow \phi(t) = \frac{l}{l'} \int_{t_0}^{t} \frac{1}{l'(t')} dt'$$

$$\frac{d\phi}{dr} = \frac{d\phi}{dt} \frac{dt}{dr} = \frac{l}{\mu r^2} \frac{dt}{dr}$$

$$\Rightarrow \phi(r) - \sqrt{\frac{\ell^2}{2r}} \int_{\Gamma_0} \frac{1}{\Gamma'^2 \sqrt{E - U_{AR}(r)}} dr'$$

### 3.6 Qualitative Analyse: Die

Potentialbarriere und Rosettenbahnen



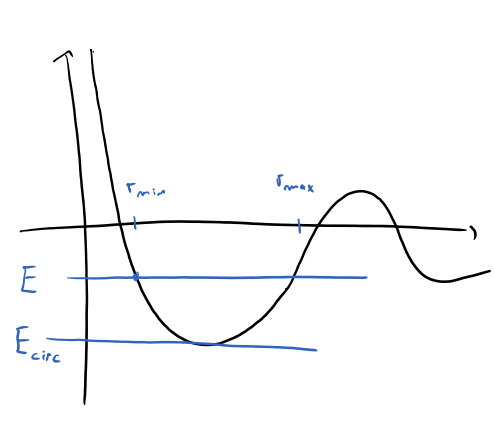
Wenn U(r) für  $t \to 0$  langsamer als  $-1/r^2$ divergiert, geht das effektive Potential für kleine Radien gegen +∞. Man spricht dann von der Drehimpulsbarriere bei 0.

Im effektiven 1-FHG-Bild wird klar, warum Körper mit nicht-verschwindendem Drehimpuls nicht in das Kraftzentrum fallen: Die Drehimpulsbarriere sorgt für eine effektiv abstoßenden Kraft.

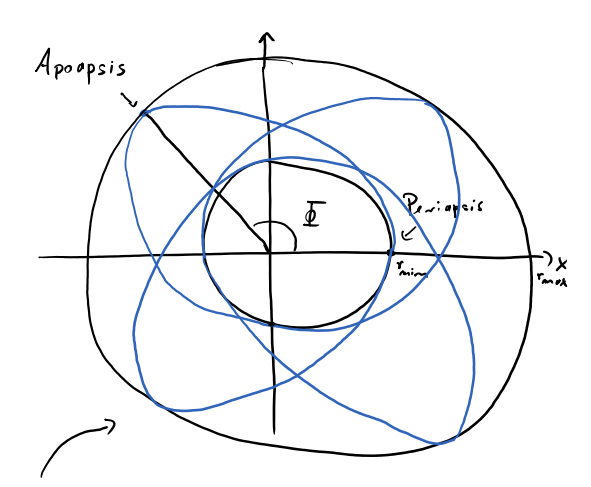
Wir sehen auch: Für Potentiale, die sich in der Nähe des Ursprungs wie  $-1/r^{\alpha}$  mit  $\alpha > 2$ verhalten, kann der Drehimpuls einen Absturz ins Zentrum nicht verhindern. Dramatisch!

Thema für die Live-Sitzung: Was würde passieren, wenn die Graviation mit  $1/r^3$  skalieren würde? Da haben wir aber Glück gehabt, oder?

## Gebundene Lösungen



$$= \int_{\Gamma_{\text{max}}} \frac{d\theta}{d\Gamma} d\Gamma'$$



Peri (m) "primator"
"Umk ris"

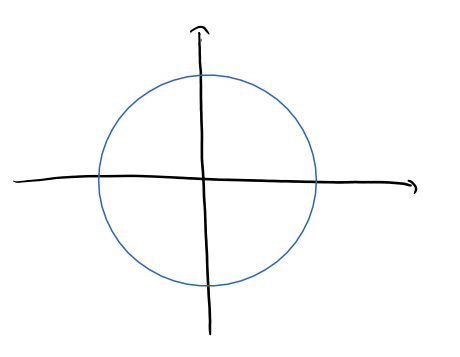
Wichtiger Spezialful 1:  $\overline{\Phi} = \overline{\pi}$ 

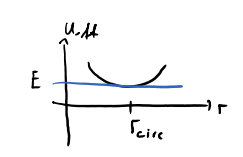
~) gyschlossama



Wichtiger Special full 2:

E ist lokalos Minimum.





- ~ Kreistörmige Bolo

## 3.7 Bahnkurven des Keplerproblems durch Runge-Lenz-Vektor

Potential:  $U(r) = -\frac{k}{r}$ 

BSD: K = Gm, m.

Gravitation

· K = -1 9, 92

Ziel: Beschreibe Bohnen, E.B. durch r(\$)

Zwai Möglich keiten:

(1) "Shut up and colculate"

Aus Energiesatz folgt:

$$\phi(r) = \sqrt{\frac{\ell^{2}}{2r}} \int_{\Gamma_{0}}^{\Gamma_{0}} \frac{1}{\Gamma^{12} \sqrt{E - U_{M}(r)}} dr^{1}$$

$$= \sqrt{\frac{\ell^{2}}{2r}} \int_{\Gamma_{0}}^{\Gamma_{0}} \frac{1}{\Gamma^{12} \sqrt{E - \frac{\ell^{2}}{2r^{2}} + \frac{k}{r}}} dr^{1}$$

Kann symbolisch integriert werden, macht aber nicht viel Spaß. (Tipp: Koordinatenwechsel zu  $u = \frac{1}{r}$  vereinfacht das Integral).

$$\int \frac{1}{x^2 \sqrt{1 - \frac{a_x}{x^2} + \frac{k}{x}}} \, dx = \frac{x \sqrt{\frac{x(k+x) - a_y}{x^2}} \, \tan^{-1} \left(\frac{k \cdot x - 2a}{2 \cdot \sqrt{a} \sqrt{x(k+x) - a}}\right)}{\sqrt{a} \sqrt{x \cdot (k+x) - a}} + \text{constant}$$

Finde weiten EHG.

Del: Rung-Linz-Vehtor:  $\vec{A} = \vec{p} \cdot \vec{r} \times \vec{L} - \vec{p} \times \hat{r}$ 

Der Runge-Lenz-Vektor wurde bereits im 17. Jahrhundert als Erhaltungsgröße identifiziert und für Rechnungen genutzt. Erst 200 - 300 Jahre später wurde seine geometrische Bedeutung zufiedenstellend geklärt: Es stellt sich heraus, dass die Lösungen des Keplerproblems mit fixer Energie als Punkte auf einer 4-dimensionalen Sphäre interpretiert werden können. Drei der Dimensionen entsprechen denen des physikalischen Raumes. Der RLV "erzeugt" die Drehung um eine weitere mathematisch definierte Achse.

Sie müssen sich nicht 200 Jahre gedulden um das etwas genauer verstehen zu können - aber einige Wochen Zeit brauchen wir noch, um die relevanten Begriffe in der Hamilton-Mechanik einzuführen.

$$\|\vec{A}\| \Gamma \cos \phi = (\vec{A}, \vec{r}) = \gamma (\vec{r} \times \vec{L}, \vec{r}) - \gamma k (\hat{r}, \vec{r})$$

$$= (\gamma \vec{r} \times \vec{r}, \vec{L}) - \gamma k \Gamma$$

$$= (\gamma \vec{r} \times \vec{r}, \vec{L}) - \gamma k \Gamma$$

$$= \hat{l}^2 - \gamma k \Gamma$$

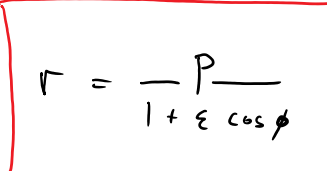
$$\Rightarrow \Gamma (\gamma k + ||\vec{A}|| \cos \phi) = \hat{l}^2$$

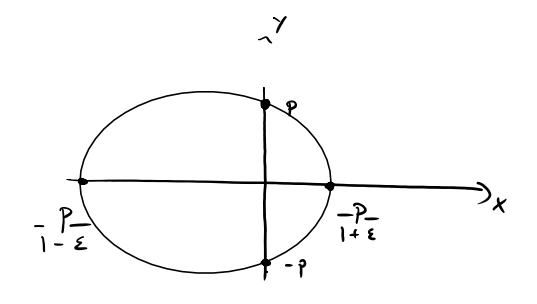
$$\mathcal{E} = \frac{\|\widehat{A}\|}{\mu k}$$

 $\frac{\text{Dol}}{\text{No.}}$   $\mathcal{E} = \frac{\|\vec{A}\|}{\text{No.}}$  mumerische Exzentrizität

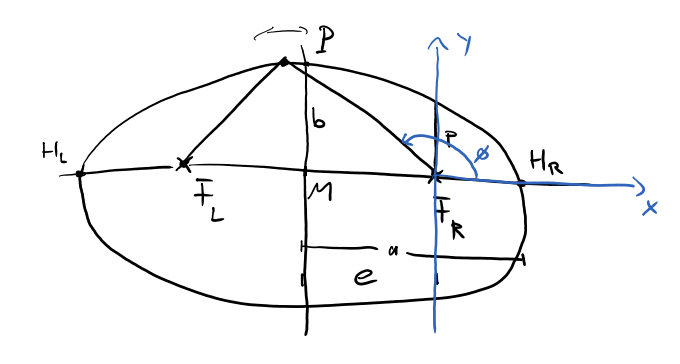
P = Pk Hallparametr

### 3.7.1 Ellipsen und die Keplerschen Gesetze





Wiedeholung. "Gärtnerkonstr." Wähle Ponkte FL, FR, Läng a



~> 
$$\{P \mid \overline{PF_L} + \overline{PF_R} = 2a\}$$

ist Ellipse.

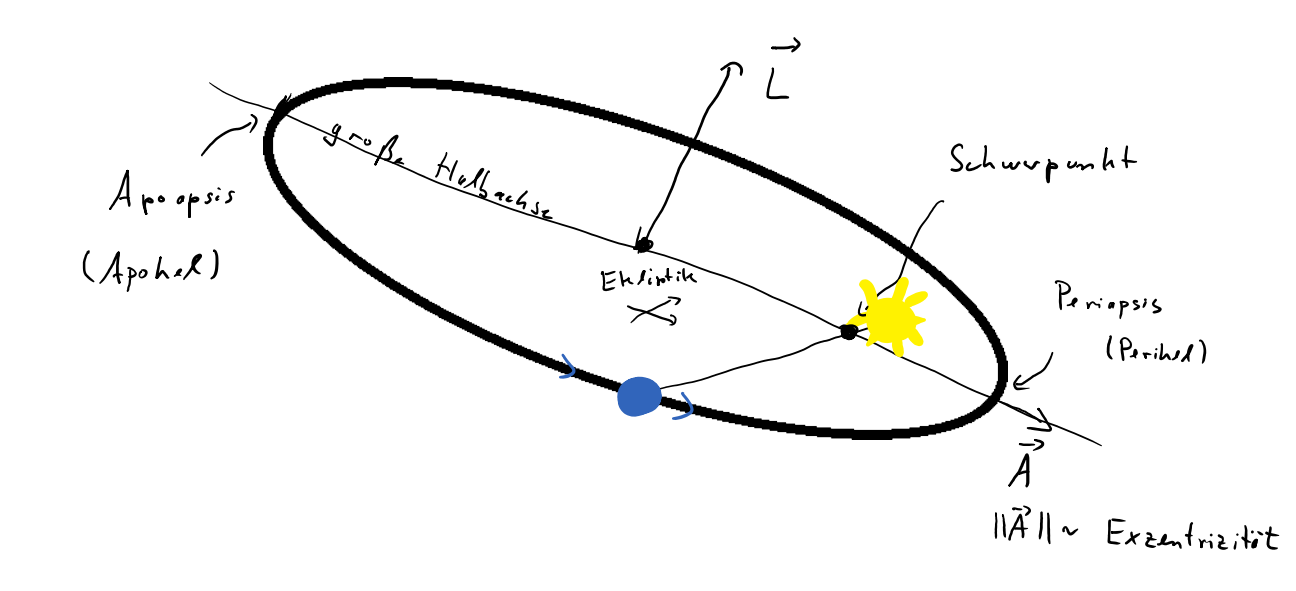
Beh.: r= Polardarst. Line Ellipse mit Exzantrizität &

und Hollsperemeter p begl. des rechten Bremmpunkts.

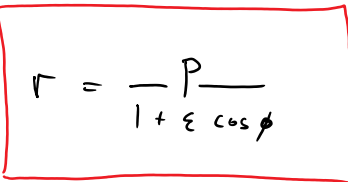
Bew.: -> Blog. http://www.thp.uni-koeln.de/gross/tp1-blog/ellipsen/

#### Danit grzeigt: **Erstes Keplersche Gesetz**

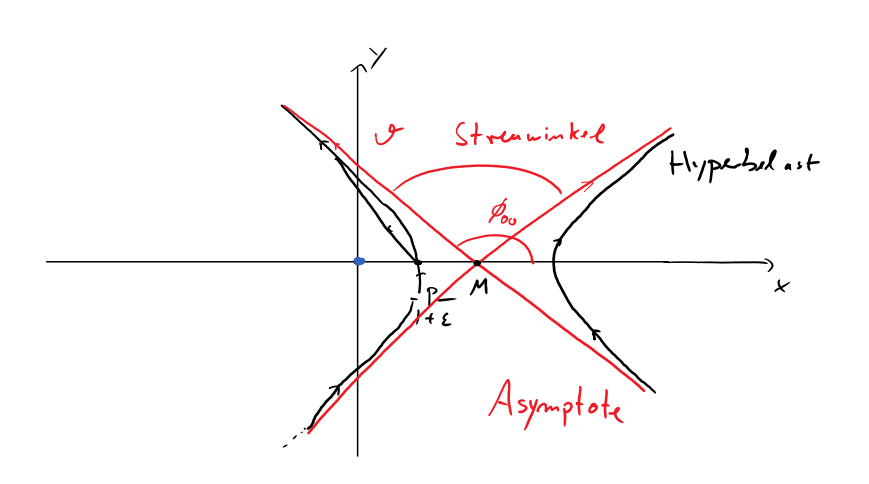
Die Planeten bewegen sich auf Ellipsen, mit der Sonne (genauer: dem gemeinsamen Schwerpunkt) in einem Brennpunkt.

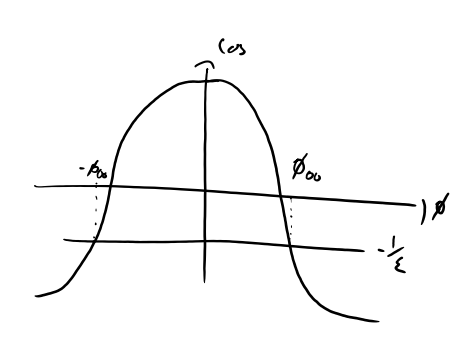


# 3.7.2 Hyperbeln, Streutheorie und das Slingshot-Manöver









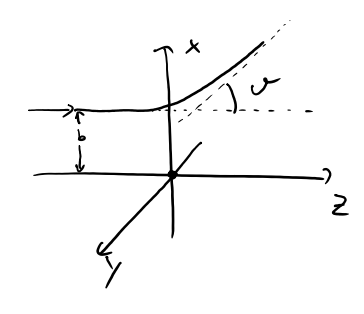
Der Abstand r zum Ursprung divergiert für  $\cos\phi\to-\frac{1}{\epsilon}$ . Dadurch konvergieren die Bahnen gegen eine Gerade - die *Asymptote*. Physikalisch entspricht das der Tatsache, dass weit weg vom Kraftzentrum das erste Newtonsche Gesetz für geradlinige Bewegung sorgt.

Die Lösungungskurve ist eine Hyperbel, die in zwei Äste zerfällt. Der linke krümmt sich zum Kraftzentrum hin, der rechte davon weg.

### Anwendungsbsp.:

- Linker Ast: Das *Slingshot-Manöver*, bei dem sich Raumsonden am Graviationspotential von Planeten streuen lassen, um Energie für die Reise ins tiefe Sonnensystem zu bekommen. Siehe Hausaufgabe.
- Rechter Ast: Rutherford-Streuung von  $\alpha$ -Teilchen an Atomkernen. Siehe unten.

Begriffe der Strentheorie:



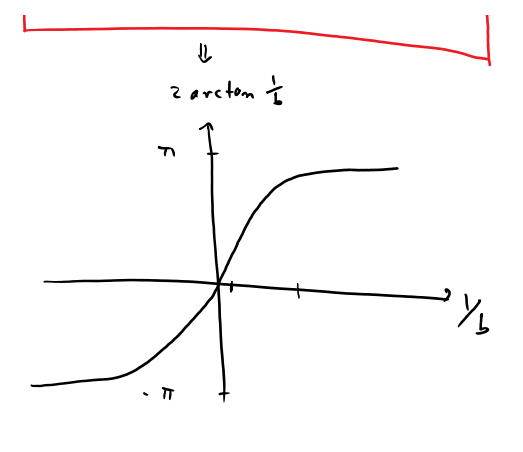
o forst are poor forst are &

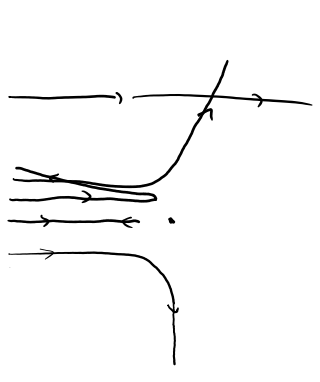
$$\frac{1}{2} = 2 \operatorname{arctom} \left( \frac{k}{2E} \frac{1}{b} \right)$$
HA

Physikalisch.

Wir brauchen diesmal keinen Blog-Eintrag zur Geometrie von Hyperbeln. Grund ist, dass wir alleine mit der Analyse des asymptotischen Verhaltens ans Ziel kommen. Der genaue Verlauf des Streuprozesses in der Nähe des Kraftzentrums ist oft physikalisch nicht beobachtbar (z.B. im Rutherford-Experiment), oder wenigstens für die Analyse nicht wichtig.

Glück gehabt!





J

Für kleine Stoßparameter ergeben sich Strenninked bie † IT = Rüchstrenung.

## 4.1 Oszillationen um Gleichgewichtslagen

Klingt band ...

... ist aber enorm wichtig für:

- · praktische Anwendungen
- · Struktur de Physik

"Physics is that subset of human experience which can be reduced to coupled harmonic oscillators" -- Michael Peskin

Betrachte N IHG mit BWGR:

$$\Gamma_{i} = \frac{1}{m_{i}} T_{i}(\vec{r}) \qquad T_{i} = -\frac{\partial}{\partial r_{i}} U(\vec{r}).$$

$$\vec{\nabla} \left( (\vec{k}) = 0 \right)$$

Sitze

$$\vec{\delta}(t) = \vec{\Gamma}(t) - \vec{\chi}$$

Ziel: Vastele Dynamik von "Klinen" S(E)

Bsp.:





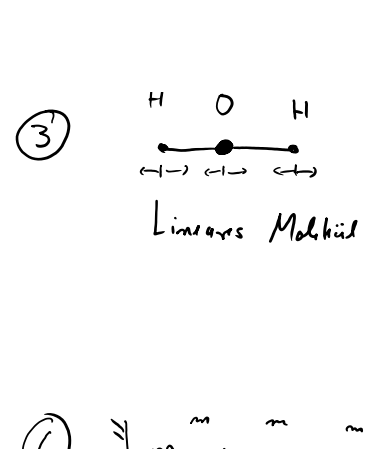












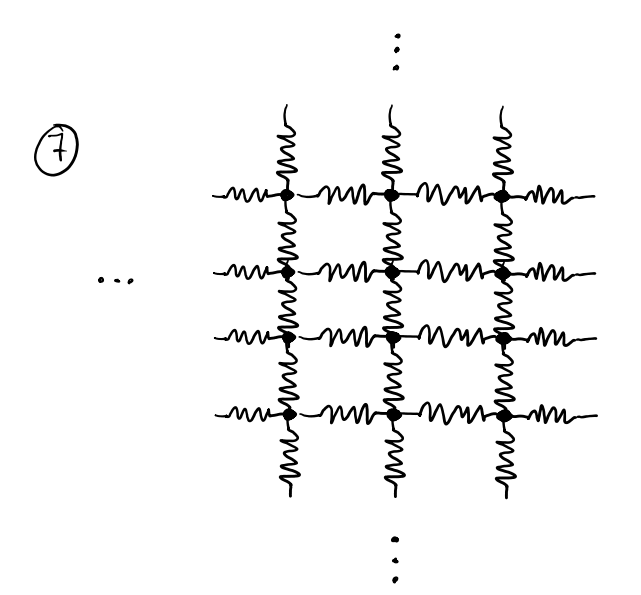








[Quelle: Wikipedia. CC-BY-SA 3.0]





[Quelle: Wikipedia. CC-BY-SA 4.0]

## 4.2 Linearisierte Bewegungsgleichungen

Betrachte G. G. - Log Z & IR".

Wähl Energianulpunkt so, doss U(0)=0.

Taylor U um x:

$$U(\vec{x} + \vec{b}) = U(\vec{x}) + \sum_{i=1}^{N} \frac{\partial u}{\partial r_{i}}(\vec{x}) \int_{i} + \frac{1}{2} \sum_{i=1}^{N} \frac{\partial^{2}u}{\partial r_{i}\partial r_{j}} \int_{i} \int_{i} + \dots$$

$$= 0 \quad \text{graph} + \sum_{i=1}^{N} \frac{\partial u}{\partial r_{i}}(\vec{x}) \int_{i} + \frac{1}{2} \sum_{i=1}^{N} \frac{\partial^{2}u}{\partial r_{i}\partial r_{j}} \int_{i} \int_{i} + \dots$$

$$= 0 \quad \text{graph} + \sum_{i=1}^{N} \frac{\partial u}{\partial r_{i}}(\vec{x}) \int_{i} + \frac{1}{2} \sum_{i=1}^{N} \frac{\partial^{2}u}{\partial r_{i}\partial r_{j}} \int_{i} \int_{i} + \dots$$

$$= 0 \quad \text{graph} + \sum_{i=1}^{N} \frac{\partial u}{\partial r_{i}}(\vec{x}) \int_{i} + \frac{1}{2} \sum_{i=1}^{N} \frac{\partial^{2}u}{\partial r_{i}\partial r_{j}} \int_{i} \int_{i} + \dots$$

$$= 0 \quad \text{graph} + \sum_{i=1}^{N} \frac{\partial u}{\partial r_{i}}(\vec{x}) \int_{i} + \frac{1}{2} \sum_{i=1}^{N} \frac{\partial^{2}u}{\partial r_{i}\partial r_{j}} \int_{i} + \dots$$

$$= 0 \quad \text{graph} + \sum_{i=1}^{N} \frac{\partial u}{\partial r_{i}}(\vec{x}) \int_{i} + \frac{1}{2} \sum_{i=1}^{N} \frac{\partial^{2}u}{\partial r_{i}\partial r_{j}} \int_{i} + \dots$$

$$= 0 \quad \text{graph} + \sum_{i=1}^{N} \frac{\partial u}{\partial r_{i}}(\vec{x}) \int_{i} + \frac{1}{2} \sum_{i=1}^{N} \frac{\partial^{2}u}{\partial r_{i}\partial r_{j}} \int_{i} + \dots$$

$$= 0 \quad \text{graph} + \sum_{i=1}^{N} \frac{\partial u}{\partial r_{i}}(\vec{x}) \int_{i} + \frac{1}{2} \sum_{i=1}^{N} \frac{\partial^{2}u}{\partial r_{i}\partial r_{j}} \int_{i} + \dots$$

$$= 0 \quad \text{graph} + \sum_{i=1}^{N} \frac{\partial u}{\partial r_{i}}(\vec{x}) \int_{i} + \frac{1}{2} \sum_{i=1}^{N} \frac{\partial^{2}u}{\partial r_{i}\partial r_{j}} \int_{i} + \dots$$

$$= 0 \quad \text{graph} + \sum_{i=1}^{N} \frac{\partial u}{\partial r_{i}}(\vec{x}) \int_{i} + \frac{1}{2} \sum_{i=1}^{N} \frac{\partial^{2}u}{\partial r_{i}\partial r_{j}} \int_{i} + \dots$$

$$= 0 \quad \text{graph} + \sum_{i=1}^{N} \frac{\partial u}{\partial r_{i}}(\vec{x}) \int_{i} + \frac{1}{2} \sum_{i=1}^{N} \frac{\partial^{2}u}{\partial r_{i}\partial r_{j}} \int_{i} + \dots$$

$$= 0 \quad \text{graph} + \sum_{i=1}^{N} \frac{\partial u}{\partial r_{i}}(\vec{x}) \int_{i} + \frac{1}{2} \sum_{i=1}^{N} \frac{\partial^{2}u}{\partial r_{i}\partial r_{i}} \int_{i} + \dots$$

$$= 0 \quad \text{graph} + \sum_{i=1}^{N} \frac{\partial u}{\partial r_{i}}(\vec{x}) \int_{i} + \frac{1}{2} \sum_{i=1}^{N} \frac{\partial^{2}u}{\partial r_{i}\partial r_{i}} \int_{i} + \dots$$

$$= 0 \quad \text{graph} + \sum_{i=1}^{N} \frac{\partial u}{\partial r_{i}}(\vec{x}) \int_{i} + \frac{1}{2} \sum_{i=1}^{N} \frac{\partial^{2}u}{\partial r_{i}\partial r_{i}} \int_{i} + \dots$$

$$= 0 \quad \text{graph} + \sum_{i=1}^{N} \frac{\partial u}{\partial r_{i}\partial r_{i}} \int_{i} + \dots$$

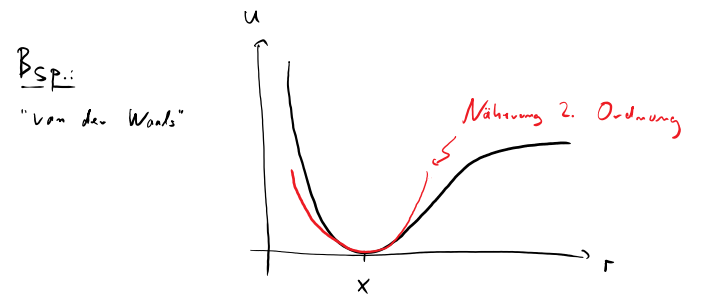
$$= 0 \quad \text{graph} + \sum_{i=1}^{N} \frac{\partial u}{\partial r_{i}\partial r_{i}} \int_{i} + \dots$$

$$= 0 \quad \text{graph} + \sum_{i=1}^{N} \frac{\partial u}{\partial r_{i}\partial r_{i}} \int_{i} + \dots$$

$$= 0 \quad \text{graph} + \sum_{i=1}^{N} \frac{\partial u}{\partial r_{i}\partial r_{i}} \int_{i} + \dots$$

$$= 0 \quad \text{graph} + \sum_{i=1}^{N} \frac{\partial u}{\partial r_{i}\partial r_{i}} \int_{i} + \dots$$

$$= 0 \quad \text{graph} + \sum_{i=1}^{N} \frac{\partial u}{\partial r_{i}\partial r_{i}}$$



Quadrotisches Potential => Linears Kraft gesta:

$$\begin{aligned}
\mp_{i} &= -\frac{\partial}{\partial r_{i}} \frac{1}{2} \sum_{n,k}^{\infty} \frac{\partial^{2}}{\partial r_{n} \partial r_{k}} (\vec{x}) \delta_{n} \delta_{n} &= -\sum_{j}^{\infty} \frac{\partial^{2} u}{\partial r_{i} \partial r_{j}} (\vec{x}) \delta_{j} \\
&= \frac{\partial}{\partial r_{i}} \delta_{n} = \begin{bmatrix} 1 & n = 1 \\ 0 & so-it \end{bmatrix}
\end{aligned}$$

BWGL: 
$$\vec{F}(t) = \vec{M} \vec{S}(t)$$
 mit Matrix  $M_{i,j} = \frac{1}{m_i} \frac{\partial^2 u}{\partial r_i \partial r_j} (\vec{x})$ 

Linearisiste BWGL. (L).

Löse (L):

Annahme: M hat vollet. Sate von E.V. & V, , ..., V, S:

Min = h vin und {vi, ..., vi } Basis für IRN

· Die E.V. heißer Normalmoden.

. Dis. E.W. " Resonanz fraumen.

Entwichl: 
$$\vec{\delta}(t) = \sum_{k=1}^{N} c_k(t) \vec{V}_k$$

Setze in (L) ein: 
$$\sum_{k} \vec{c}_{h}(t) \vec{v}_{k} = \sum_{k} c_{h}(t) \lambda_{k} \vec{v}_{h}$$

Leichter geht's micht!!

Stabiler

$$\begin{cases} C_{h}(t) = a_{h} \sin(\omega_{h}t) + b_{h} \cos(\omega_{h}t) \\ Aur a_{h}, b_{h} \in \mathbb{R} \end{cases}$$

$$\begin{cases} C_{h}(t) = R_{e}(C_{h}\bar{e}^{i\omega_{h}t}) \\ I = C_{h} \in \mathcal{C} \end{cases}$$

#### F.P. unstabile

Bei diesen Lösungern wächst die Auslenkung mit der Zeit. Die Annahme, dass das Kraftgesetz durch seine Taylorentwicklung erster Ordnung beschrieben werden kann, ist daher i.d.R. schnell verletzt. Wenn M nicht-

② 
$$\lambda_h > 0$$
  $\sim$  (+) grist durch
$$C_h(t) = a_h e^{\sqrt{\lambda_h} t} + L_k e^{-\sqrt{\lambda_h} t}$$

erster Oranung beschrieben werden kann, ist daher i.d.R. schnell verletzt. Wenn *M* nichtnegative E.V. hat, muss also geprüft werden, ob die Lösungen physikalisch sinnvoll sind, oder ob das Problem nicht in diesem Rahmen behandelt werden kann.

$$3 \lambda_{k} = 0 \sim (4) \text{ galist duach}$$

$$C_{k}(t) = a_{k} + b_{k} + b_{k}$$

### Zusammenfassung

- Die Dynamik um stabile Fixpunkte herum wird durch unabhängige Schwingungen der Normalmoden beschrieben.
- Diese verhalten sich jeweils wie eindimensionale harmnonische Oszillatoren.

### **Ausblick**

- In der QM können harmonische Oszillatoren nur Energien annehmen, die ein Vielfaches des "Quantums"  $\hbar\omega_k$  sind.
- Diese Anregungen der Normalmoden heißen Quasiteilchen.
- Phononen, z.B., sind Anregungen der Normalmoden von Kristallschwingungen (kommt bald).

### **Anmerkung**

• Man kann zeigen, dass die Matrix M immer einen vollständigen Satz von Eigenvektoren hat. Wenn die Massen  $m_i$  alle gleich sind, kann man die Eigenvektoren orthonormal wählen. (Technisch nutzt man aus, dass M ein Produkt aus einer positiv semi-definiten Matrix (die Massen) und einer

symmetrischen Matrix (die Hesse-Matrix der partiellen Ableitungen) ist).

### 4.4 Gekoppelte Pendel



Potential: 
$$U(\phi_1,\phi_2) = mgl(2-cos\phi_1-cos\phi_2) + \frac{k}{2}l^2\left((cos\phi_1-cos\phi_2)^2+(sim\phi_1-sim\phi_2)^2\right)$$

Quadratische Nöhrung:

Nutre: 
$$(0s \phi = 1 - \frac{1}{2}\phi^2 + O(\phi^4)$$

$$U_{q}(\beta_{1}, \beta_{2}) = \frac{1}{2}(\beta_{1}^{2} + \beta_{2}^{2}) + \frac{k}{2}(\beta_{1}^{2} + \beta_{2}^{2} - 2\beta_{1} \phi_{2})$$

$$M_{i;s} = \frac{\partial^2 u}{\partial \phi_i \partial \phi_j} = \begin{bmatrix} -1-k & k \\ k & -1-k \end{bmatrix}.$$

Finde Normalmoden

$$\mathcal{M}\begin{pmatrix} 1\\1 \end{pmatrix} = -\begin{pmatrix} 1\\1 \end{pmatrix}$$

$$\mathcal{M}\begin{pmatrix} 1 \\ 1 \end{pmatrix} = -\begin{pmatrix} 1 \\ 1 \end{pmatrix}$$
  $\sim$   $\tilde{V}_{1} = \frac{1}{\sqrt{2}}\begin{pmatrix} 1 \\ 1 \end{pmatrix}$ ,  $\omega_{1} = 1$ 

$$M = \begin{pmatrix} 1 \\ -1 \end{pmatrix} = (-1 - 2 k) \begin{pmatrix} 1 \\ -1 \end{pmatrix}$$

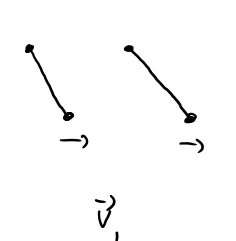
$$M \begin{pmatrix} 1 \\ -1 \end{pmatrix} = (-1 - 2 k) \begin{pmatrix} 1 \\ -1 \end{pmatrix} \qquad \sim \qquad \stackrel{\rightarrow}{V_2} = \frac{1}{\sqrt{2}} \begin{pmatrix} 1 \\ -1 \end{pmatrix} \qquad \qquad \omega_2 = \sqrt{1 + 2 k}$$

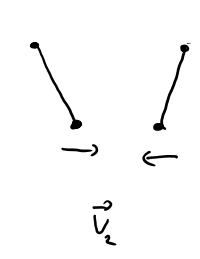
$$\omega_z = \sqrt{1+2h}$$

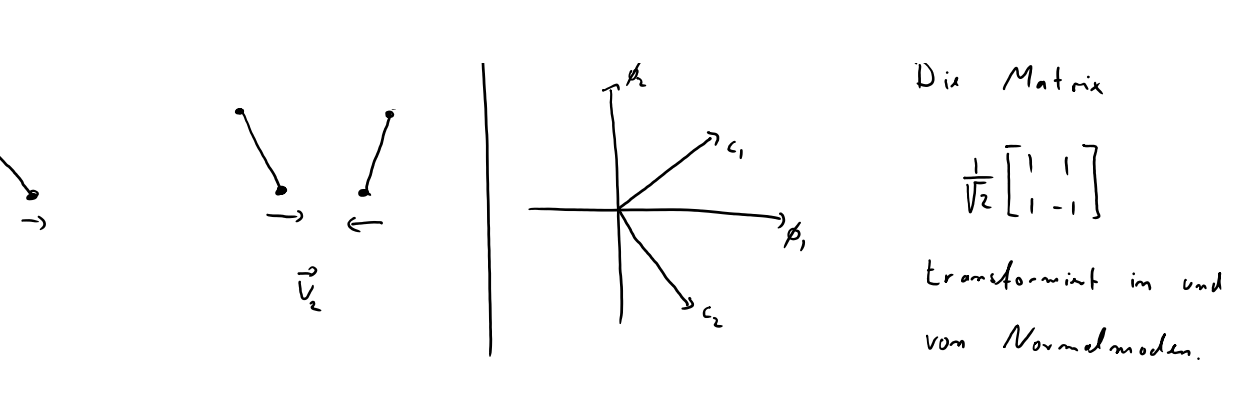
Physik. Lisch











### 4.4.1 Energietransfer



$$\vec{V}_1 = \frac{1}{\sqrt{2}} \begin{pmatrix} 1 \\ 1 \end{pmatrix}$$
  $\omega_1 = 1$ 

$$\vec{V_2} = \frac{1}{\sqrt{2}} \begin{pmatrix} 1 \\ -1 \end{pmatrix}$$
  $\omega_2 = \sqrt{1+2k}$ 

# Andangs wat problem:

$$\vec{\phi}(0) = 0$$

$$\dot{\vec{p}}^{\flat}(0) = \begin{bmatrix} s \\ 0 \end{bmatrix}$$

In Normalmoden:

$$c_1(t) = a_1 \sin \omega_1 t + b_1 \cos \omega_1 t$$

$$c_2(t) = a_2 \sin \omega_2 t$$

$$c_{1}(t) = a_{1} \sin \omega_{2} t$$

$$\begin{bmatrix} 5 \\ 0 \end{bmatrix} = \overrightarrow{c_1}(0) \overrightarrow{v_1} + \overrightarrow{c_2}(0) \overrightarrow{v_2}$$
$$= a_1 \omega_1 \overrightarrow{v_1} + a_2 \omega_2 \overrightarrow{v_2}$$

$$M:t$$
  $a_1 = \frac{S}{\sqrt{2} \omega_1}$   $a_2 = \frac{S}{\sqrt{2} \omega_2}$  ergibt sich:

$$= \frac{5}{2} \begin{bmatrix} 1 \\ 1 \end{bmatrix} + \frac{5}{2} \begin{bmatrix} 1 \\ -1 \end{bmatrix} = \begin{bmatrix} 5 \\ 0 \end{bmatrix} \checkmark$$

Transformin zurüch:

$$\phi_{1}(t) = \frac{5}{2} \sin(\omega_{1}t) + \frac{5}{2\omega_{2}} \sin(\omega_{2}t)$$

$$+ \ddot{\omega}_{r} = \frac{1}{2} \sin(\omega_{1}t) + \frac{5}{2} \sin(\omega_{2}t)$$

$$+ \sin(\omega_{1}t) + \sin(\omega_{1}t) + \frac{5}{2} \sin(\omega_{2}t)$$

$$+ \sin(\omega_{1}t) + \frac{5}{2} \sin(\omega_{2}t) + \frac{5}{2} \sin(\omega_{2}t)$$

$$+ \cos(\omega_{1}t) + \cos(\omega_{1}t) + \frac{5}{2} \cos(\omega_{1}t)$$

$$+ \cos(\omega_{1}t) + \cos(\omega_{1}t) + \frac{5}{2} \cos(\omega_{1}t)$$

$$+ \cos(\omega_{1}t) + \cos(\omega_{1}t) + \cos(\omega_$$

$$\stackrel{\sim}{\sim} \frac{\varsigma}{2} \left( \varsigma_{im}(\omega_i t) + \varsigma_{im}(\omega_2 t) \right)$$

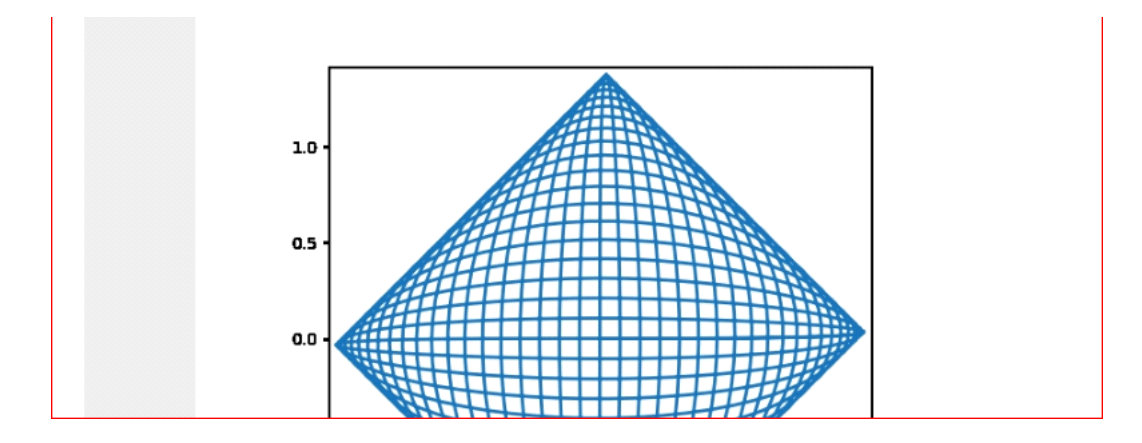
$$= S Sim \left( \frac{\omega_1 + \omega_2}{2} + \right) Cos \left( \frac{\omega_1 - \omega_2}{2} + \right)$$

Schwibung

# 4.4.2 Lissajous-Figuren

# Computercode zum Video: siehe Blog.

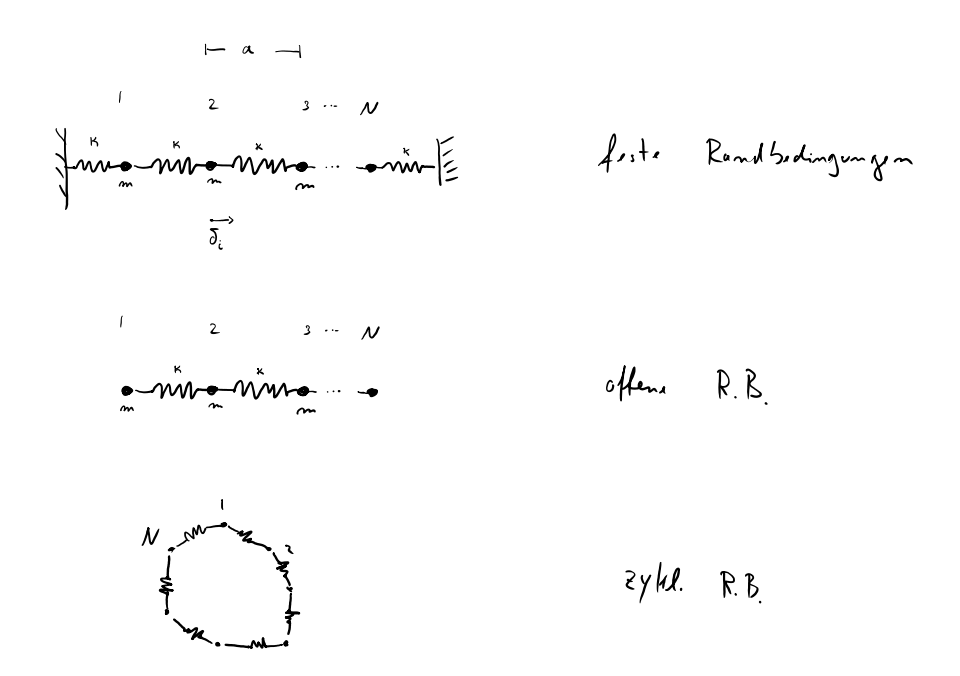
```
Lissajous-Figuren
David Gross — 2020-11-22 — 0 Comments
   In [5]: import matplotlib.pyplot as plt
           from matplotlib import animation, rc
           import numpy as np
           from IPython.display import HTML, display, clear_output
           def lissajous(k,periods,online=True):
               #plt.rcParams['figure.figsize'] = (6,4)
               plt.rcParams['figure.dpi']=100
               plt.rcParams['animation.bitrate']=4000
               fig, ax = plt.subplots()
               ax.set aspect('equal')
               axesRange=np.sqrt(2)
               ax.set xlim((-axesRange, axesRange))
               ax.set ylim((-axesRange, axesRange))
               line, = ax.plot([], [], lw=2)
               omega=np.sqrt(1+2*k)
                                      # 2nd frequency
                                      # max time
               T=periods*2*np.pi
               N=int(5*T)
                                       # number of frames in animation
               pf=2
                                        # points per frame
               phis = np.zeros((2,N*pf)) # positions
               def animate(i):
                   t = np.linspace(i*T/N,(i+1)*T/N,pf,endpoint=False);
                   fromNormalModes = 1/np.sqrt(2)*np.array([[1,1],
                   phis[:,i*pf:
           (i+1)*pf]=fromNormalModes@np.array([np.sin(t),
           1/omega*np.sin(omega*t)])
                   line.set_data(phis[0,:(i+1)*pf],phis[1,:(i+1)*pf])
               # Show individual frames while rendering.
               # Good for online demonstration, not suitable for web
           export
               if online:
                   for i in range(N):
                       animate(i)
                       display(fig)
                      clear output(wait=True)
                      time.sleep(.1) # Anyway super-slow
               else:
                   anim = animation.FuncAnimation(fig, animate,
                                                  frames=N, interval=20,
                                                  blit=False)
                   return (HTML (anim.to html5 video()))
  In [12]: display(lissajous(0.05125,21, False));
```



### 4.5 Die lineare Kette

Wir betrachten eine Kette von Punktmassen, die im Gleichgewicht in regelmäßigen Abständen a angeordnet sind. Werden zwei benachbarte Massen ausgelenkt, dann wirkt zwischen ihnen eine Rückstellkraft proportional zur Abweichung  $\delta_{i+1}-\delta_i$  ihres Abstands aus der Gleichgewichtslage.

Im Detail unterscheidet man zwischen verschiedenen Randbedingungen:



Die Physik dieser drei Modelle unterscheidet sich nicht sehr stark. Wie betrachten hier zyklische Randbedingungen, die mathematisch etwas leichter handhabar sind als die anderen beiden.

Potential: 
$$U(\vec{s}) = \sum_{i,j} \frac{\kappa}{2} (S_i - S_j)^2$$

$$=) \quad M_{i,j} = -\frac{1}{m} \frac{\partial^2 U}{\partial r_i \partial r_j} = \frac{K}{m} \quad \begin{cases} -2 & i=j \\ 1 & i,j \text{ mächste } Nachbern \\ 0 & \text{Sonst} \end{cases} = M = \frac{K}{m} \begin{bmatrix} -2 & 1 & 1 \\ 1 & -2 & 1 \\ 1 & 1 & -2 \end{bmatrix}.$$

Beh.:

Fire jede games Zahl K ist

$$\lambda_{K} = -\frac{4K}{m} \sin^{2}\left(\frac{\pi}{N}K\right)$$
Eigenwert von M. zu Eigenwekton

Eigenwet von M. zu Eigenwekton

$$\left(\overrightarrow{V}_{k}\right)_{j} = \frac{1}{\sqrt{N}} \left(\sum_{i=1}^{\infty} \frac{2\pi}{N} k \cdot j\right)$$

Da  $\lambda_{n} = \lambda_{-K}$ , gehören  $\overrightarrow{V}_{n}$ ,  $\overrightarrow{V}_{-n}$  zum gleichen Eigenraum.

In dem E.R. Kenn men auch eine reelle Basis Vitas finden:

$$\left(\overrightarrow{V}_{k}^{(+)}\right)_{j} = \frac{1}{\sqrt{2}}\left(\overrightarrow{V}_{k} + \overrightarrow{V}_{k}\right)_{j} = \sqrt{\frac{1}{2N}}\left(e^{i\frac{2\pi}{N}kj} - i\frac{2\pi}{N}kj\right) = \sqrt{\frac{2}{N}} \cos\left(\frac{2\pi}{N}kj\right)$$

$$\left( \overrightarrow{V}_{\mathbf{K}}^{(-)} \right)_{\mathbf{j}} = \frac{1}{\sqrt{2}} \frac{1}{i} \left( \overrightarrow{V}_{\mathbf{K}} - \overrightarrow{V}_{\mathbf{K}} \right)_{\mathbf{j}} = \sqrt{\frac{1}{2N}} \frac{1}{i} \left( e^{i\frac{2\pi}{N}\mathbf{K}\mathbf{j}} - e^{i\frac{2\pi}{N}\mathbf{K}\mathbf{j}} \right) = \sqrt{\frac{2}{N}} \quad \sin\left(\frac{2\pi}{N}\mathbf{K}\mathbf{j}\right)$$

Die mille Bosis ist alt climbter interpreturber

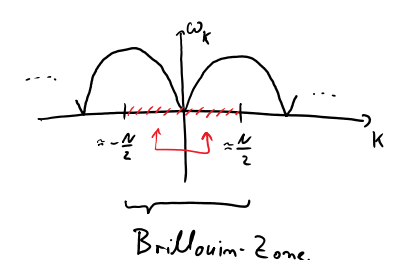
die Komplese Basis ist aft für Pechnungen besser geeignet.

Nor N E.V. sind unabhängig

Es gilt:

(2) 
$$e^{i\frac{2\pi}{N}k(s\pm N)} = \underbrace{e^{i\frac{2\pi}{N}kN}}_{i\frac{2\pi}{N}ks}$$

 $\mathcal{D}_{qm}$ :  $\overrightarrow{V}_{k\pm N} = \overrightarrow{V}_{k}$ 



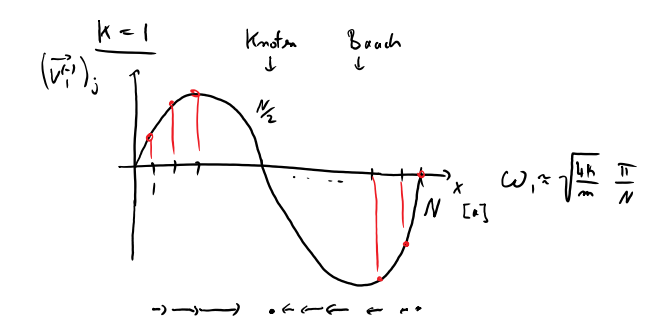
Um einen unabhängigen Satz von Eigenmoden zu bekommen, wählt man überlicherweise Wellenzahlen k symmetrisch um den Ursprung herum. In der Festkörperphysik nennt man den so gefundenen minimalen Bereich die Brillouin-Zone.

Bei der endlichen Kette muss man an den Rändern etwas aufpassen. Wenn N gerade ist, ist  $\vec{v}_{\frac{N}{2}} = \vec{v}_{-\frac{N}{2}}$  (vergl. die letzte Skizze hier). Dann darf also nur einer der beiden Vektoren mitgenommen werden. Wenn N ungerade ist, enthält der Bereich  $k = -\frac{N-1}{2}, \dots, \frac{N-1}{2}$  genau N unabhängige Moden. (Warum?)

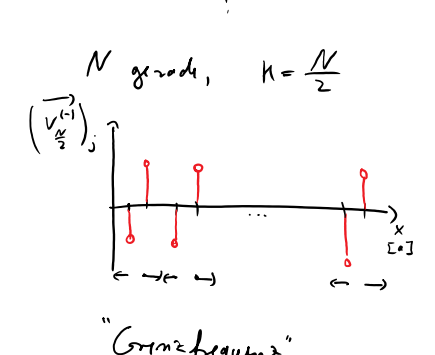
### Normalmoden





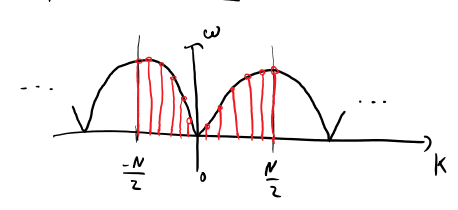


Stehende Welle mit Wellenzahl 2T K



Für eine gerade Anzahl von Teilchen erhält man als höchste Wellenzahl  $k=\frac{N}{2}$ . Bei dieser Lsg schwingen benachbarte Teilchen gegeneinander. Dies verallgemeinert die zweite Mode der zweigekoppelten Pendel.

Dispersions relation



Für die lineare Kette ergben sich Normalmoden, die stehende Wellen mit Wellenzahl  $\frac{2\pi}{N}k$  beschreiben. Der Parameter k ist hierbei eine ganze Zahl. Die Welle mit räumlicher Wellenzahl  $\frac{2\pi}{N}k$  schwingt in der Zeit mit der

Resonanzfrequenz  $\omega_k = \sqrt{\frac{4\kappa}{m}} \left| \sin \frac{\pi}{N} k \right|$ . Dieser Zusammenhang zwischen räumlicher Wellenzahl und zeitlicher Frequenz wird *Dispersionsrelation* genannt.

### 4.5.1 Beweis der Behauptung zu den Eigenmoden der linearen Kette

Beh: Für 
$$k \in \mathbb{Z}$$
 ist  $\vec{v}_{n}$  mit
$$(\vec{V}_{k})_{s} = \frac{1}{|\mathcal{V}_{k}|} e^{i\frac{2\pi}{N}k \cdot s}$$

ein Eighnuhton von

$$M = \frac{\kappa}{m} \begin{bmatrix} -2 & 1 & 1 \\ 1 & -2 & 1 \\ 1 & 1 & -2 \end{bmatrix}$$

mit Eigenwat

$$\lambda_{K} = -\frac{L_{K}}{m} sim^{2} \left( \frac{T}{N} K \right)$$

## Beweis:

$$\left( \begin{array}{c} M \overrightarrow{v_{k}} \right)_{\Gamma} = \sum_{s=1}^{N} M_{\Gamma s} \left( \overrightarrow{v_{k}} \right)_{c}$$

$$= \frac{\kappa}{m} \left( -2 \left( \overrightarrow{v_{k}} \right)_{\Gamma} + \left( \overrightarrow{V_{k}} \right)_{\Gamma + 1} + \left( \overrightarrow{v_{k}} \right)_{\Gamma - 1} \right)$$

$$= \frac{\kappa}{m} \frac{1}{\sqrt{N}} \left( -2 e^{i\frac{2\pi}{N} k \cdot \Gamma} + e^{i\frac{2\pi}{N} k |\sigma|} \right) + e^{i\frac{2\pi}{N} k |\sigma|}$$

$$= \frac{\kappa}{m} \left( \overrightarrow{v_{k}} \right)_{\Gamma} \left( -2 + e^{i\frac{2\pi}{N} k} \right)$$

$$= -2 + 2 R e^{i\frac{2\pi}{N} k} = -4 \frac{1}{2} \left( |-\cos\left(\frac{2\pi}{N} k\right)| \right) = -4 \sin^{2}\left(\frac{\pi}{N} k\right)$$

$$= -\frac{L_{1} R}{m} \sin^{2}\left(\frac{\pi}{N} k\right) \left( \overrightarrow{v_{k}} \right)_{\Gamma}$$

 $\Box$ 

### 4.5.2 Komplexe Darstellung

$$\Rightarrow \delta_{s}(t) = \delta(s,t) = \sqrt{\frac{2}{N}} \sum_{k=0}^{\frac{N-1}{2}} \left( a_{k} \sin \omega_{k} t + b_{k} \cos \omega_{k} t \right) \left( c_{k}^{(1)} \sin \left( \frac{2\pi}{N} k \cdot s \right) + c_{k}^{(2)} \cos \left( \frac{2\pi}{N} k \cdot s \right) \right)$$

Beh.: Mann Kann die 
$$a_h, b_h, c_h^{(i)}, c_h^{(i)}$$
 ( $k=0,..., \frac{N-1}{2}$ ) um rechnen in Komplexe  $C_K$  ( $K=-\frac{N-1}{2},...,\frac{N-1}{2}$ ) S. d.

$$\delta(s,t) = \frac{1}{\sqrt{N}} \frac{1}{2} \sum_{k = -\frac{NL}{2}}^{\frac{NL}{2}} \left( c_k e^{i\frac{2\pi}{N}ks - i\omega_n t} + \overline{c_n} e^{-(i\frac{2\pi}{N}ks - i\omega_n t)} \right)$$

$$= \frac{1}{\sqrt{N}} \sum_{k}^{2} \operatorname{Re}\left( c_k e^{i\frac{2\pi}{N}ks - \omega_n t} \right)$$

Nicht schwer, aber etwas nervig. Zerlege  $c_k$  und Potenzen in Real- und Imaginäreteil und rechne von unten nach oben...

Interpretation:

Summand Recke 
$$i\frac{2\pi}{N}$$
 hs- $i\omega_{h}t = |c_{K}|\cos(\frac{2\pi}{N}$  hs- $\omega_{h}t + arg(c_{H}))$   
basilized lawfords Wells mit Phasengescher.  $\frac{\omega_{h}}{K}$ :

Phosonyschwindighert

$$\frac{2\pi}{N} ks - \omega_n t = 0 \quad \text{(a)} \quad \frac{2\pi}{N} s = \frac{\omega_k}{n} \cdot t$$

$$Ort \left[ \frac{2\pi}{N} \cdot \text{Gitterplate} \right]$$

2) 
$$S(s,k) = \frac{1}{|W|} \sum_{k}^{\infty} |R_{e}| \left( \frac{c_{k}}{c_{k}} e^{-i\omega_{k}t} e^{-i\frac{2\pi}{w}k \cdot s} \right)$$
 $|C_{k}|^{2} = \frac{1}{|W|} \sum_{k}^{\infty} |R_{e}| \left( \frac{c_{k}}{c_{k}} e^{-i\omega_{k}t} e^{-i\omega_{k}t} \right)$ 
 $|C_{k}|^{2} = \frac{1}{|W|} \sum_{k}^{\infty} |R_{e}| \left( \frac{c_{k}}{c_{k}} e^{-i\omega_{k}t} e^{-i\omega_{k}t} \right)$ 
 $|C_{k}|^{2} = \frac{1}{|W|} \sum_{k}^{\infty} |R_{e}| \left( \frac{c_{k}}{c_{k}} e^{-i\omega_{k}t} e^{-i\omega_{k}t} \right)$ 
 $|C_{k}|^{2} = \frac{1}{|W|} \sum_{k}^{\infty} |R_{e}| \left( \frac{c_{k}}{c_{k}} e^{-i\omega_{k}t} e^{-i\omega_{k}t} \right)$ 
 $|C_{k}|^{2} = \frac{1}{|W|} \sum_{k}^{\infty} |R_{e}| \left( \frac{c_{k}}{c_{k}} e^{-i\omega_{k}t} e^{-i\omega_{k}t} \right)$ 
 $|C_{k}|^{2} = \frac{1}{|W|} \sum_{k}^{\infty} |R_{e}| \left( \frac{c_{k}}{c_{k}} e^{-i\omega_{k}t} e^{-i\omega_{k}t} \right)$ 
 $|C_{k}|^{2} = \frac{1}{|W|} \sum_{k}^{\infty} |R_{e}| \left( \frac{c_{k}}{c_{k}} e^{-i\omega_{k}t} e^{-i\omega_{k}t} \right)$ 
 $|C_{k}|^{2} = \frac{1}{|W|} \sum_{k}^{\infty} |R_{e}| \left( \frac{c_{k}}{c_{k}} e^{-i\omega_{k}t} e^{-i\omega_{k}t} \right)$ 
 $|C_{k}|^{2} = \frac{1}{|W|} \sum_{k}^{\infty} |R_{e}| \left( \frac{c_{k}}{c_{k}} e^{-i\omega_{k}t} e^{-i\omega_{k}t} \right)$ 
 $|C_{k}|^{2} = \frac{1}{|W|} \sum_{k}^{\infty} |R_{e}| \left( \frac{c_{k}}{c_{k}} e^{-i\omega_{k}t} e^{-i\omega_{k}t} \right)$ 
 $|C_{k}|^{2} = \frac{1}{|W|} \sum_{k}^{\infty} |R_{e}| \left( \frac{c_{k}}{c_{k}} e^{-i\omega_{k}t} e^{-i\omega_{k}t} \right)$ 
 $|C_{k}|^{2} = \frac{1}{|W|} \sum_{k}^{\infty} |R_{e}| \left( \frac{c_{k}}{c_{k}} e^{-i\omega_{k}t} e^{-i\omega_{k}t} \right)$ 
 $|C_{k}|^{2} = \frac{1}{|W|} \sum_{k}^{\infty} |R_{e}| \left( \frac{c_{k}}{c_{k}} e^{-i\omega_{k}t} e^{-i\omega_{k}t} \right)$ 
 $|C_{k}|^{2} = \frac{1}{|W|} \sum_{k}^{\infty} |R_{e}| \left( \frac{c_{k}}{c_{k}} e^{-i\omega_{k}t} e^{-i\omega_{k}t} \right)$ 
 $|C_{k}|^{2} = \frac{1}{|W|} \sum_{k}^{\infty} |R_{e}| \left( \frac{c_{k}}{c_{k}} e^{-i\omega_{k}t} e^{-i\omega_{k}t} \right)$ 
 $|C_{k}|^{2} = \frac{1}{|W|} \sum_{k}^{\infty} |R_{e}| \left( \frac{c_{k}}{c_{k}} e^{-i\omega_{k}t} e^{-i\omega_{k}t} \right)$ 
 $|C_{k}|^{2} = \frac{1}{|W|} \sum_{k}^{\infty} |R_{e}| \left( \frac{c_{k}}{c_{k}} e^{-i\omega_{k}t} e^{-i\omega_{k}t} \right)$ 
 $|C_{k}|^{2} = \frac{1}{|W|} \sum_{k}^{\infty} |R_{e}| \left( \frac{c_{k}}{c_{k}} e^{-i\omega_{k}t} e^{-i\omega_{k}t} \right)$ 
 $|C_{k}|^{2} = \frac{1}{|W|} \sum_{k}^{\infty} |R_{e}| \left( \frac{c_{k}}{c_{k}} e^{-i\omega_{k}t} e^{-i\omega_{k}t} \right)$ 
 $|C_{k}|^{2} = \frac{1}{|W|} \sum_{k}^{\infty} |R_{e}| \left( \frac{c_{k}}{c_{k}} e^{-i\omega_{k}t} e^{-i\omega_{k}t} \right)$ 
 $|C_{k}|^{2} = \frac{1}{|W|} \sum_{k}^{\infty} |R_{e}| \left( \frac{c_{k}}{c_{k}} e^{-i\omega_{k}t} e^{-i\omega_{k}t}$ 

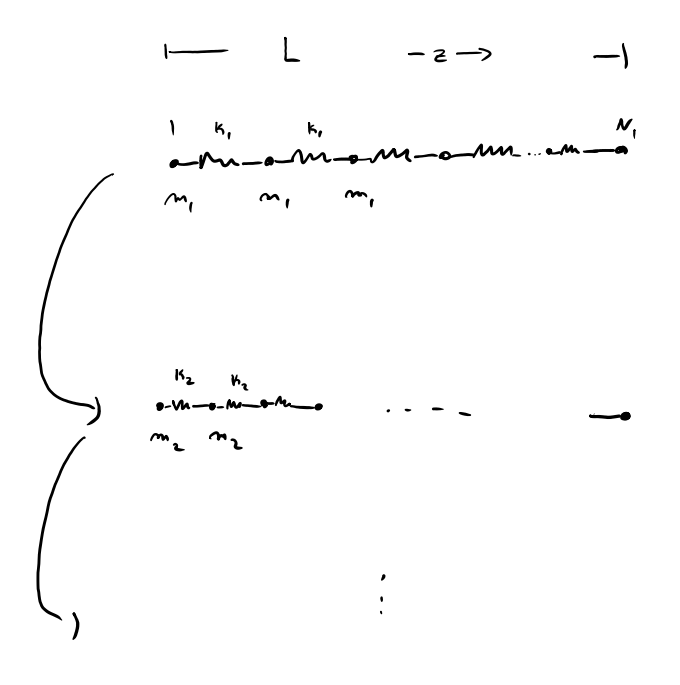
Die Darstellung von  $\delta(s,t)$  als Überlagerung von (räumlicher Mode x Anregungsstärke x Phasenfaktor mit konstanter Kreisfrequenz) ist für alle Wellenbewegungen relevant. Sie finden Varianten dieses Ausdrucks für Gitterschwingungen (hier), Schwingungen in kontinuierlichen Medien, Lösungen der Schrödingergleichung und den Maxwellgleichungen. In der Quantenfeldtheorie tauchen diese Ausdrücke wieder auf - lediglich die Anregungsstärke wird dann durch einen Operator modelliert, der mit der Anzahl der Quasiteilchen in der Mode zusammenhängt.

Mehr Information dazu in der nächsten Lektion.

$$\delta(s,t) = \frac{1}{\sqrt{N}} \sum_{h} \operatorname{Re}\left(c_{h} \frac{\omega_{h}}{i} e^{-i\omega_{h}t} e^{i\frac{2\pi}{N}ks}\right)$$

$$= \frac{1}{\sqrt{N}} \sum_{h} \omega_{h} \operatorname{Im}\left(c_{h}(t) e^{i\frac{2\pi}{N}ks}\right)$$

## 4.5.4 Kontinuumslimes



Renormalisiere Parameter:

$$N_{i} = 2 N_{i-1}$$
 $m_{i} = \frac{1}{2} m_{i-1}$ 
 $\Delta_{i} := \frac{L}{N_{i}} = \frac{1}{2} \Delta_{i-1}$ 
 $K_{i} = 2 K_{i-1}$ 

Verschiabungs feld

$$d_{i}(z, t) = \delta_{(i)}(\lfloor \frac{z}{\Delta_{i}} \rfloor, t)$$

$$[0, L] \qquad \uparrow \qquad \uparrow$$

$$[0, L] \qquad \uparrow \qquad \uparrow$$

# BW G.

$$m_i d_i(z, t) = K_i (d_i(z-\Delta_i, t) - 2 d_i(z, t) + d_i(z+\Delta_i, t))$$

$$\frac{d}{dz} d_i(z+\Delta_i,t) \longrightarrow \frac{d}{Az} d_i(z+\Delta_i,t)$$

$$\frac{d_i(z+\Delta_i,t)-d_i(z,t)}{\Delta_i} \qquad \frac{d_i(z+\Delta_i,t)-d_i(z+\Delta_i,t)}{\Delta_i}$$

$$\frac{d}{dz} d_i(z+\Delta_i,t) = (K_i \Delta_i)$$

$$\frac{\Delta_i}{\Delta_i} \qquad \Delta_i$$

$$S \quad \text{Massendichta} \quad E$$

$$E \text{Lastizitals modul}$$

$$\Rightarrow g \frac{d\zeta}{d\zeta} d(z,t) = E \frac{dz}{dz} d(z,t)$$

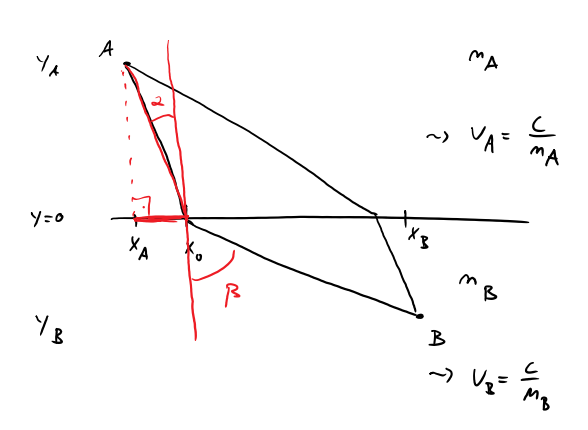
$$(=) \left[ \frac{d^2}{dt^2} - \frac{E}{S} \frac{d^2}{dt^2} \right] d(z,t) = 0$$

gelöst durch

$$d(z,t) = e^{ikz - i\omega_n t}$$

mit 
$$\omega_k = \sqrt{\frac{E}{S}}$$
.

# 5.1 Vorbereitung 1: Das Fermatsche Prinzip

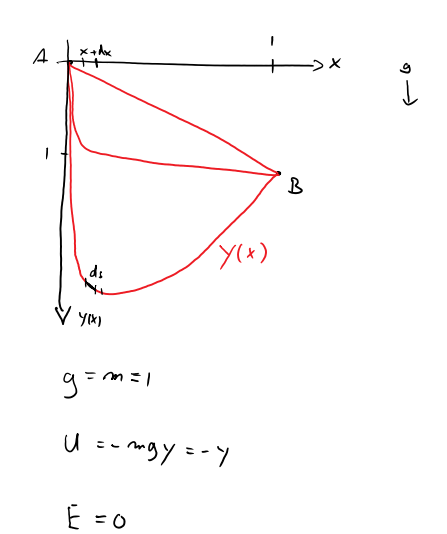


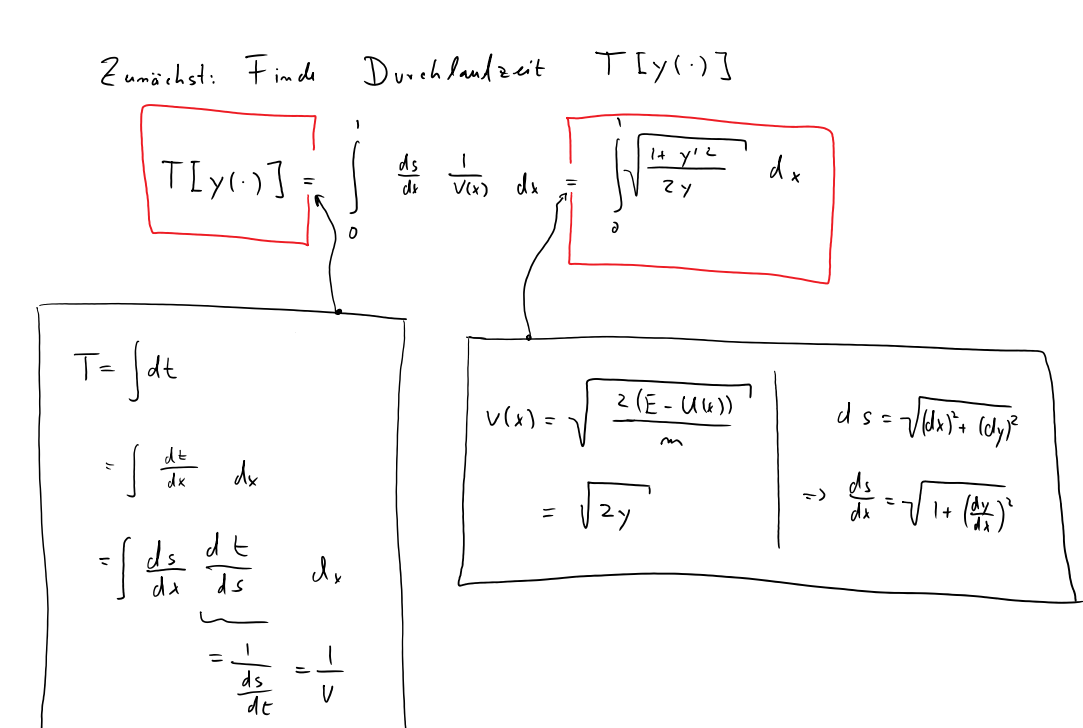
Fernet: Der Plad wird angenommen, de-

Stationovitatebed .:

$$O = \frac{1}{c} \frac{d}{dx_o} T(x_o) = \frac{m_A}{c} \frac{(x_o - x_A)}{\sqrt{y_A^2 + (x_o - x_A)^2}} - \frac{m_B}{c} \frac{(x_B - x_o)}{\sqrt{y_B^2 + (x_B - x_o)^2}}$$

$$= \frac{1}{c} (m_A \sin \alpha - m_B \sin \beta)$$





Wie findet man nun  $y(\cdot)$ 's, für die  $T[y(\cdot)]$  minimal ist? Die allgemeine Theorie kommt als nächstes, die Brachistochrone rechnen Sie als Hausaufgabe aus.

### 5.3 Vorbereitung 3: Stationäre Punkte und Gradienten

Eximatrumg: Stationing Phts von Flot. S: IRN -> IR

Punht  $\vec{x} \in \mathbb{R}^N$  ist stationer, were  $\forall$  Variationer  $\vec{\delta} \in \mathbb{R}^N$  gixt

$$O = \frac{d}{d\epsilon} \Big|_{\epsilon = 0} \quad S'(\vec{x} + \epsilon \vec{\delta}) \tag{S}$$

Das ist after glaich

$$\sum_{i} \frac{\Im r_{i}}{\Im S^{i}}(\vec{x}) \Im_{i} = (\vec{\nabla} S^{i}(\vec{x}), \vec{S})$$

und dahan ist (S) inquivalent zu

$$\overrightarrow{\nabla} S(\overrightarrow{x}) = 0 \qquad (=) \qquad \frac{\partial S}{\partial r_i}(\overrightarrow{x}) = 0.$$

Non dun Funktionale:

$$S': (Fundiam R') \rightarrow IR \rightarrow IR$$

$$\overrightarrow{q}(\cdot) \qquad \mapsto S' \overrightarrow{L} \overrightarrow{q}'(\cdot) \overrightarrow{J}$$

Beschränke auf folgende Klosse von Funktionelen:

Definiere Stationerrität bei q(1): Verlang, doss für jede Veriation

$$\vec{\delta}(\cdot)$$
 mit  $\vec{\delta}(t_0) = \vec{\delta}(t_1) = 0$  give:

$$\frac{d}{d\epsilon}\Big|_{\epsilon=0} \leq \left[ \vec{q}(\cdot) + \epsilon \vec{\delta}(\cdot) \right] = 0$$

(Amolog En (S))

Zisl: Find Analogon 2 um "Gradienten kriterium" (G) für Funktionale.

"
$$\frac{d}{d\epsilon} \left[ \vec{q}(\cdot) + \epsilon \vec{S}(\cdot) \right] = \int_{\epsilon_0}^{\epsilon_0} \sum_{i} \left[ \frac{\delta S}{\delta q_i} \vec{S}_i(t) dt \right]$$
Tunktionalablatung"

### 5.4 Die Euler-Lagrange-Gleichung

$$S[\vec{q}(t)] = \int_{t_0}^{t_0} L(\vec{q}(t), \vec{q}(t), t) dt$$

$$\vec{\delta}(t_0) = \vec{\delta}(t_1)$$

$$0 = \frac{1}{d\epsilon} \left[ \frac{\partial}{\partial \epsilon} \left( \vec{q}'(t), \vec{q}'(t), t \right) \delta_{\epsilon}(t) \right]$$

$$= \int_{\epsilon_{\epsilon}}^{\epsilon_{\epsilon}} \left[ \frac{\partial}{\partial \epsilon} \left( \vec{q}'(t), \vec{q}'(t), t \right) \delta_{\epsilon}(t) \right] + \sum_{\epsilon}^{\epsilon} \left[ \frac{\partial}{\partial \epsilon} \left( \vec{q}'(t), \vec{q}'(t), t \right) \delta_{\epsilon}(t) \right] dt$$

$$= \frac{\partial}{\partial \epsilon} \left[ \frac{\partial}{\partial \epsilon} \left( \vec{q}'(t), \vec{q}'(t), t \right) \delta_{\epsilon}(t) \right] + \sum_{\epsilon}^{\epsilon} \left[ \frac{\partial}{\partial \epsilon} \left( \vec{q}'(t), \vec{q}'(t), t \right) \delta_{\epsilon}(t) \right] dt$$

Partielle Integration

$$\int_{t_0}^{t_i} \frac{\partial L}{\partial \dot{q}_i} \frac{d}{dt} \, \delta_i \, dt = -\int_{t_0}^{t_i} \left( \frac{d}{dt} \, \frac{\partial L}{\partial \dot{q}_i} \right) \, \delta_i \, dt + \left[ \frac{\partial L}{\partial \dot{q}_i} \, \delta_i \, \right]_{t_0}^{t_i}$$
=0

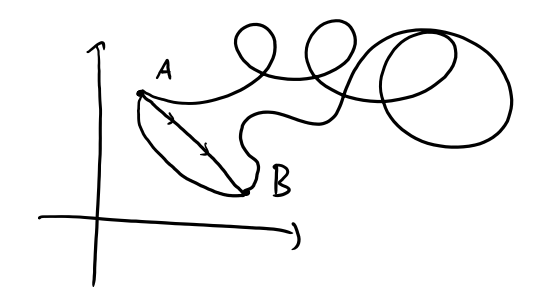
$$=\int_{\zeta_{0}}^{\zeta_{0}} \left( \frac{\partial \zeta_{0}}{\partial \zeta_{0}} - \frac{\partial \zeta_{0}}{\partial \zeta_{0}} \right) \delta_{i} dt$$

$$= \frac{1}{2} \left( \frac{\partial \zeta_{0}}{\partial \zeta_{0}} - \frac{\partial \zeta_{0}}{\partial \zeta_{0}} \right) \delta_{i} dt$$

=) Gradienten Kriterium 
$$\int_{0}^{\infty} \frac{1}{\sqrt{2}q_{i}} = 0$$
 Figure of  $\int_{0}^{\infty} \frac{1}{\sqrt{2}q_{i}} = 0$  Figure of  $\int_{0}^{\infty} \frac{1}{\sqrt{2}q_{i}} = 0$ 

## 5.5 Anwendung: Geodäten

$$\vec{q}(\cdot)$$
 stationar  $\iff$   $\frac{\partial L}{\partial q_i} - \frac{\lambda}{dt} \frac{\partial L}{\partial \dot{q}_i} = 0 \quad \forall i = 1, ..., N.$ 



Dazu: Lifrachta Kurven 
$$q(t)$$
 mit  $\vec{q}'(0) = A$ ,  $\vec{q}(1) = B$ .

$$S'\left[\vec{q}(\cdot)\right] = \left[\vec{a}_{mg} \quad von \quad \vec{q}(\cdot)\right]$$

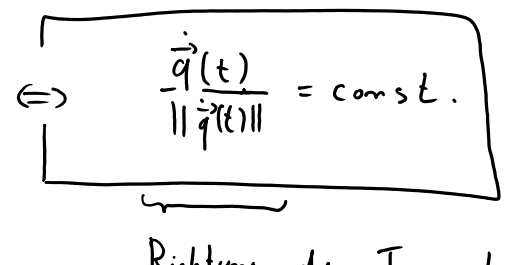
$$= \int \left\|\left|\frac{d}{d\epsilon}\vec{q}(\epsilon)\right\|\right| d\epsilon$$

$$= \int L(\vec{q}(\epsilon), \vec{q}(\epsilon), \epsilon) d\epsilon$$

$$mi+ \left\lfloor \left(\overrightarrow{r}, \overrightarrow{v}, t\right) = \left|\left(\overrightarrow{r}, \overrightarrow{v}\right)\right| = \left(\frac{N}{N} \right) \right| = \left(\frac{N}{N} \left|V_{i}\right|^{2}\right) \right|^{1/2}$$

$$\frac{\partial L}{\partial r_i} = 0 , \qquad \frac{\partial L}{\partial v_i} = \frac{v_i}{\|\vec{v}\|}$$

$$O = \frac{\partial L}{\partial q_i} \frac{d}{dt} \frac{\dot{q}_i(t)}{\|\dot{q}(t)\|} \qquad i = 1, ..., N$$



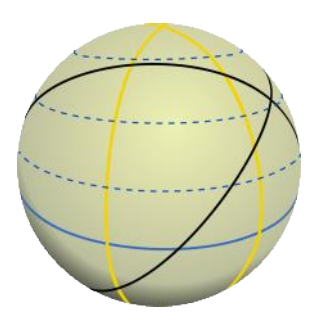
Richtung der Tangente

Verbindungslinien zwischen zwei Punkten, die bezüglich der Gesamtlänge stationär sind, heißen Geodäten. Geodäten im Auklidischen Raum sind also einfach Graden - keine sehr



Verbindungslinien zwischen zwei Punkten, die bezüglich der Gesamtlänge stationär sind, heißen Geodäten. Geodäten im euklidischen Raum sind also einfach Graden - keine sehr überraschende Erkenntnis. Geodäten kann man aber auch auf gekrümmten Körpern definieren. Auf der Kugel heißen sie Großkreise - das sind, im Wesentlichen, die Bahnen, auf denen Flugzeuge fliegen. Großkreise zeigen, dass eine Bahn, die stationär bezüglich des Längenfunktionals ist, nicht unbedingt ein globales Minimum ist: Von Köln nach Berlin kann man auch über Atlantik und Pazifik auf einem Großkreis reisen.

In der allgemeinen Relativitätstheorie wird gezeigt, dass Licht sich auf Geodäten in der vierdimensionalen Geometrie der Raumzeit bewegt. Spätestens dann wird die Rechnung oben interessanter....



[Quelle: Wikipedia, Gemeinfrei]

$$\vec{q}(\cdot)$$
 stationar  $\iff$   $\frac{\partial L}{\partial q_i} - \frac{\lambda}{\Delta t} \frac{\partial L}{\partial q_i} = 0 \quad \forall i = 1, ..., N.$ 

Ziel hier: **Das Prinzip der Stationären Wirkung**. Für konservative mechanischen Systeme sind die Lösungen der Newtongleichungen genau diejenigen Bahnkurven, die stationär für folgendes Funktional sind:

$$\begin{array}{lll}
S[\vec{q}(\cdot)] = \int_{t_{0}}^{t_{0}} L(\vec{q}(t), \vec{q}(t)) dt & \text{`Wickung''} \\
L(\vec{r}, \vec{v}') = T(\vec{v}) - U(\vec{r}') & \text{Lagrang-Fkt.} \\
T(\vec{v}) = \sum_{i=1}^{n} \frac{1}{2} m_{i} V_{i}^{2} & \text{Kinstische Energia} \\
U(\vec{r}') & \text{Potential, olso } F_{i}(\vec{r}') = -\frac{\partial}{\partial r_{i}} U(\vec{r}') \\
\hline
\frac{\partial L}{\partial v_{i}} = -\frac{\partial U}{\partial r_{i}} = F_{i}(r) & \text{Krift} \\
\frac{\partial L}{\partial v_{i}} = m_{i} v_{i} & \text{Impuls}
\end{array}$$

$$\iff \overline{+}_{i}(\overline{q}(t)) = \frac{d}{dt} m_{i} \dot{q}_{i}(t) = 0$$

$$\iff \overline{+}_{i}(\overline{q}'(t)) = m_{i} \dot{q}_{i}(t)$$

Nantongleichung

• Das Prinzip der stationären Wirkung wurde früher (und manchmal heute noch)

- "Prinzip der minimalen Wirkugn" genannt. Die mathematischen Bedingungen die wir gestellt haben, sind aber auch mit einem Sattelpunkt oder einem Maximum verträglich (auch wenn man sich überlegen kann, dass Maxima für mechanische Lagrange-Funktionen der Form L=T-U nicht vorkommen können (warum?)).
- Viele technische Begriffe der Mechanik werden durch Worte bezeichnet, die auch eine umgangssprachliche Bedeutung haben. In der Regel passt diese zur technischen Definition (Kraft, Leistung, Energie). Es ist etwas unglücklich, dass die Funktion S[] auch einen Namen hat (Wirkung), der eine intuitive Interpretation suggeriert. Eine solche gibt es nämlich nicht. Schon, weil der Zahlenwert S[r] völlig irrelevant ist nur die funktionale Abhängigkeit von S von r(t) geht in die Rechnung ein.
- Historisch (und zum Teil bis heute) wird dem Prinzip der stationären Wirkung manchmal eine fast mystische Bedeutung zugeschrieben. Was ist die Interpretation?
   Warum geht die Natur mit Wirkung sparsam um? Was bedeutet es, dass der Endpunkt festgehalten wird (vergl. "Teleologie"). Das sind natürliche Fragen... ...aber es scheint, leider, nicht viel dabei herumgekommen zu sein.
- Das Prinzip der stationären Wirkung passt gut zur Pfadintegral-Formulierung der Quantenmechanik. Manchmal hört man, Pfadintegrale "erklärten" das Prinzip. Wie ist das zu verstehen? Mathematisch gibt es nichts zu erklären: Die Äquivalenz zu den Newtongleichungen haben wir oben ja in zwei Zeilen abgeleitet. Gemeint ist wohl, dass wenn man die Pfadintegralformulierung bereits internalisiert hat, dann ist das Wirkungsprinzip eine sehr direkte und natürliche Konsequenz.
- Variationsprinzipien tauchen auch in anderen Bereichen der Physik auf. Wir hatten das Fermatsche Prinzip erwähnt. *Alle* bekannten fundamentalen Naturgesetze können mit passenden Lagrangefunktionen aus dem Prinzip der stationären Wirkung abgeleitet werden! Die fundamentalen Lagrangefunktionen sind häufig besonders einfach. Ein spektakulärer Fall der mich sehr beeindruckt sind die (komplizierten) Einsteinschen Feldgleichungen der Allgemeinen Relativitätstheorie, die aus der wohl einfachsten denkbaren Wirkung folgen, die der Geometrie des Problems angepasst ist (Einstein-Hilbert-Wirkung). Auf die Frage, warum das Prinzip so gut funktioniert, ist mir keine allgemein akzeptierte Antwort bekannt.
- Auf die Frage, warum diese Formulierung so beliebt ist, gibt es hingegen viele Antworten. Zum einen ist das Prinzip wie wir gleich sehen werden koordinatenunabhängig. Wir werden zeigen, dass die ELG daher auch in krummlinigen Koordinatensystemen gelten, was praktisch ein großer Vorteil sein kann. Darüber hinaus ist es oft einfacher mit skalaren Funktionen zu arbeiten (also der Lagrangefunktion) als mit den resultierenden Gleichungssystemen. Wenn zum Beispiel die Symmetrien eines physikalischen Systems bekannt sind, ist es leichter, eine entsprechend symmetrische Lagrangefunktion zu raten, als direkt ein gleichermaßen symmetrisches Gleichungssystem.

#### 5.7 ELG in allgemeinen Koordinaten

Ein großer Vorteil der Euler-Lagrange-Gleichungen gegenüber den Newton-Gleichungen besteht darin, dass sie in beliebigen Koordinaten gültig sind. Hier zeigen wir an einem Beispiel, wie man das anwendet. Danach werden wir noch einmal systematisch darüber sprechen, was es mit allgemeinen Koordinatensystemen auf sich hat.

Betrachten Sie ein System dissen Kinatische und potentielle Emegia

durch Funktionen einem Instidsutem mit Koordinaten ?

$$T(P) = \sum_{i=1}^{N} \frac{1}{2} m_i r_i^2, \qquad U(P)$$

gegeben sind.

See non  $\vec{q}(\vec{r})$  eine invertierbase  $\vec{r}$   $\vec{R}^N \rightarrow \vec{R}^N$ , so diss wir die  $\vec{q}'$ 's

Koordination ve winden konnen.

Bsp.: N=2, Polar Koordination

$$\vec{\Gamma} = \begin{pmatrix} x \\ y \end{pmatrix}, \qquad \vec{q}'(\vec{r}') = \begin{pmatrix} r(x,y) \\ p(x,y) \end{pmatrix} = \begin{pmatrix} \sqrt{x^2 + y^2} \\ arcos \frac{x}{y} \end{pmatrix}$$

Newton: P(t) ist physikalisch mögliche Bohm, wenn die T(t)=- in 27 (t)= - 1 (T(t)) Frage: Was sind BWGR, die physik. mögl. Bahnen gilt) auszeichnen?

Wir werden zugen:

Schribe T, U, L=T-U Sigl. der Koordinaten q aus.

Polorkoordinatem B sp .:

$$T(\vec{r}) = \frac{1}{2} m ||\vec{r}||^2 = \frac{1}{2} m (\vec{r}^2 + \vec{r}^2 \vec{\phi}^2)$$

vergl. Kepler

② Die BWGe in g. Koordinaten sind dann durch die ELG's  $\frac{\partial L}{\partial q_i} - \frac{J}{J} \frac{\partial L}{\partial \dot{q}_i} = 0 \qquad i = 1, ..., N.$ 

Man mennt die Ablitung P: = 3L den zu 9; Konjugierten

verollgemeineten Impula Domit:

$$\frac{d}{dt} P_i = \frac{\partial L}{\partial q_i}$$

Bsp.: N=2, Polar Koordinatum, U=Ulr) rotations in variant.

• 
$$P_{\phi} = \frac{\partial L}{\partial \dot{\phi}} = m \Gamma^2 \dot{\phi}$$
 ~> der zu  $\phi$  konjugierte Impuls  $P_{\phi} = Betreg l des Drehimpulses$ 

$$\frac{\partial L}{\partial x} = 0$$

$$\frac{\partial L}{\partial \phi} = 0 \qquad \text{Koordinotan } q_i \quad \text{mit} \quad \frac{\partial L}{\partial q_i} = 0 \quad \text{haifsen} \quad \frac{\partial y \, k \, k \, i \, s \, ch}{\partial q_i}.$$

$$\Rightarrow \frac{d}{dt} P_{0} = 0$$

• 
$$P_{\Gamma} = \frac{\partial L}{\partial \dot{r}} = m \dot{r}$$
 "Radial impuls"

$$\frac{\frac{h L_3}{\int \Gamma}}{\frac{\partial L}{\partial \Gamma}} = -\frac{\partial L}{\partial \Gamma} \Pi + \frac{h L \dot{\phi}_{s}}{\int \Gamma} = -\frac{\partial L}{\partial \Gamma} \left( \Pi + \frac{5h L_5}{\sqrt{5h L_5}} \right)$$

[Vergl. unsere vorhergehende Rechnung]

#### Baustellenschild

Friday, December 3, 2021 11:26 AM

Achtung: Dieser ganze Abschnitt ist noch eine Baustelle.

#### Überblick

Ein großer Vorteil der Lagrange-Formulierung der Mechanik ist, dass sie in beliebigen Koordinaten gilt. So kann man z.B. ein Koordinatensystem wählen, in dem das Potential eine besonders leichte Form annimt, und man kann viel leichter Situationen behandeln, bei denen die Bewegung der Teilchen auf eine Untermenge des euklidischen Raumes eingeschränkt ist.

Um das genauer zu erklären, beschäftigen wir uns kurz mit Koordinaten, Darstellungen und Transformationen. Wir werden auch sehen, warum die Formulierung nach Newton nicht so gut mit allgemeinen Koordinaten umgehen kann.

Um geometrische Objekte zu beschreiben, hat sich in der Physik eine minimalistische Notation durchgesetzt, die für das effiziente Rechnen optimiert ist. Die Begriffsbildung in der Mathematik ist dagegen viel ausführlicher, was das konzeptionelle Verständnis erleichtern kann. Dieser Kurs verwendet meistens die physikalischen Begriffe. In diesem Kapitel werden wir aber kurz die mathematische Formulierung umreißen. Falls Sie die Physik dann mal verwirrt, haben sie damit hoffentlich das notwendige Vokabular zur Verfügung, um Ihre Verwirrung wenigstens in Worte fassen zu können.

Beispiele von Mehrduntigheiten in phys. Notation:

- (I) P Komm sein:
  - (1) Em Punkt im Ravn: PeR3
  - (2) Fine Bahnkurm: F: R → R3, t +> F(+)
  - (3) Ein Koordinatunwahsel. 2. B.: F: IR, x [0, π) × [0, 2π) → R

$$\begin{pmatrix} \Gamma \\ 0 \\ \emptyset \end{pmatrix} \mapsto \Gamma \begin{pmatrix} \sin \vartheta & \sin \emptyset \\ \sin \vartheta & \cos \emptyset \end{pmatrix} = \Gamma \begin{pmatrix} \Gamma \\ 0 \\ \emptyset \end{pmatrix}$$

- (4) Ein Varieblemerne: U=U(r), 3U/2r;
- Die Interpretation Kann sich im Verlauf einer Rechnung implizit ändern:

(II) Grametrische Objekte und ihre Derstellungen begl. verschiedener Koordinaten werden nicht klar getrennt:

$$\int \omega \ U(x,y) = \frac{1}{\sqrt{x^2 + y^2}}$$

Frage: 1st

$$(V(\Gamma, \phi) = \begin{cases} \frac{1}{\sqrt{\Gamma^2 + \phi^2}} & \text{(with Namen getundener Variables beliefy sind)} \\ \frac{1}{\Gamma} & \text{(with $\binom{x}{Y}$) Kastesische Koord. Sind, $\binom{x}{\phi}$) PolonKoord.} \end{cases}$$

Folgedragen: · Was ist damm (11,1)? 1 odon 1/2 Z.

· Ist U(r, x) die gleiche Fht. wie U(x,y) ("das Potential"); ode line ander Tht., da die Abhängiheit des Wertes von den Paramaten gänzlich anders ist?

#### Koordinaten

Betrachten Sie ein geometrisches Objekt M. Ein Koordinatensystem auf M ist eine Abbildung, die jedem Punkt  $m \in M$  einen eindeutigen Vektor von Zahlen zuordnet.

Bsp 1:



M = Orte in Kölm

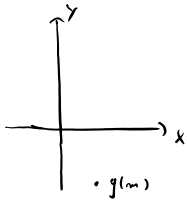
http://www.ciliandia.au/cili/Eil-Mada Luftiid 2012 Calana anial cinc billabada bada inc

Podar -Hourdinates

h

g) Kentosische Moordinaten

M -> (Abstend zum Dom
Winked begl. Linia Dom -> Osten)



Bsp. 2:



M= Erdosafläche

Kourdinatin

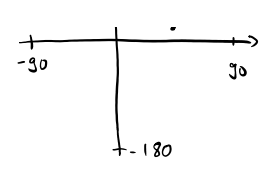
m > (Britingrad)

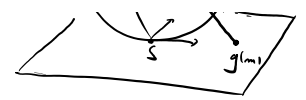
180 h(m) M -> Sterragraphische Projektion

3 g(m)

Wir denken uns eine Ebene, die parallel zum Äquator an den Südpol geheftet ist. In der Ebene wählen wir kartesische Koordinaten (z.B. *x*-Achse parallel zum Nullmeridian und *y*-Achse bei 90° Länge). Die Koordinaten für einen Punkt *m* auf der Kugel sind dann die kartesischen Koordianten des Schnittpunktes der Verbindungslinie Nordpol-*m* mit der Ebene.

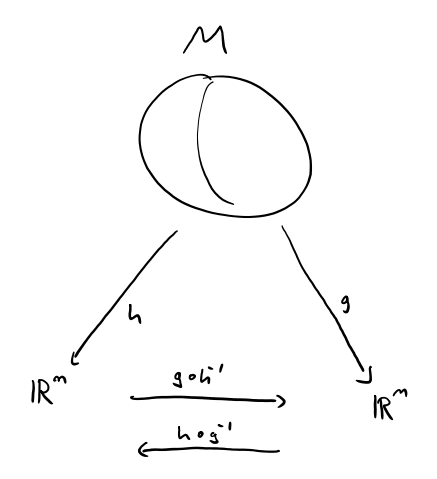
Ausblick: Stereographische Koordinaten finden viele Anwendungen. Z.B. kann man die Kepler-Bahnen als stereographische Projekten von Großkreisen auf einer



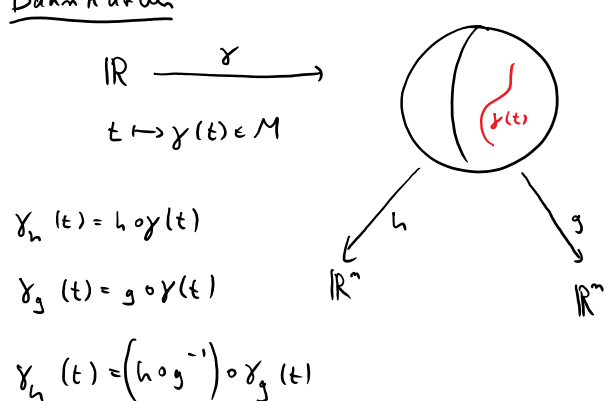


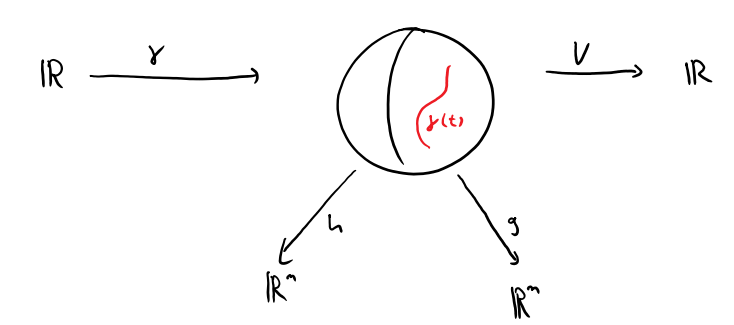
Ausblick: Stereographische Koordinaten finden viele Anwendungen. Z.B. kann man die Kepler-Bahnen als stereographische Projekten von Großkreisen auf einer vierdimensionalen Kugel in den dreidimensionalen Raum verstehen (und so nebenbei die Bedeutung des Runge-Lenz-Vektors als Erzeugende einer vierdimensionalen Drehung verstehen).

#### Kourdinaten wech sel



# Bahnkurun



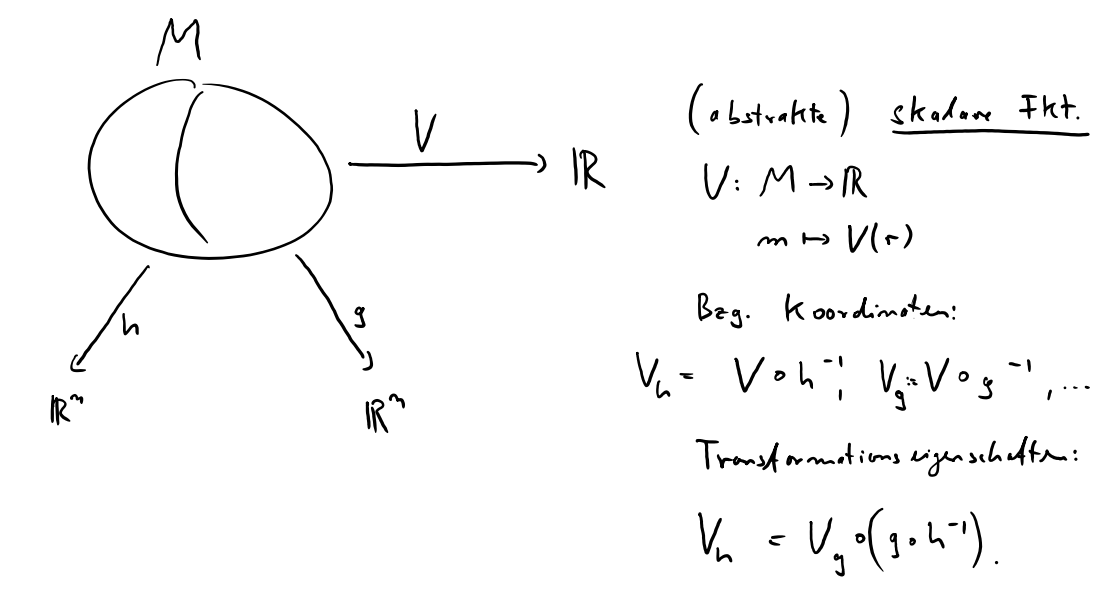


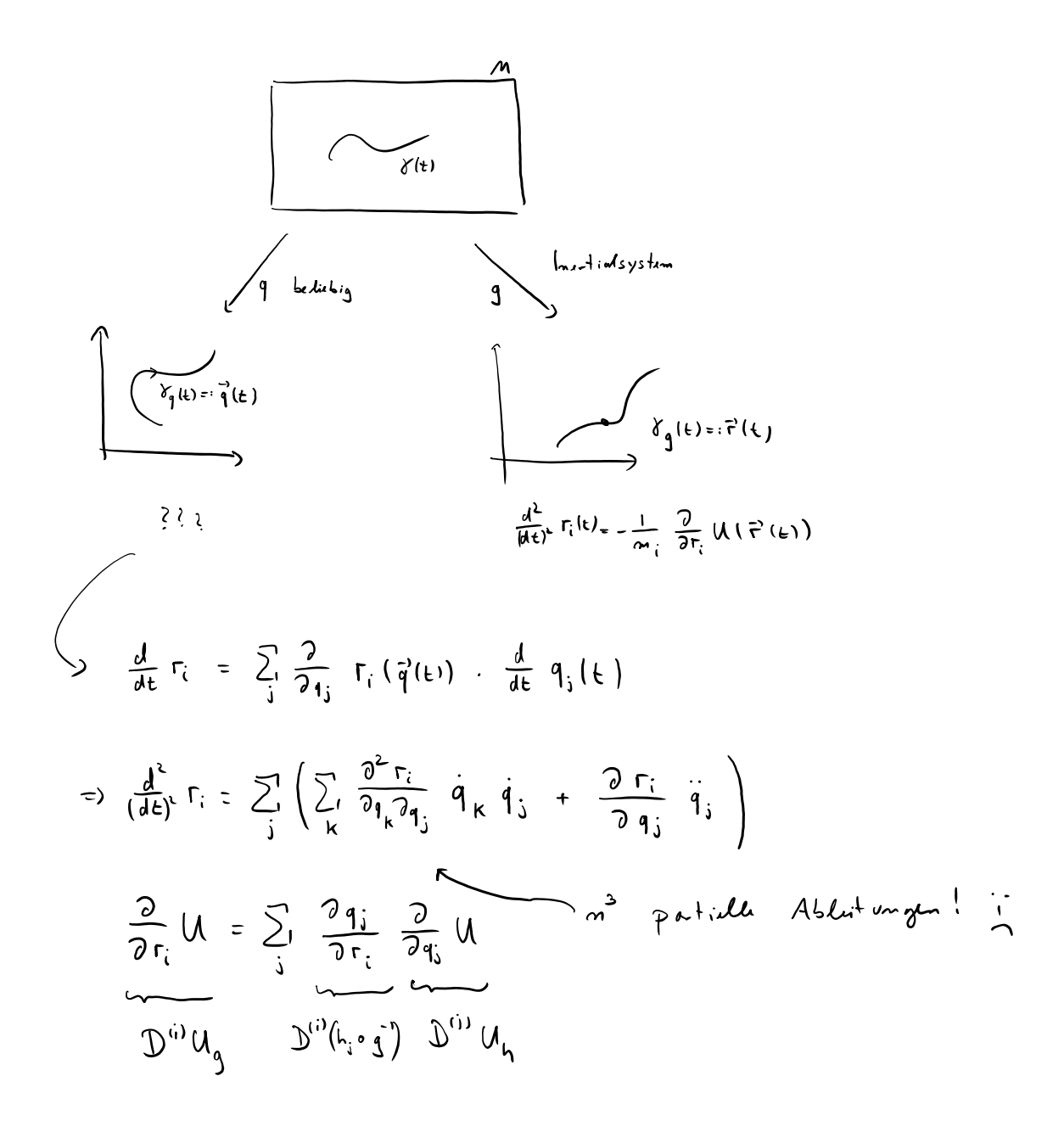
· V ist <u>Invariante</u> von y, wenn de Voy(t)=0. (also, wenn V(y(t)) e IR sine <u>Konstante</u> ist).

# Skelane Fht., and grunted ant lang since Behnkurve Voy: IR -> IR. Komplett koordinates frei! i Ocher, schwieniger, in Koordinates: Voy = Vo(hiloh) oy = Vo 8h

Moth.	Physik	
m e M	ŗ	Punkt im Raum
$h: M \to \mathbb{R}^m$	r	Koordinaton funktion
g:M -> RM	Ē',	ander "
	<b>-</b> ?	" (wenn sie nicht linear vom 7° obligingt).
x=h(m) E 1R"	ŕ	Koordinater aines Punktes
8: 1R -> M	r', r'(+) , r'(·)	(Bahn-) Kuru
χ(t) ∈ M	r', r'(+)	Purkt auf Bohmkurve
h •g-1 : 1Rm → 1Rm	ቮ, ቮ( <b>ቮ</b> ')	Koordinaten wech wh
V: M → R	۷, ۷(۲)	skalan Fht.
V(m) & IR	V, V(7)	Wat on Flot. on

# Skalare Funktionen

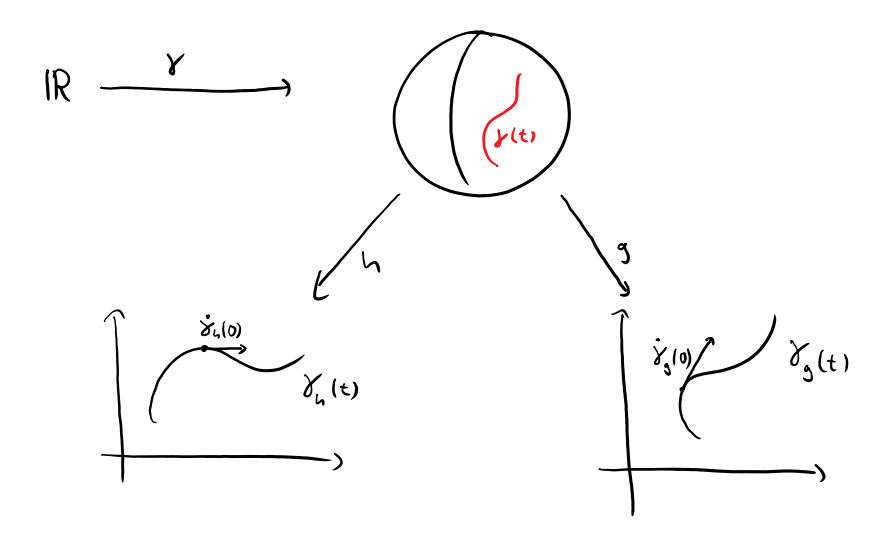




#### Nachteile:

- Um die Bewegungsgleichung in den verallgemeinerten Koordinaten  $\vec{q}$  aufzustellen, muss man zunächst einen Koordinatenwechsel  $\vec{r}(\vec{q})$  in ein Inertialsystem finden.
- $\bullet$  Dann muss man  $N^3$  partielle Ableitungen ausrechnen.
- Die resultierenden Bewegungsgleichungen haben eine andere Form als die Newtongleichungen. Und keine, die im Vergleich sehr einladend scheint.
- Es gibt keine manifest koordinatenfreie Charakterisierung der physikalischen Bahnen.

$$\frac{d}{dt} U(y(t)) = \frac{d}{dt} U_{3}(y_{3}(t)) = (\nabla U_{3}, \dot{y}_{3}(t))$$



Transformations whaten:

$$\frac{d}{d\varepsilon} \left( Y_{g}(\varepsilon) \right)_{i} = \frac{d}{d\varepsilon} \left( g \cdot \vec{h} \cdot \circ Y_{h}(\varepsilon) \right)_{i} = \sum_{j} \mathcal{D}^{(j)} \left( g \cdot \vec{h} \cdot \right)_{i} \frac{d}{d\varepsilon} \left( Y_{h}(\varepsilon) \right)_{j}$$

$$\vec{F}'(\varepsilon) = Y_{g}(\varepsilon)$$

$$\vec{S}'(\varepsilon) = Y_{h}(\varepsilon)$$

$$\frac{d}{d\varepsilon} \Gamma_{i} = \sum_{j} \frac{\partial r_{i}}{\partial s_{j}} \frac{d}{d\varepsilon} s_{j}.$$

$$d_{\varepsilon} \Gamma_{i} = \frac{\partial r_{i}}{\partial s_{i}} d_{\varepsilon} r_{j}'$$

Konsistent check:

# Transformationseigenschaften der Funktionalableitung

Eximation and die Eximation  $S': \mathbb{R}^N \longrightarrow \mathbb{R}$  station  $S': \mathbb{R}^N \longrightarrow \mathbb{R}$  station  $S': \mathbb{R}^N \longrightarrow \mathbb{R}$   $\overrightarrow{\nabla}^{(r)}S' = 0$ .

But rachte num neue Koordinaten S(F)

Zwer ist

$$\vec{\nabla}^{(r)} S' \qquad \Rightarrow \quad \vec{\nabla}^{(r)} S'$$

ober

$$\overrightarrow{\nabla}''$$
  $S' = 0 \quad \Longleftrightarrow \quad \overrightarrow{\nabla}'$   $S' = 0$ 

Brw.:

$$\frac{\partial}{\partial r_{i}} S' = \sum_{j} \frac{\partial s_{j}}{\partial r_{i}} \frac{\partial}{\partial s_{j}} S'$$

$$\int a \cos b_{i} - Matrix \quad von \quad Koordinata weekseln per Dal. in verticabar$$

 $\prod$ 

Also: Gradienten müssen unter Koordinatenwechsel kovariant transformiert werden - es sei denn, man testet nur ob sie Null sind. Daher führen Stationaritätsprinzipien auf koordinateninvariante Bedingungen.

# Fün ELG

Um den Beweis auf Funktionale anwenden zu können, müssen wir ausrechnen, wie sich Funktionalableitungen unter Koordinatenwechsel verhalten. Es stellt sich heraus, dass sie sich genau wie Gradienten transformieren - und damit der Beweis oben direkt übertragen werden kann.

$$\frac{\beta_{i} h_{i}}{\beta_{i} h_{i}} = \frac{\beta_{i}}{\beta_{i}} = \frac{\beta_{i}}{\beta_{i} h_{i}} = \frac{\beta_{i} h_{i}}{\beta_{i} h_{i}} = \frac{\beta_{i} h_{i}}{\beta_{i}} = \frac{\beta_{i} h_{i}}{\beta_{i}} = \frac{\beta_{i} h_{i}}{\beta_{i}} = \frac{\beta_{i} h_$$

- Annahung

  In ELG-VL untrachieden:

   Koordinaten  $\vec{r}$ ,  $\vec{v}$  Kurven  $\vec{q}(\cdot)$ , Tangenten  $\vec{q}(t)$   $\frac{\partial L}{\partial \dot{q}_i} = \frac{\partial L}{\partial v_i} (\vec{q}(t))$

$$\frac{2c}{2c} = \frac{3c}{3c} - \frac{3c}{3c} - \frac{3c}{3c}$$

$$\cdot \frac{\partial L'}{\partial \Gamma} = \sum_{i} \frac{\partial L'}{\partial s^{i}} \frac{\partial s^{i}}{\partial \Gamma}$$

$$\frac{\partial L}{\partial \dot{r}_{i}} = \sum_{j}^{j} \frac{\partial \dot{s}_{j}}{\partial \dot{r}_{i}} \frac{\partial L}{\partial \dot{s}_{j}} = \sum_{j}^{j} \frac{\partial s_{j}}{\partial \dot{r}_{i}} \frac{\partial L}{\partial \dot{s}_{j}}$$

$$\dot{S}_{j} = \sum_{j}^{j} \frac{\partial s_{j}}{\partial \dot{r}_{i}} \dot{r}_{i}$$

Nun einfach die Zeitableitung an der Jacobi-Matrix vorbeiziehen und die Matrix dann ausklammern. Wir erhalten die behauptet Transformation der Funktionalableitung.

#### 6.1 Zwangsbedingungen

Wir interessieren uns für Teilchen, deren Bewegungsfreiheit durch Zwangsbedingungen eingeschränkt ist.

<u>Bsp.:</u>





<u>Pendel</u> Massepunht mit

- · beneat sich in der Ebene
- · Abstand 1 zu einem Fix punkt = const.

2



Starmer Körper

m Massen, mit Koordinaten

mit Versin dungs wehteren

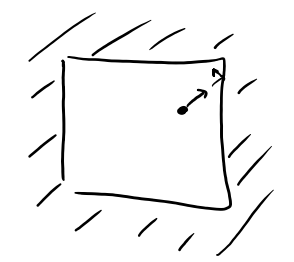
$$\vec{d}_{ij} = \vec{r}_i - \vec{r}_j$$

und Bedingungen:

$$(\overrightarrow{d_{ij}}, \overrightarrow{d_{i'j'}}) = const.$$

(= Abstinde und Winhed zwischen Teidehm sind Konstant).

(3)



Tuilchen in Kasten



Rad in der Ebene.

Beschniben durch

- · Ort
- · Richtung
- · Drehwinkel

Ortsveränderung nur entlang Richtung möglich.

# Aulgaben:



Wie kann man Bewegungslgeichungen für Systeme unter Zwangsbedingungen finden?

"Wiz?"

Möglichst so,

- dass nur ein minimaler Satz von Freiheitsgerade beschrieben werden muss; und so
- dass man die physikalischen Mechanismen, die Bewegung einschränken, nicht modellieren muss.



Optionaler Konsistenzcheck:

"Warum?"

Zeige, dass die im ersten Schritt entwickelte Methode zumindest näherungsweise aus den uneingeschränkten Bewegungslgeichungen ableitbar ist.

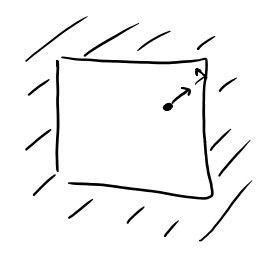
#### 6.2 Holonome Zwangsbedingungen

#### holonom

micht-holonom









Ohne 28: Kondigurationsraum ict R3m

In Bsp. O - 3 schränken die 2B die möglichen Konfigurationen

aut ime Menze M c 1R3m

Bsp. D. Q ist M unberandet.



2B disser Art heißer holomom.

Für holonome Systeme: zwei Möglichkeiten M zu beschreiben.

1 laplisit durch 28.

M = gemeinsomen Newstellen von Fht. f.,..., fe: R -> R  $= \left\langle \vec{r} \in \mathbb{R}^{3m} \right| \left\langle \int_{1} \left( \vec{r} \right) = \dots = \int_{1} \left( \vec{r} \right) = 0 \right\rangle$ 

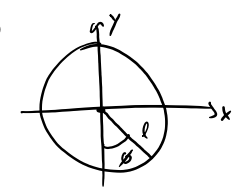
 $\int_{\mathcal{I}} (x,y,z) = z$   $\int_{\mathcal{I}} (x,y,z) = x^2 + y^2 - \lambda^2$ 

 $f_{i,j;i',j'}(\vec{r}) = (\vec{r}_i - \vec{r}_j, \vec{r}_{i'} - \vec{r}_{j'}) - c_{(i,i',j')}$ 

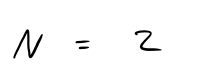
2) Explizit durch Koordinatum

Also einer minimalen Satz 9,1..., 9, von Parametern, die Konfig.

eindustig fistligen.









$$M = IR^3$$

#### 6.3 Das eingeschränkte Stationaritätsprinzip

Georben: System mit holonomen

Frage: Was simd die BWG1.2

(1)





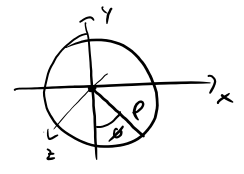
Postulet:

Eingsschränkta Stationaritälsprinzip"

Diesa-igen Bahnan sind physikalisch, für die die Wirkung begl. Variation im M stationär ist.

Rizipt

- 1) Wähle Koordinaten 9,,..., 9, auf M.
- Drücke Lagrange-Fhi. in qi aus.
- (=1,...,N ( < 3 m).



- 2 T(7) = 1 ~ 11712  $\Gamma = \begin{pmatrix} \frac{\sin \theta}{\cos \theta} \\ 0 \end{pmatrix}$ U(r) = mg y
  - ~> L(p, p) = 1 ml2 p + mgl cosp
  - $\frac{\partial L}{\partial \phi} = mgl \sin \phi \qquad \frac{d}{dt} \frac{\partial L}{\partial \dot{\phi}} = ml^2 \dot{\phi}$

#### 6.4 Zwangskräfte, d'Alembert-Gleichung

Wir haben mit dem eingeschränkten Stationaritätsprinzip die Mechanik von Teilchen unter Zwangsbedingungen in der Lagrange-Formulierung eingeführt.

Es gibt auch eine Newton-Formulierung von Mechanik unter Zwangsbedingungen. Die Entsprechung der Newton-Gleichung nennt man die d'Alembert-Gleichung oder auch das d'Alembertsche Prinzip.

Wir führen diese Sichtweise hier nur kurz ein.

Bsp.: Elmis Pendel.

Im Bsp. wird Schwerkroft -  $\vec{\nabla}(mgy)$  das
Teilchen aus M haraus ziehen. Um das zu
verhinden, muss die Stange eine "Zwangskraft"
ansijben.

Nach Newton 
$$m\vec{r} = \vec{T}$$
 folgt
$$\vec{T} = -\vec{\nabla}V + \vec{K}, \quad mit \quad \vec{K} = (m\vec{r} + \vec{\nabla}V)$$
 Zwangs kraft

Im Lagrange-Ansatz kommen die Zwangskräfte nicht vor. Das ist oft ein Vorteil, da man sie eben nicht modellieren muss.

Im Beispiel des Pendels ist die Zwangskraft K also diejenige Kraft, die die Stange auf die Masse ausübt. In einfachen Physikaufgaben soll sie oft vernachlässigt werden. Das gilt nicht für die Ingenieurin, die die Dicke des Stabs berechnen will, damit dieser nicht unter den Zwangskräften bricht. In den Ingenieurswissenschaften - und gerade in der *Statik* - sind Zwangskräfte also von großem Interesse!

In der Skizze steht K senkrecht auf M. Für Lösungen des eingeschränkte Stationaritätsprinzips ist das tatsächlich immer so. Die Umkehrung gilt auch: diese Eigenschaft charakterisiert die Lösungen. Das ist das d'Alembertsche Prinzip.

Wir mehmen an, doss M durch holonome Ewangsbed. definite ist: 
$$M = \left\{ \overrightarrow{r} \mid f_1(\overrightarrow{r}) = \dots = f_n(\overrightarrow{r}) = 0 \right\}$$

Zwangsbedingungen Page 9

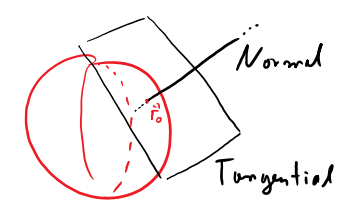
Betrachta Punkt Fo E M.

Die Menge aller Tongenten wektoren von Kurven die im M durch Fo lauhen ist der Tangentiedravm an M bei Fo:

$$T_{\vec{r}_o}M = \{\vec{r}_o(0) \mid \vec{r}(t) \in M, \vec{r}(0) = \vec{r}_o \}$$

Des Ortho-Komplement des Tangentielraums ist der Normalraum.

Bsp.: M = Sphän im R3.



# Damit:

## Anmerhungen:

In moderner geometrischer Sprache macht das d'Alembertsche Prinzip also Aussagen über Tangentialräume und Normalräume. d'Alembert hat das Prinzip aber entwickelt, bevor diese Begriffe etabliert waren. In Physiklehrbüchern findet man in diesem Zusammenhang häufig noch veraltete, weniger präzise Begriffe:

- Ein Tangentialvektor heißt dann "virtuelle Verrückung"
- Das d'Alembertsche Prinzip sagt, dass das innere Produkt zwischen Tangentenvektoren und den Zwangskräften verschwindet. Das innere Produkt zwischen einer Bahnkurve und einer Kraft ist physikalisch die Arbeit, die die Kraft an dem Teilchen verrichtet. Daher wird das d'Alembertsche Prinzip traditionell als die Aussage beschrieben, dass "die virtuelle Arbeit verschwindet". Man spricht daher auch von dem *Prinzip der virtuellen Arbeit*.

Warum sich diese unpräzise, altertümliche und verschwurbelte Sprache bis heute in Lehrbüchern hält ist mir ein Rätsel.

Anbei als Beispiel ein Auszug aus dem (ansonsten sehr schönen) Buch von Scheck zur Mechanik.

Alles klar??

2.2 Das d'Alembertsche Prinzip

#### 2.2.1 Definition der virtuellen Verrückungen

Eine virtuelle Verrückung  $\{\delta r_i\}$  des Systems ist eine willkürliche, infinitesimale Ände-Trung der Koordinaten, die mit den Kräften und den Zwangsbedingungen verträglich ist. Sie wird am System zu einem festen Zeitpunkt ausgeführt, hat also mit der infinitesimalen Bewegung (auch reelle Verrückung genannt)  $[dr_i]$  im Zeitintervall dt nichts zu tun. Etwas weniger präzise, dafür aber anschaulicher gesprochen, kann man sich das echanische System wie ein Fachwerkhaus vorstellen, das zwischen seine Nachbarhäuser und auf ein vorgegebenes Terrain passen muß (das sind die Zwangsbedingungen). und das in sich stabil sein soll. Um die Stabilität und die Tragfähigkeit zu testen "wackelt" man ein wenig an der Konstruktion, ohne die Zwangsbedingungen zu verlet zen. Man stellt sich dabei vor, daß die einzelnen Elemente des Baus infinitesimal in alle

TBD: Lograng-Multiplihatoren

Binus von (+):

eingrschvänktes Stat.-Primzip  $0 = \frac{d}{dc} \left[ \vec{q}(\cdot) + \vec{\epsilon} \vec{\delta}(\cdot) \right]$  $=\frac{d}{d\epsilon}\left[\hat{r}\left(\hat{q}(\cdot)+\epsilon\hat{s}(\cdot)\right)\right]$  $= \int_{0}^{\infty} \frac{d}{d\varepsilon} \left| \int_{0}^{\infty} \left( \vec{r} \left( \vec{q}(\varepsilon) + c \vec{\delta}(\varepsilon) \right), \frac{d}{d\varepsilon} \vec{r} \left( \vec{q} + \varepsilon \vec{r} \right) \right) d\varepsilon \right|$ 

 $\int_{J=1}^{\infty} \int_{J=1}^{N} \frac{\partial L_{r}}{\partial r_{j}} \left( \frac{d}{d\epsilon} \Big|_{o} \overrightarrow{r} \left( \overrightarrow{q}(\epsilon) + \epsilon \overrightarrow{b}(\epsilon) \right) \right)_{j} + \int_{J=1}^{N} \left( \frac{d}{d\epsilon} \frac{\partial L_{r}}{\partial \dot{r}_{j}} \right) \left( \frac{d}{d\epsilon} \left( \overrightarrow{r} \left( \overrightarrow{q}(\epsilon) + \epsilon \overrightarrow{b}(\epsilon) \right) \right) \right) dt$   $= m \ddot{r}_{i}$ 

= \[ \left( \overline{m} \vec{r} + \vec{v} \vec{v} \right), \frac{d||\vec{r}||\vec{q}(t) + (\vec{\delta}(t))|}{d|\vec{r}|} \] dt
\[ \vec{k} \]

beliebiger Tungenten whom zer M bei \vec{r}(q(t)).

"=" Wenn R im Normal rown ist, ist das inner Produkt = 0 ~ Es gilt also das einge. Stat.-Pr.

"=" Wenn dos Stat.-Pr. gill ist dos Integral = U

(wie bei Ben.)

(de ELG-GE.)

des immere Procluht = 0 ~ K normal zu M.

(de ELG-GE.)

(Tanogentialvek.

(von de Form sind)

#### 6.5 Skizzes eines physikalischen Modells

Sowohl das eingeschränkte Stationaritätsprinzip wie auch das (äquivalente) Prinzip von d'Alembert sind axiomatisch. D.h. wir haben sie nicht aus einer fundamentaleren Theorie abgeleitet, sondern einfach postuliert - und dann beibehalten, weil sie sich mit experimentellen Beobachtungen verträglich gezeigt haben.

Man kann aber auch einen physikalischen Ansatz für die Zwangskräfte machen und zeigen, dass in diesem Modell die d'Alembert-Gleichung aus der Newton-Gleichung abgeleitet werden kann.

Die Details sind eine freiwillige Zusatzaufgabe auf dem Übungszettel. Hier skizziere ich nur die grobe Idee.

Wir nehmen am, dass M durch holonome Ewangsbed. definit ist:

Man kann nun die "strenge Bedingung"  $f_i(\vec{r}) = 0$  durch eine "weiche Emergie-Strafe" ersotzen:

$$V(2) \mapsto \underbrace{V(2)}_{2k(1,2)} + \underbrace{P\sum_{i=1}^{k}}_{i=1} | \underbrace{f_i(2)}_{i}|^2, \qquad P \gg 0.$$

Sei  $\overrightarrow{Fp}(t)$  die Lösung de BWGl. für ein Teilchen unter diesem Potential, mit Andangsbed.  $\overrightarrow{Fp}(t) \in M$  und Energie  $\overrightarrow{E}$ .

Energie echaltung =>  $\overrightarrow{Fu}(t)$  wird im "Tubus"  $|\overrightarrow{Sili(r)}|^2 \leq \overline{F_i}|$  bleiben

Totential, mit Andangsbrd. Fp(t) EM und Emegis E.

Emergia enhaltung => Fp(t) wird im "Tubus" [\$\frac{5}{2} | f\_1(r)|^2 \leq \frac{F}{p} \rightharpoonup \righ

# 7.1 Transformationen von Bahnen und die Galileogruppe

Beobachtung: Physikalische Gesetze scheinen unabhängig von Ort, Zeit, Ausrichtung, ... zu sein.

Studium dieser Symmetrien:

- Vereinfacht Rechnungen (vergl. Keplerproblem)
- Liefert Erhaltungsgrößen (kommt bald)
- Zentrale Zutat bei der Konstruktion neuer Theorien (-> Relativität, Feldtheorien...)

$$\Lambda: \vec{q}'(\cdot) \mapsto \vec{q}''(\cdot)$$

die Bahnen auf Bahnen abbilden.

· Orts wesch ; ibungen

$$\vec{\Gamma}'(t) = \vec{\Gamma}(t) + \vec{\alpha}$$
  $\vec{\alpha} \in \mathbb{R}^2$ 

· Zuit verschiebungen

· Rotationen

 $R \in SO(3)$ 

 $R^T R = 1$ , Let R = 1.

· Galileo-Boost

$$\vec{\Gamma}'(t) = \vec{\Gamma}(t) + \vec{w}t$$
  $\vec{w} \in \mathbb{R}^3$ 

· Raumspiegelung

· Zuitum kehr

Insgesom t: -

3

3

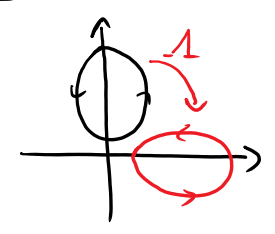
3

1/10

€, X € { 1, -15

10 Kont. Parameter

# \_prela Ahliv Interpretation



#### 7.2 Symmetrien

Wihle BWGR.

Ein Funktional A sine Symmetrie der BWGe, wenn

O A bildet Lag. der BWC1. auf Lag. al.

2 1 ist invotionbar.

Bsp.: m. Körpe-Problem

$$N = 3 m, \quad \text{Koordinaten:} \quad \overrightarrow{\Gamma_i} = \begin{pmatrix} x_i \\ y_i \\ z_i \end{pmatrix}, \quad \overrightarrow{\Gamma} = \begin{pmatrix} \overrightarrow{\Gamma_i} \\ \vdots \\ \overrightarrow{\Gamma_n} \end{pmatrix}.$$

• 
$$L = T - V$$
 
$$T = \sum_{i=1}^{n} m_i \| \hat{r}_i^* \|^2$$

$$V = \sum_{i \in \mathcal{I}} V_{ij} \left( || \vec{r}_i^2 - \vec{r}_j^2 || \right), \qquad V_{ij} : |\mathcal{R} \to |\mathcal{R}| \quad \text{bilibers}.$$

Beh: Galileo-Trans. sind Symmetries des m-Kuipe-Problems.

Bew.:

Drtsweschiabungen

$$\vec{\Gamma}_{i}'(t) = \vec{\Gamma}_{i}(t) + \vec{\alpha}, \qquad \vec{\Gamma}_{i}(t) = \vec{\Gamma}_{i}(t)$$

23 Ebenso behandelt man: Rotationen, Roumspiegelung, Zeit um kehr.

· Zait ve schiebung

$$S_{t_{0}}^{(t_{1})} \left[ \overrightarrow{\Gamma}'(\cdot) \right] = \int_{t_{0}}^{t_{1}} L(\overrightarrow{r}(t-s), \overrightarrow{r}(t-s)) dt$$

$$= \int_{t_{0}-s}^{t_{1}-s} L(\overrightarrow{r}(t), \overrightarrow{r}(t)) dt = S_{t_{0}-s}^{(t_{1}-s)} \left[ \overrightarrow{r}(\cdot) \right].$$

# · Galileo - Boost

$$\vec{\Gamma}'_i(t) = \vec{\Gamma}'_i(t) + \vec{w}t \implies \vec{\Gamma}'(t) = \vec{\Gamma}(t) + \vec{w}$$

$$\Rightarrow T(\dot{\vec{r}}'(\epsilon)) = \sum_{i} \frac{1}{2} m_{i} (\dot{\vec{r}} + \vec{w}, \dot{\vec{r}} + \vec{w})$$

$$= T(\vec{r}(t)) + \frac{1}{2} \sum_{i}^{n} m_{i} \left(2(\vec{w}, \vec{r}) + ||\vec{w}||^{2}\right)$$

$$\frac{d}{dt} = \frac{1}{2} \sum_{i}^{n} m_{i} \left(2(\vec{w}, \vec{r}(t)) + ||\vec{w}||^{2} \cdot t\right)$$

$$B(\vec{r}(t), t) = \frac{1}{2} Rand t = \frac{1}{2}$$

$$= \sum_{k}^{\ell} \left[ \vec{r}'(\cdot) \right] = \sum_{k}^{\ell} \left[ \vec{r}'(\cdot) \right] + \left. \vec{r}'(\vec{r}) \right|_{\ell}^{\ell}$$

Zu zeign: für stationän 
$$\vec{F}(\cdot)$$
, und  $\vec{\delta}(\cdot)$  mit  $\vec{\delta}(t_o) = \vec{\delta}(t_o) = 0$  gilt

$$O = \frac{1}{d\epsilon} \int_{\epsilon=0}^{\epsilon} \sum_{k=0}^{\epsilon} \left[ \left( \overrightarrow{\Gamma}(\cdot) + \overrightarrow{w} t \right) + \epsilon \overrightarrow{S}(\cdot) \right] dt$$

$$\left( \overrightarrow{\Gamma}(\cdot) + \epsilon \overrightarrow{S}(\cdot) \right) + \overrightarrow{w} t$$

$$= \frac{d}{d\epsilon}\Big|_{\epsilon=0} \qquad \sum_{t=0}^{|t|} \left[ \vec{\Gamma}(\cdot) + \epsilon \vec{\delta} \right] + \frac{d}{d\epsilon}\Big|_{0} \left( \vec{\Gamma}(t) + \epsilon \vec{\delta}(t) + 1 \right)\Big|_{t=0}^{|t|} \right)$$

$$= 0 \qquad da \qquad \vec{\Gamma}(\cdot) \qquad \text{stationar} \qquad = 0 \qquad da \qquad \vec{\delta} \qquad \text{as} \qquad D \qquad da$$

=0 da F(·) stationir =0 da 5 am Rand=0.

Symmetrien Page 10

#### 7.3 Satz von Noether

Si man 
$$q_i$$
 Eyhlisih  $\Rightarrow \frac{d}{dt} \frac{\partial L}{\partial \dot{q}_i} = 0 \Rightarrow Q = \frac{\partial L}{\partial \dot{q}_i}$  EHG!

Geometrich: Bep: 9, 24 hlisch

L(9, + 5, 92, 9, 192) 

Batrackte L die unter Rotationen

inverial ist. 25 Wald Polar hoordinatur

$$\frac{q_2}{q_1}$$
 $\frac{d}{d}$ 
 $\frac{d}{d}$ 

Die beiden Skizzen suggerieren, dass jede Invarianz der Lagrange-Funktion zu einer zyklischen Koordinate "geglättet" werden kann. Der damit assozierte verallgemeinerte Impuls ist dann EHG.

Der Satz von Noether extrahiert die EHG direkt aus der Symmetrie, ohne dass man einen Koordinatenwechsel machen muss.

Das geht so:

Sei 
$$\vec{\Phi}^{(s)}: |\vec{R}^N \to \vec{R}^N$$
 in which ber, mit
$$\vec{\Phi} = \vec{\Phi}^{(o)}(\vec{x}) = \vec{x}$$

$$\frac{\overrightarrow{b} sp.:}{\overrightarrow{\Phi}^{(s)}} (\overrightarrow{x}) = \overrightarrow{x} + s\overrightarrow{a}$$

$$\frac{\overrightarrow{\Phi}^{(s)}}{\overrightarrow{k}} (\overrightarrow{x}) = \underbrace{\begin{bmatrix} \cos s & -\sin s & 0 \\ \sin s & \cos s & 0 \\ 0 & o & 1 \end{bmatrix}}_{R_{e_{i}}^{(s)}}$$

$$\frac{\overrightarrow{\Phi}^{(s)}}{e_{i}^{(s)}} (\overrightarrow{x}) = \underbrace{\begin{bmatrix} \cos s & -\sin s & 0 \\ \sin s & \cos s & 0 \\ 0 & o & 1 \end{bmatrix}}_{R_{e_{i}}^{(s)}} \overrightarrow{k}$$

$$\frac{\overrightarrow{\Phi}^{(s)}}{e_{i}^{(s)}} (\overrightarrow{k}) = \underbrace{\begin{bmatrix} \cos s & -\sin s & 0 \\ \sin s & \cos s & 0 \\ 0 & o & 1 \end{bmatrix}}_{R_{e_{i}}^{(s)}} (\overrightarrow{k}) = \underbrace{\begin{bmatrix} \cos s & -\sin s & 0 \\ \sin s & \cos s & 0 \\ 0 & o & 1 \end{bmatrix}}_{R_{e_{i}}^{(s)}} (\overrightarrow{k}) = \underbrace{\begin{bmatrix} \cos s & -\sin s & 0 \\ \sin s & \cos s & 0 \\ 0 & o & 1 \end{bmatrix}}_{R_{e_{i}}^{(s)}} (\overrightarrow{k}) = \underbrace{\begin{bmatrix} \cos s & -\sin s & 0 \\ \cos s & \cos s & 0 \\ 0 & o & 1 \end{bmatrix}}_{R_{e_{i}}^{(s)}} (\overrightarrow{k}) = \underbrace{\begin{bmatrix} \cos s & -\sin s & 0 \\ \cos s & \cos s & 0 \\ 0 & o & 1 \end{bmatrix}}_{R_{e_{i}}^{(s)}} (\overrightarrow{k}) = \underbrace{\begin{bmatrix} \cos s & -\sin s & 0 \\ \cos s & \cos s & 0 \\ 0 & o & 1 \end{bmatrix}}_{R_{e_{i}}^{(s)}} (\overrightarrow{k}) = \underbrace{\begin{bmatrix} \cos s & -\sin s & 0 \\ \cos s & \cos s & 0 \\ 0 & o & 1 \end{bmatrix}}_{R_{e_{i}}^{(s)}} (\overrightarrow{k}) = \underbrace{\begin{bmatrix} \cos s & -\sin s & 0 \\ \cos s & \cos s & 0 \\ 0 & o & 1 \end{bmatrix}}_{R_{e_{i}}^{(s)}} (\overrightarrow{k}) = \underbrace{\begin{bmatrix} \cos s & -\sin s & 0 \\ \cos s & \cos s & 0 \\ 0 & o & 1 \end{bmatrix}}_{R_{e_{i}}^{(s)}} (\overrightarrow{k}) = \underbrace{\begin{bmatrix} \cos s & -\sin s & 0 \\ \cos s & \cos s & 0 \\ 0 & o & 1 \end{bmatrix}}_{R_{e_{i}}^{(s)}} (\overrightarrow{k}) = \underbrace{\begin{bmatrix} \cos s & -\sin s & 0 \\ \cos s & \cos s & 0 \\ 0 & o & 1 \end{bmatrix}}_{R_{e_{i}}^{(s)}} (\overrightarrow{k}) = \underbrace{\begin{bmatrix} \cos s & -\sin s & 0 \\ \cos s & \cos s & 0 \\ 0 & o & 1 \end{bmatrix}}_{R_{e_{i}}^{(s)}} (\overrightarrow{k}) = \underbrace{\begin{bmatrix} \cos s & -\sin s & \cos s & 0 \\ \cos s & \cos s & \cos s & 0 \\ 0 & o & 1 \end{bmatrix}}_{R_{e_{i}}^{(s)}} (\overrightarrow{k}) = \underbrace{\begin{bmatrix} \cos s & -\sin s & 0 \\ \cos s & \cos s & 0 \\ 0 & o & 1 \end{bmatrix}}_{R_{e_{i}}^{(s)}} (\overrightarrow{k}) = \underbrace{\begin{bmatrix} \cos s & -\sin s & 0 \\ \cos s & \cos s & 0 \\ 0 & o & 1 \end{bmatrix}}_{R_{e_{i}}^{(s)}} (\overrightarrow{k}) = \underbrace{\begin{bmatrix} \cos s & -\sin s & 0 \\ \cos s & \cos s & 0 \\ 0 & o & 1 \end{bmatrix}}_{R_{e_{i}}^{(s)}} (\overrightarrow{k}) = \underbrace{\begin{bmatrix} \cos s & -\sin s & 0 \\ \cos s & \cos s & 0 \\ 0 & o & 1 \end{bmatrix}}_{R_{e_{i}}^{(s)}} (\overrightarrow{k}) = \underbrace{\begin{bmatrix} \cos s & -\sin s & 0 \\ \cos s & \cos s & 0 \\ 0 & o & 1 \end{bmatrix}}_{R_{e_{i}}^{(s)}} (\overrightarrow{k}) = \underbrace{\begin{bmatrix} \cos s & -\sin s & 0 \\ \cos s & \cos s & 0 \\ 0 & o & 1 \end{bmatrix}}_{R_{e_{i}}^{(s)}} (\overrightarrow{k}) = \underbrace{\begin{bmatrix} \cos s & -\sin s & 0 \\ \cos s & \cos s & 0 \\ 0 & o & 1 \end{bmatrix}}_{R_{e_{i}}^{(s)}} (\overrightarrow{k}) = \underbrace{\begin{bmatrix} \cos s & -\sin s & 0 \\ \cos s & \cos s & 0 \\ 0 & o & 1 \end{bmatrix}}_{R_{e_{i}}^{(s)}} (\overrightarrow{k}) = \underbrace{\begin{bmatrix} \cos s & -\sin s & 0 \\ \cos s & \cos s & 0 \\ 0 & o & 1 \end{bmatrix}}_{R_{e_{i}}^{(s)}} (\overrightarrow{k}) = \underbrace{\begin{bmatrix} \cos s & -\sin s & 0 \\ \cos s & \cos s & 0 \\$$

Nicht-Bsp.:

\* Zzit we schirbung (Die Φ's agieren nur auf dem Konfigurationsraum, nicht auf der Zeit)

· Galileo-Boosts (Der Randterm verdirbt es)

Sotz Su I's wie oben. Sitze

Q = 
$$\sum_{i} \frac{\partial L}{\partial \dot{q}_{i}} \frac{d}{ds} \Big|_{S=0} \Phi_{i}^{(s)} (\bar{q}^{s})$$
.

"Verely. Impuls in Richtung des V.F. der Symmetrie"

Dann:  $\mp ii$  Lsg.  $\vec{q}'(\cdot)$  de Bluce. gitt  $Q(\vec{q}'(t), \vec{q}'(t)) = const.$ 

$$\frac{\partial}{\partial t} Q = \sum_{i} \left( \frac{\partial}{\partial t} \frac{\partial L}{\partial \dot{q}_{i}} \right) \frac{\partial}{\partial s} \left[ \vec{q}'(t) \right] + \sum_{i} \frac{\partial L}{\partial \dot{q}_{i}} \frac{\partial}{\partial t} \frac{\partial}{\partial s} \left[ \vec{q}'(t) \right]$$

$$= \frac{\partial}{\partial s} \left|_{S=0} L \left( \vec{\underline{q}}'(s) \left( \vec{q}'(t) \right), \frac{\partial}{\partial t} \vec{\underline{q}}'(s) \left( \vec{q}'(t) \right) \right) = 0.$$

#### 7.4 Homogenität und Isotropie des Raums

Noether EHG:

$$Q = \sum_{j=1}^{N} \frac{\partial L}{\partial \dot{q}_{j}} \left. \frac{d}{ds} \right|_{S=0} \underline{\Phi}_{j}^{(i)} (\bar{q}')$$

Boispiele lier des m-Körpe-Problem L =  $\sum_{i \neq j} \frac{1}{2} m_i \|\vec{r}_i\|^2 - \sum_{1 \leq i \leq j \leq n} V_{ij} (\|\vec{r}_i^2 - \vec{r}_j\|)$ 

• Ords we schiebung entlang der x-Achse.

$$\vec{\Gamma}_{i} \mapsto \vec{\Gamma}_{i} + s \vec{e}_{x}$$

$$\vec{\Gamma} \mapsto \begin{pmatrix} x_{1} + s \\ \frac{2}{2} \\ x_{2} + s \\ \frac{2}{2} \\ x_{3} + s \end{pmatrix} = 1$$

$$\vec{Q} = \sum_{i} \frac{\partial L}{\partial x_{i}} = \sum_{i} m_{i} \dot{x}_{i} = \left(\sum_{i} \vec{p}_{i}^{2}\right)$$

$$\vec{R} \mapsto \begin{pmatrix} x_{1} + s \\ \frac{2}{2} \\ x_{2} + s \\ \vdots \\ x_{3} + s \end{pmatrix}$$

· Duchung um 2-Achse.

$$\vec{\Gamma}_{i} \mapsto \begin{bmatrix} \cos s & -\sin s & o \\ \sin s & \cos s & o \\ o & o & 1 \end{bmatrix} \begin{pmatrix} k_{i} \\ y_{i} \\ k_{i} \end{pmatrix} = \begin{bmatrix} 0 & -1 & o \\ 1 & o & o \\ 0 & o & o \end{bmatrix} \begin{pmatrix} k_{i} \\ y_{i} \\ k_{i} \\ k_{i} \end{pmatrix} = \vec{e}_{2} \times \vec{\Gamma}_{i}$$

$$Q = \sum_{i=1}^{m} \left( \frac{\partial L}{\partial \dot{x}_{i}} \left( \vec{e}_{z} \times \vec{\Gamma}_{i} \right)_{x} + \cdots \right)$$

$$= \sum_{i=1}^{m} \left( \vec{P}_{i, j} \cdot \vec{e}_{z} \times \vec{\Gamma}_{i} \right)$$

>> | Sotropia des Raumes => Dachim pulsarhaltung

#### 7.5 Der verallgemeinerte Satz von Noether

### Annahmen:

Betrochte Transformationen:  $\Lambda^{(5)}: \vec{q}(\cdot) \mapsto \vec{q}^{(5)}(\cdot)$  mit

(0) 
$$\vec{q}^{(6)}(t) = \vec{q}(t)$$

(1) Es gibt Tht. 
$$\vec{\Delta}: \mathbb{R}^{N} \times \mathbb{R}^{N} \times \mathbb{R} \to \mathbb{R}^{N}$$

$$\frac{d}{ds}\Big|_{s=0} \vec{q}^{(s)}(\xi) = \vec{\Delta}(\vec{q}(\xi), \dot{\vec{q}}(\xi), t)$$

(2) Es sist 
$$\mp ht$$
.  $f: |R'' \times |R'' \times |R \rightarrow |R|$ 

$$\frac{d}{ds} \left|_{0} L\left(\vec{q}^{(s)}(t), \vec{q}^{(s)}(t), t\right) = \frac{d}{dt} f\left(\vec{q}^{(t)}, \vec{q}^{(t)}, t\right).$$
(2 u vor:  $f = 0$ )

$$Q = \sum_{i} \frac{\partial L}{\partial i} \Delta_{i} - i$$
 ist EHG.

$$\frac{\partial}{\partial t} Q(\vec{q}(t), \vec{q}(t), t)$$

$$= \sum_{i} \left( \frac{\partial L}{\partial q_{i}} \Delta_{i} + \frac{\partial L}{\partial \dot{q}_{i}} \frac{d}{dt} \Delta_{i} \right) - \frac{d}{dt} t$$

$$= \frac{d}{ds} \left| \left( \vec{q}^{(s)}(t), \vec{q}^{(s)}(t), t \right) - \frac{d}{dt} t \right|$$

$$= \frac{d}{dt} dt$$

$$- \frac{d}{dt} dt = 0$$

Noether EHG:

$$Q = \sum_{j=1}^{N} \frac{\partial L}{\partial \dot{q}_{3}} \Delta_{3} - L$$

Buspiele lier des m-Körper-Problem L = 
$$\sum_{i \neq j} \frac{1}{2} m_i ||\vec{r}_i||^2 - \sum_{1 \leq i \leq j \leq n} V_{ij} (||\vec{r}_i^2 - \vec{r}_j^2||)$$

· Zeit verschießungen

$$\vec{\Gamma}^{(i)}(t) = \vec{\Gamma}(t-s)$$

$$3 \frac{d}{ds} = -\sum_{j=1}^{\infty} \frac{\partial L}{\partial r_i} \dot{r}_i(t) - \sum_{j=1}^{\infty} \frac{\partial L}{\partial \dot{r}_i} \ddot{r}_i(t)$$

$$= -\frac{d}{dt} L(\dot{r}_i(t), \dot{r}_i(t))$$

$$\Rightarrow Q = -\sum_{j=1}^{N} \frac{\Im L}{\Im \dot{r}_{j}} \dot{r}_{j} + L = -H$$

Für m-Körper:

$$\sum_{i=1}^{m} \left( \frac{\partial L}{\partial \dot{x}_{i}} \dot{x}_{i} + \cdots \right) = 2 T \left( \frac{1}{r^{2}} \right)$$

$$m_{i} \dot{x}_{i}$$

=) 
$$H = Q = 2T - L = 2T - (T - V)$$
  
=  $T + V = Emergia.$ 

Homogenitöt de Zeit => Emegre etalting

· Galileo Boost (entlang x-Achse)

$$\vec{\Gamma}_{i}^{(s)} = \vec{\Gamma}_{i} + s\vec{e}_{\kappa} +$$

$$3 \qquad f = \frac{d}{ds} \Big|_{0} = \frac{1}{2} \sum_{i} m_{i} (2s x_{i}(t) + s^{2} \cdot t)$$

$$= \left( \sum_{i} m_{i} \overrightarrow{\mathbf{r}_{i}} \right)_{X}$$

$$-\frac{1}{M}Q = \left(\frac{1}{M}\sum_{i}m_{i}\overline{r_{i}}\right)_{x} - \left(\frac{1}{M}\left(\sum_{i}\overline{p_{i}}\right)_{x}\right)_{x}$$
Schwapunkt

Grantimpul.

Boost - Invarianz => Schwupunhtsatz

#### 8.1 Hamilton-Mechanik

	N Variablen 2. Ordnung in t	2N Variables 1. Ordnung in t
Elementare Mechanik	$\frac{d^{2}}{(dt)^{2}}\Gamma_{i}=-\frac{1}{m_{i}}\frac{\partial V}{\partial r_{i}}$	$\frac{d}{d\epsilon} \Gamma_i = V_i$ $\frac{d}{d\epsilon} V_i = -\frac{1}{m_i} \frac{\partial V}{\partial \Gamma_i}$
Anady fisch Machanik	$\frac{\partial L}{\partial q_i} - \frac{d}{dt} \frac{\partial L}{\partial \hat{q}_i} = 0$	HamiltonKommt jutat

Hamiltonschen BWGL.

Zutaten: 
$$R^{2N}$$
 Phasenraum mit Kourdineten  $\vec{x} = (\vec{q} \ \vec{p})$ .

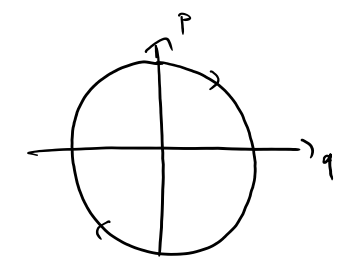
• Eine Bohn 
$$\vec{x}(t) = \begin{pmatrix} \vec{q}(t) \\ \vec{p}(t) \end{pmatrix}$$
 estimult Hamiltonishon BWG

$$\dot{q}_{i}(t) = \frac{\partial H}{\partial P_{i}}(\bar{q}(t), \vec{p}(t), t)$$

$$\dot{p}_{i}(t) = -\frac{\partial H}{\partial q_{i}}(\bar{q}(t), \vec{p}(t), t)$$
(H)

$$\underline{\underline{B}}$$
 Sp.:  $N=1$ ,  $H=\frac{1}{2}(p^2+q^2)$ 

$$\Rightarrow \dot{q}(t) = \frac{\partial f}{\partial p} = p(t), \qquad \dot{p}(t) = -\frac{\partial f}{\partial t} = -q(t)$$



## 8.2 Von Lagrange zu Hamilton

(ELG) 
$$\frac{\partial L}{\partial q_i} - \frac{d}{dt} \frac{\partial L}{\partial \dot{q}_i} = 0$$

$$\dot{q}_{i} = \frac{\partial H}{\partial r_{i}}$$

$$\dot{r}_{i} = \frac{\partial H}{\partial q_{i}}$$

Graphin. L(q,v,t).

- O SAtza
- (\*)  $P_{\epsilon}(\vec{q},\vec{v},t) = \frac{\partial L}{\partial v_{\epsilon}}(\vec{q},\vec{v},t) \qquad i=1...N$

i-te kanonish kinjugierte Impuls

2) Löse (\*) much v auf:

Worm Auflöser micht möglich: Um schreiber Von Lagrange out Homiston schaftert.

3 Setza  $H(\vec{q}',\vec{p}',t) = \sum_{i} P_{i} v_{i}(\vec{q}',\vec{p}',t) - L(\vec{q}',\vec{v}',\vec{q}',\vec{p}',t),t)$ 

Benchung: Interessieren uns für L/H i.A.R. im

Zusammehang mit Bahnen  $\vec{q}(t)$ . Setze dem  $\vec{v} = \vec{q}$ .  $\vec{r}$   $\vec{r}$ 

Legendre -

Transformation

$$\underline{B_s p_{::}} \qquad L(\vec{q}, \dot{\vec{q}}, t) = T(\dot{\vec{q}}) - V(\vec{q}), \qquad T(\dot{\vec{q}}) = \sum_i \frac{1}{2} m_i \ \dot{q}_i^2.$$

$$=) \qquad P_{i} = \frac{\partial L}{\partial \dot{q}_{i}} = m_{i} \dot{q}_{i} \qquad \Rightarrow \qquad \dot{q}_{i} \left( \vec{q}_{i}, \vec{p}_{i}, \xi \right) = \frac{1}{m_{i}} P_{i}.$$

=) 
$$\sum_{i}^{n} P_{i}q_{i} = \sum_{i}^{n} - P_{i}^{n} = 2 T$$

$$\frac{\partial H}{\partial q_{i}} = \sum_{j} P_{i} \frac{\partial q_{i-}}{\partial q_{j}} - \frac{\partial L}{\partial q_{j}} - \sum_{j} \frac{\partial L}{\partial q_{j}} \frac{\partial q_{i-}}{\partial q_{j}} = \frac{1}{2} \frac{\partial L}{\partial q_{j}} = -\dot{p}_{j}.$$

$$\frac{\partial H}{\partial P_{i}} = \dot{q}_{i} + \sum_{i} P_{i} \frac{\partial q_{i}}{\partial P_{i}} - \sum_{i} \frac{\partial L}{\partial \dot{q}_{i}} \frac{\partial \dot{q}_{i}}{\partial P_{i}} = \dot{q}_{i}$$

" (= " Nahme on, doss x(t) (H) while. Doma:

$$\frac{d}{dt} \frac{\partial L}{\partial \dot{q}_j} = \dot{P}_j = -\frac{\partial H}{\partial \dot{q}_j} = -\frac{\partial H}{\partial \dot{q}_j} = -\frac{\partial L}{\partial \dot{q}_j} + \frac{\partial L}{\partial \dot{q}_j} + \frac{\partial L}{\partial \dot{q}_j} + \frac{\partial L}{\partial \dot{q}_j} = \frac{\partial L}{\partial \dot{q}_j} = \frac{\partial L}{\partial \dot{q}_j} .$$

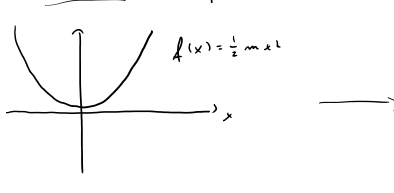
Zusammen Aassung-

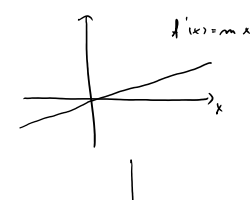
Rohman	System spizifiz	eirt durch	
Newton	<b>子</b> (ア, テ, t)	Krodfysatz	Integration
Lagrany	L(司, 市, E)	Lagrange-7 ht.	∓ =- → V → L = T - V
Hamilton	H ( q', p', t)	Homilton-FAH.	Legendre-Trafo H = [piqi-L

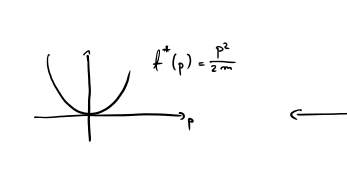
Batrachte Fhi. f: IR -> IR.

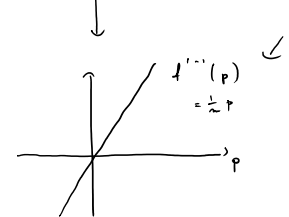
Set za p(x) = f(x).

More thank ist p um keh-box:









Physila- Kommer Com: 
$$p(x) = f'(x)$$
  
 $\times (p) = f^{-1}(p)$ 

$$= p \times (p) - f(x(p))$$

$$= p \times - f$$

## - Einschab: Geometria der Legendre-Trade-

Eine Menga M C R ist Komula wern die Vabindungslimle zwische je zwei Punkten ans M im M ligt.







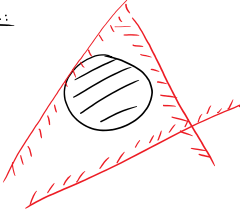


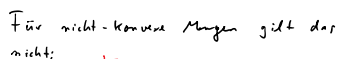




Dualität: Konnexe Minge Mist · Vereinigung alle Pumhte in M oder · Schmitt alle Hulbräumer, die M enthalten







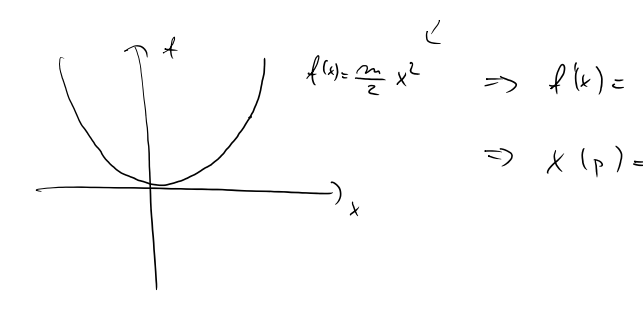


Dieses Konzept der konvexen Dualität nimmt viele Formen an und kommt in viele Bereichen der Mathematik und Physik vor. Z.B.:

- In der Theorie von Polyhedren insbesondere der Platonischen Körper
- In der Theorie normierter Räume
- Bei der Beschreibung allgemeiner Messungen auf quantenmechanischen Systemen
- In der Studie hypothetischer probabilistischer Theorien, die noch allgemeiner sind als QM
- In der Optimierungstheorie, wo Dualität benutzt wird um Optimalität einer Lösung zu zeigen, oder, allgemeiner, obere- und untere Schranken an eine zu optimierende Funktion zu finden
- ...und eben in der Zuordnung einer dualen Funktion der Legendre-Transformierten.



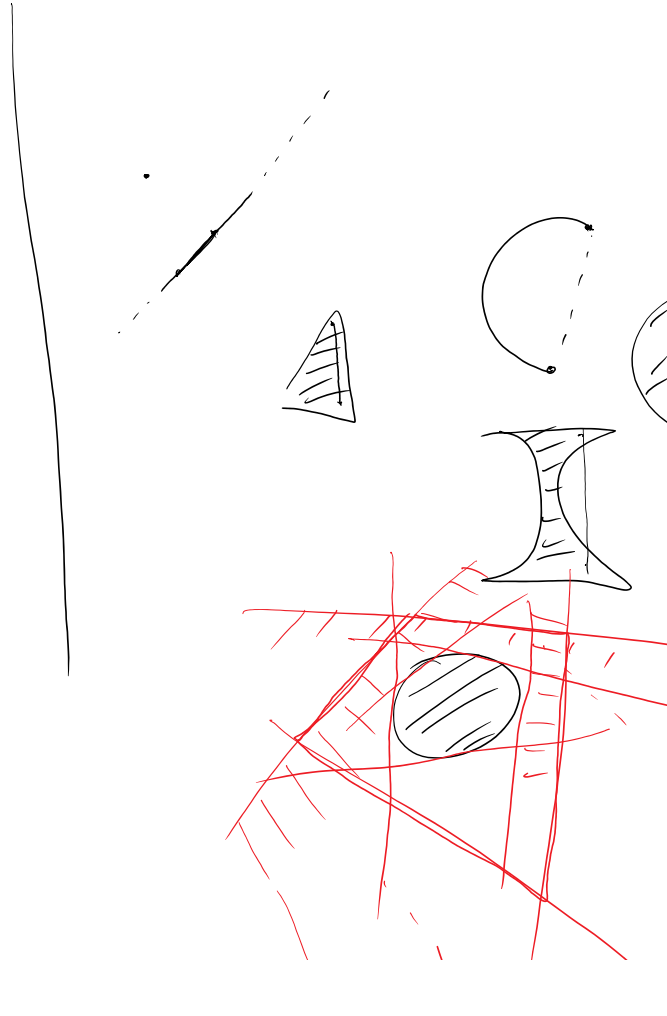
f(x):1R > R



$$D_{i} : f^{+} : \mathbb{R} \rightarrow \mathbb{R} \qquad \text{Leg.-Iran}$$

$$W_{i} = p \times (p) - f(x(p))$$

$$= -\frac{p^{2}}{m} - \frac{w}{2} \left(\frac{1}{m}p^{2}\right)$$



p x = p(x)

5l.

$$z = \frac{p^2}{2m}$$

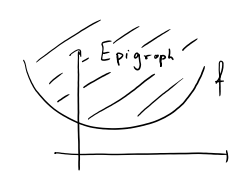


- In der Studie hypothetischer probabilistischer Theorien, die noch allgemeiner sind als QM
- In der Optimierungstheorie, wo Dualität benutzt wird um Optimalität einer Lösung zu zeigen, oder, allgemeiner, obere- und untere Schranken an eine zu optimierende Funktion zu finden
- ...und eben in der Zuordnung einer dualen Funktion der Legendre-Transformierten.



Zu Dunktit Lo Funktionen

Der Epigraph einer Flot. I: IR" -> PR ist
Menge der Puntote "übe dem Groph" von I:

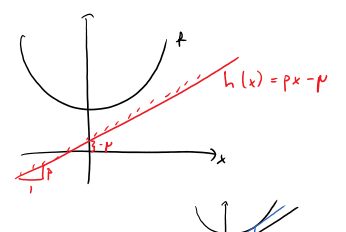


fist Konnex : Epigraph ist Konvex.
Bsp.:





Sei f Konvex Helbräume, die den Epigroph von f authalten. Werden durch affirme unter Schranken en f beschrieben:



 $h(\vec{x}) = (\vec{p}, \vec{k}) - p \quad \text{affin}$ and  $h(\vec{k}) \in f(\vec{k}) \quad \forall \vec{k} \in \mathbb{R}^{N}.$   $\Leftrightarrow p \geqslant \sup_{\vec{k}} \left[ (\vec{p}, \vec{k}) - f(\vec{k}) \right] =: f^{*}(\vec{p}).$ 



 $\frac{\text{Beh.:}}{\sqrt{\sqrt{(\vec{x}) = \vec{p}}}} \text{ supremmen, we}$ 

$$\frac{\beta_{\lambda \bullet ::}}{\beta_{\lambda \bullet ::}} = \frac{1}{\beta_{\lambda}} \left( (\frac{1}{\beta_{\lambda}}, \frac{1}{\beta_{\lambda}}) - \frac{1}{\beta_{\lambda}} (\frac{1}{\beta_{\lambda}}) \right)$$

$$\Rightarrow \int_{0}^{\infty} \left( \overrightarrow{p} \right) = \left( \overrightarrow{p}', \left( \overrightarrow{p}', \overrightarrow{p}' \right)^{-1} \left( \overrightarrow{p}' \right) \right) - \int_{0}^{\infty} \left( \left( \overrightarrow{\nabla} \overrightarrow{p} \right)^{-1} \left( \overrightarrow{p}' \right) \right)$$

$$=: \sum_{j} P_{j,j} \kappa_{j}(\overrightarrow{p}) - \int_{0}^{\infty} \left( \overrightarrow{\kappa}(\overrightarrow{p}') \right).$$

Eighschiften:

f\* 1st Konnex

0+4 = 0

Bew. (1) Epigriph von I\* = Meng Mer effmene unteren Schrenben on I.

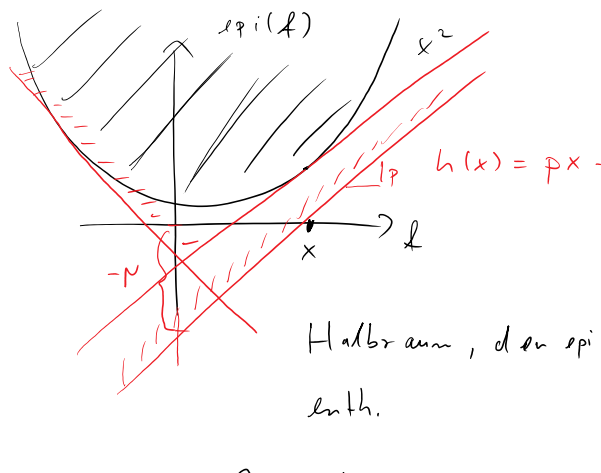
Konver.

(2) Konvike funktionen sind punktionisis Mex. elle affine untern Schrenken.

Dehi:  $f(\vec{y}) = \sup_{\vec{y}} [(\vec{x}, \vec{p}) - f^*(\vec{p})] = (f^*)^*(\vec{y}).$ 



干村



$$h(x) = px - p \leq f(x)$$

$$\times$$
 wo  $\int_{-\infty}^{\infty} (x) = p.$ 

$$\frac{\text{Bew.:}}{\text{o}} = \frac{1}{\text{d}x} \left( px - L(x) \right)$$

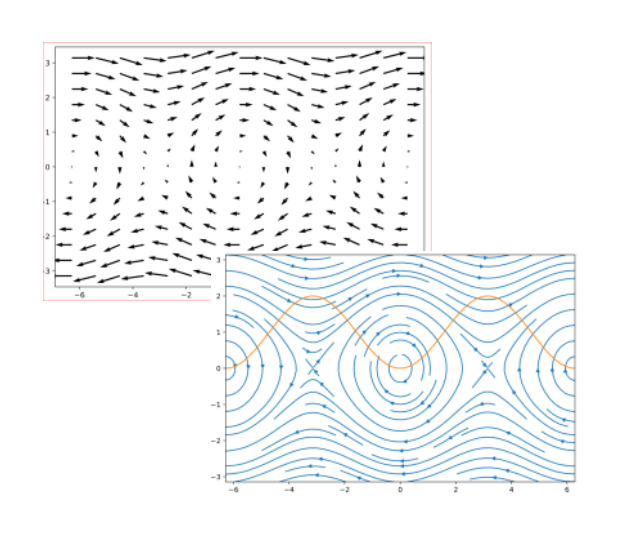
$$= p - f'(x) \cdot \Box$$

$$= \int_{\mathbb{R}^{+}(P)} f(x) = \int_{\mathbb{R}^{+}(P)} f(x) - \int_{\mathbb{R}^{+}(P)} f(x) - \int_{\mathbb{R}^{+}(P)} f(x) dx$$

ata h

(x)).

#### Erinnerung



$$\frac{d}{dt} \vec{x}(t) = \vec{f}(\vec{x}(t))$$

Differentialgleichungen erster Ordnung beschreiben Fluß durch Vektorfelder im Phasenraum.

$$\frac{\text{Hamilton:}}{q_i = \frac{\partial H}{\partial p_i}}, \quad P_i = -\frac{\partial H}{\partial q_i}$$

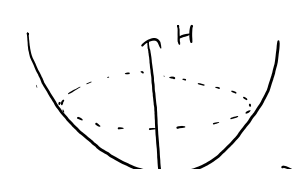
$$\overrightarrow{D} H = \begin{pmatrix} \overrightarrow{D}^{b} H \\ \overrightarrow{D}^{d} H \end{pmatrix} = \begin{pmatrix} \overrightarrow{D}^{d} & \cdots & \cdots & \cdots \\ \overrightarrow{D}^{d} & \cdots &$$

$$\vec{X} = \begin{pmatrix} \vec{q} \\ \dot{\vec{p}} \end{pmatrix} = \begin{bmatrix} O & 4L_N \\ -4L_N & O \end{bmatrix} \begin{pmatrix} \vec{\nabla}_{\vec{q}} H \\ \vec{\nabla}_{\vec{r}} H \end{pmatrix}$$
"Symplethische Matrix"

Hamiltonsch Vehtor feld.

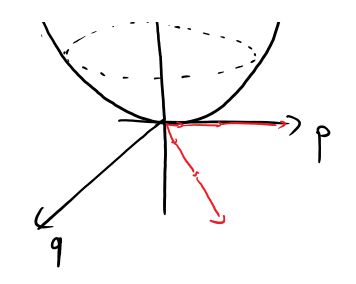
Bsp.: Hammonicher Osz.

$$H(q_1p) = \frac{p^2}{2m} + \frac{1}{2}m\omega q^2$$

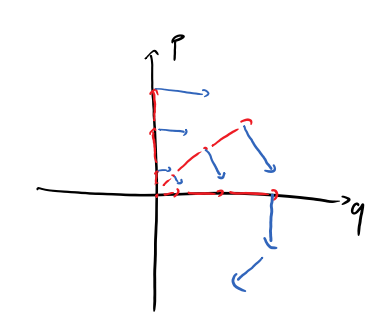


$$H(q_1p) = \frac{p^2}{2m} + \frac{1}{2}m\omega q^2$$

$$= \frac{1}{2}(p^2 + q^2)$$
makes



$$\sim \left[ \begin{bmatrix} 0 & 1 \\ -1 & 0 \end{bmatrix} \begin{pmatrix} q \\ p \end{pmatrix} \right] = \left( \begin{bmatrix} p \\ -q \end{bmatrix} \right)$$



Erimnerung: [Picard-Lindelor] 2u jeden Pht  $\vec{y} \in \mathbb{R}^{2N}$  gibt ,s Linduling Integral horse  $\vec{x}'(t)$  duch  $\vec{y}$ :

Det: Hamiltonicher Fluß (Propagator) 
$$\Phi_H^{(s)}: |P^{2N} \rightarrow |P^{2N}|$$

$$\Phi_H^{(s)}(\vec{y}) = Pkt, \text{ an dem } \vec{y} \quad s \quad \text{ Exite inhiten spiriter sein wind}$$

$$= \vec{\chi}(s) \qquad \text{onit} \quad \vec{\chi} \quad \text{vic in } (*).$$

$$\frac{\overline{b}sp.i}{b} = \overline{b}(s) = \overline{b}(s)$$

Zusammenfassung: Dinge, die nach Hamilton benannt sind.

JФ́н	Harmidton scha	V.Į.	
ž = 3 <u>∆</u> +1	Homiltonscho	C.l. ( =	だ(t) Integral kurm des Hanill. V.F.)
$ \bar{\Phi}_{(z)}^{(z)}: \mathbb{R}^{2N} \to \mathbb{R}^{2N} $	Hamiltonsch	Flys	

#### 8.4 Poissonklammern

Rechne: 
$$\frac{d}{dt} f(t) = \sum_{i=1}^{\infty} \frac{\partial f}{\partial q_i} \dot{q}_i + \sum_{i} \frac{\partial f}{\partial p_i} \dot{p}_i$$

$$= \sum_{i} \frac{\partial h_{i}}{\partial H_{i}} \frac{\partial f_{i}}{\partial f_{i}} - \sum_{i} \frac{\partial f_{i}}{\partial H_{i}} \frac{\partial f_{i}}{\partial f_{i}}$$

## Insbesonder

- · 1 EHG => {H, 13=0.
- Hamiltongl.: q<sub>i</sub> = ¿H, q<sub>i</sub> }
   P<sub>i</sub> = ¿H, p<sub>i</sub> }

# Eigen schaften

- (1) Anti-Symmetria: { l, g} = {g, l}.
- Bilimer: ξl, g+λh\$
   = ξl, g+λ ξl, h3

(4) Jocobi-Identität

Examples as der Algebra)

Ein Produkt ist assoziativ warn

$$A(B C) = (A B)C$$

$$\{ 1, \{ 9, 4 \} \} \neq \{ \{ 1, 95, 4 \} \}$$
i.Alg.

Die Poissonklammer ist nicht assoziativ. Die verschiedenen Reihenfolgen in der man eine verschachtelte Anwendung von drei Poissonklammer gruppieren kann sind aber nicht unabhängig:

Aber was soll das bedeuten? Einige Hinweise dazu gibt es bald.

6 Koordinatar-Fht.

$$\begin{cases} \{q_i, q_j\} = 0 \\ \{q_i, q_j\} = 0 \end{cases}$$

$$\begin{cases} \{q_i, q_j\} = 0 \\ \{q_i, p_s\} = 0 \end{cases}$$

$$\begin{cases} \{q_i, q_j\} = 0 \\ \{q_i, p_s\} = 0 \end{cases}$$

$$\begin{cases} \{q_i, q_j\} = 0 \\ \{q_i, p_s\} = 0 \end{cases}$$

$$\begin{cases} \{q_i, q_j\} = 0 \\ \{q_i, p_s\} = 0 \end{cases}$$

$$\begin{cases} \{q_i, q_j\} = 0 \\ \{q_i, p_s\} = 0 \end{cases}$$

$$\begin{cases} \{q_i, q_j\} = 0 \\ \{q_i, p_s\} = 0 \end{cases}$$

$$\Leftrightarrow$$
  $f(\vec{y}) = f(\underline{\Phi}_{H}^{(s)}(\vec{y})) \quad \forall \vec{y} \in \mathbb{R}^{2N}, s \in \mathbb{R}$ 

$$\Leftrightarrow \begin{cases} \begin{cases} 1 & \text{HZ} = 0 \end{cases} & ( | | | | | | ) \end{cases}$$

$$(=) \qquad +|\overrightarrow{y}\rangle = +|(\overline{\Phi}_{\ell}^{(1)}(\overline{\gamma}))\rangle$$

Wie cool ist das denn? Man kann die EHG selbst als eine Art Hamiltonfunktion auffassen. Die erzeugt dann einen Fluss im Phasenraum und der ist eine Symmetrie der eigentlichen Hamiltonfunktion.

Das freut mich mehr als es vielleicht sollte. In jedem Fall zeigt sich hier so deutlich wie sonst selten, dass die vielen Abstrahierungen die uns von "Kraft ist Masse mal Beschleunigung" zur Poissonstruktur des Phasenraums geführt haben, manchmal tiefe Zusammenhänge klar ans Licht bringen.

Es stellt sich nun eine Kompatibilitätsfrage. Fangen wir an mit einer Symmetrie  $\Phi$  wie wir sie in der Lagrange-Formulierung von Noethers Satz behandelt haben. Der gab uns damals eine EHG  $Q(r,\dot{r})$ . Wenn wir die Geschwindigkeiten auf Impulse umrechnen, ergibt sich eine erhaltene Phasenraumfunktion Q(r,p). Ist deren Fluss jetzt gleich die ursprüngliche Symmetrie? Die Antwort ist: Im Wesentlichen ja. Anstatt die Details im allgemeinen Fall zu beschreiben, rechnen wir hier ein Beispiel.

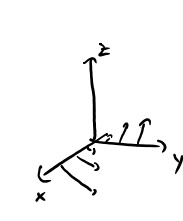
BSP: 
$$f = L_2 = q_x P_y - q_y P_x$$
.

Fosse  $L_2$  als Hemilton-Fhl. and Löse BWGA.

$$\dot{q}_{i} = \frac{\partial L_{z}}{\partial p_{i}} = \begin{cases} -q_{y} & i=x \\ q_{x} & i=y \\ 0 & i=z \end{cases} = (\vec{e}_{z} \times \vec{q})_{i}$$

$$\dot{P}_{i} = -\frac{\partial L_{z}}{\partial I_{i}} = -\frac{\partial L_{z$$

$$\Rightarrow \quad \overline{\Phi}_{\Gamma_{s}}^{(s)} \left( \vec{q}, \right) = \begin{bmatrix} \zeta_{s}, & 0 \\ 0 & \zeta_{s}, \\ 0 & \zeta_{s}, \end{bmatrix} \begin{pmatrix} \dot{d}, \\ \dot{b}, \end{pmatrix} \qquad ...$$



8.4.2 EHG sind unter Poisson-Klammern abgeschlossen

When 
$$A_1 \le EHG \implies \{A_1 \le A_2 \}$$
 is  $EHG$ .

Ben: Sain  $A_1 \le EHG$ .

 $\{A_1 \le A_1 \le A_2 \} = -\{a_1, \{A_1, A_2 \} - \{A_1, \{A_2, A_3 \} \} = 0$ .

 $\{A_1 \le A_1 \le A_2 \} = -\{a_1, \{A_1, A_2 \} - \{A_2, A_3 \} - \{A_3, A_4 \} - \{A_4, A_5 \} - \{A_5, A_5 \} - \{A_$ 

Also: Wenn zwei Komponenten des Drehimpuls erhalten sind, dann auch die Dritte.

Jetzt können wir eine Ahnung davon bekommen, was die Jacobi-Identität bedeutet. Die Geschichte geht so: gegeben zwei EHG, kann man zwei Symmetrien finden. Symmetrien bilden aber eine Gruppe: Wenn je zwei Abbildungen die Hamiltonfunktion invariant lassen, dann auch ihre Verknüpfung. Nach Noether gibt es zur verknüpften Symmetrie wieder eine EHG. Die gewinnt man (nach einigen Details, die wir ignorieren) durch die Poissonklammer.

Die Jacobi-Identität spiegelt also auf der Ebene der EHG wieder, dass Symmetrien eine Gruppe bilden.

Man kann das in der Theorie der Lie-Gruppen präzise verstehen.

All gemein:

ψ<sub>φ</sub>, φ<sub>σ</sub>

$$\vec{\beta} \mapsto \underline{\Phi}_{0}^{\ell} \Big( \Big( \underline{\Phi}_{0}^{\ell} (\vec{\beta}) \Big) \Big)$$

(s→v)

Writin EHG & Ef, 93.

EHG

Symmetrian

Symmetria

Ausblick: Poissonklammern und kanonische Quantisierung

#### Thema für die Online-Sitzung

In de QM werde Orte und Impulse durch Multiplihations- bew. Differential operatorem besch without and "Willer fur hitiman" 
$$\underline{\Upsilon}: \mathbb{R}^N \to \mathbb{C}$$
 agieven:
$$\hat{Q}_j: \underline{\Upsilon}(\bar{q}^j) \longmapsto q_j \underline{\Upsilon}(\bar{q}^j)$$

$$\hat{P}_j: \underline{\Upsilon}(\bar{q}^j) \longmapsto i \underline{L} \frac{\partial}{\partial q_j} \underline{\Upsilon}(\bar{q}^j)$$

Man rechnet leicht die folgenden Kummutator-Relationen

$$\frac{1}{h} [\hat{Q}_{i}, \hat{Q}_{j}] = 0$$

$$\frac{1}{h} [\hat{P}_{i}, \hat{P}_{j}] = 0$$

$$\frac{1}{h} [\hat{P}_{i}, \hat{Q}_{j}] = \delta_{ij}$$

Die Orts- und Impulsoperatoren erfüllen unter dem Kommutator also die gleichen Relation wie die Orts- und Impulsfunktionen unter der Poisson-Klammer.

Man kann dieses Resultat benutzen, um das Verhalten von quantenmechanischen und klassischen Systeme miteinander in Verbindung zu setzen. Das funktioniert für Hamiltonfunktionen, die Polynome bis zur zweiten Ordnung in Orts- und Impulsoperatoren sind.

Neben dieser "kanonischen Quantisierung", die die Orts- und Impulsoperatoren in den Vordergrund stellt, gibt es z.B. auch noch die "Pfandintegralquantisierung", die direkt auf dem Wirkungsintegral aufbaut.

Aber das ist ein Thema für das nächste Semester...

#### 8.5 Koordinaten im Phasenraum

Erinnerung: Die Euler-Lagrange Gleichungen zeichen physikalische Bahnen in beliebigen Koordinaten für den Konfigurationsraum  $\mathbb{R}^N$  aus.

Frage: In welchen Koordinaten für den Phasenraum  $\mathbb{R}^{2N}$  haben die Bewegungslgeichungen die Hamiltonsche Form

$$(H) \qquad \qquad \dot{\vec{X}}(f) = \vec{J} \vec{\nabla}_{\vec{X}} \vec{H}$$

Wähle an des Problem ange. Koordinatan, inste.
"Alt"

In Hin Wich and Zwangsbedingungen.

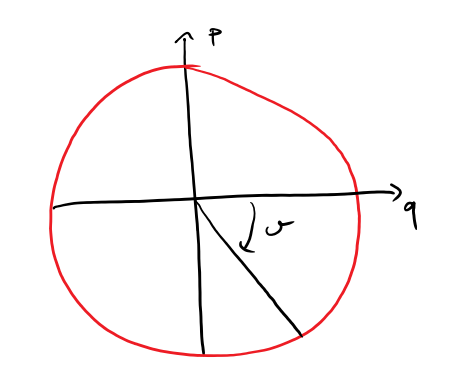
Idee: Vereinfache BWG, in dem EHG selbst als Koordinaten gewählt werden.

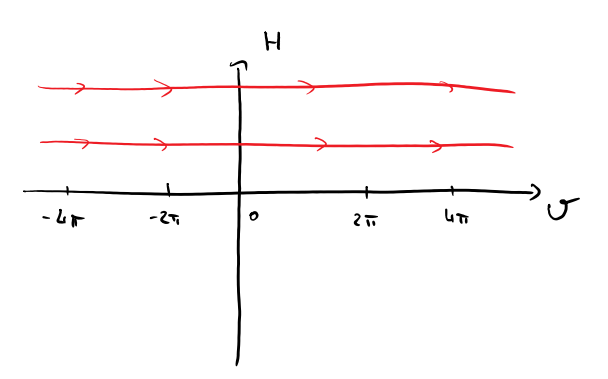
Bsp.: Hanmonische Osz.

$$H = \frac{5}{1} \left( d_1 + b_2 \right)$$

~) Will "Polarkoordinata" ( o , H)

$$\sim \beta WGL = \begin{cases} \dot{H} = 0 \\ \dot{\sigma} = 1 \end{cases}$$





Systeme, deren Fluss in diesem Sinne linearisierbar ist, heißen integrabel. Wir werden das später genauer formulieren.

Die Transformation wäre im Lagrange-Formalismus nicht möglich gewesen, obei EHG üblich) von Ort <b>und</b> Impuls abhängen.	da die neuen	Koordinaten (v	wie

#### 8.5.1 Kanonische Transformationen

$$(H) \qquad \frac{d}{dt} \vec{\chi}(t) = \vec{J} \vec{\nabla}_{\!\!\!\!2} H$$

Wihl beliesing Koordinaten

$$\overrightarrow{X}(\overrightarrow{R}) = \begin{pmatrix} \overrightarrow{Q}(\overrightarrow{q}, \overrightarrow{P}, t) \\ \overrightarrow{P}(\overrightarrow{q}, \overrightarrow{P}, t) \end{pmatrix}.$$

Um die Hamiltonschen Bewegungslgeichungen auf neue Koordinaten umzuschreiben, gehe vor wie

$$A_{ij} = \frac{\partial X_i}{\partial x_j}, \qquad B_{ij} = \frac{\partial x_i}{\partial X_i}$$

$$\int_{i,j} = \frac{\Im X^{i}}{\Im x^{i}}$$

$$\delta_{i,j} = \frac{\partial X_i}{\partial X_j} = \sum_{k} \frac{\partial X_i}{\partial x_k} \frac{\partial x_k}{\partial X_j} = \sum_{k} A_{i,k} B_{k,j} = (AB)_{i,j}.$$

$$\frac{d}{dt} x_i(t) = \frac{d}{dt} x_i(\vec{X}(t)) = \sum_{j=1}^{j} \frac{\partial x_j}{\partial x_j} \dot{X}_j(t)$$

$$\Rightarrow$$
  $\overrightarrow{X}(\xi) = \overrightarrow{A}(\xi)$ 

$$\left(\overrightarrow{\nabla}_{x}, H\right)^{i} = \frac{\partial x^{i}}{\partial x^{i}} + \frac{\partial x^{i}}{\partial x^{i}}$$

$$\Rightarrow$$
  $\vec{\nabla}_x H = \vec{A}^T \vec{\nabla}_x H$ .

Kombinist:

$$(=) \qquad \stackrel{\cdot}{\times} (+) = \left( A \int_{-\infty}^{\infty} A^{T} \right) \stackrel{\cdot}{\nabla}_{X} + 1$$

$$AJA^{T} = J.$$

Solche Koordinaterwechel hißen Kanonische Transformationen.

(coordinates we cheek  $\vec{X}(\vec{x})$  Kenomisch

(c) Jacki-Matrix  $A_{ij} = \frac{\partial X_i}{\partial x_j}$  extint A = J

Eximperung: Der IRN mit Skalarprodukt

 $(\vec{x},\vec{y}) = \sum_{i} x_{i} y_{i}$ 

ist de N-dim. enklidische Roum. Seim Symmetrie gruppe sind

NxN Matrizan A mit

 $(\vec{x}, \vec{\gamma}) = (A\vec{x}, A\vec{\gamma})$   $\forall \vec{x}, \vec{\gamma} \in \mathbb{R}^{N}$ 

Aquivalent:

 $(A\vec{x}, A\vec{y}) = (A^{\mathsf{T}} A \vec{x}, \vec{y}) \stackrel{!}{=} (\vec{x}, \vec{y}) \qquad \stackrel{!}{=} A^{\mathsf{T}} A = A | A = A |$ 

(=)  $A^{T} \perp A = 1$ 

Det: { A | ATA = 11} = O(N), die orthogonale Gruppe.

Der R2N mit innern Produkt

[7,7]=(7,77) (\$)

2N-dim. symplehtischer Roum. Das immen Produkt [...] heißt ist

symplehtische Form. Sie ist anti-symmetrisch:

 $\begin{bmatrix} \vec{x}, \vec{y} \end{bmatrix} = (\vec{x}, \vec{J}\vec{y}) = (\vec{J}\vec{y}, \vec{x}) = (\vec{y}, \vec{J}^{\top}\vec{x}) = -(\vec{y}, \vec{J}\vec{x}) = -(\vec{J}\vec{y}, \vec{J}\vec{x}) = -(\vec{J}\vec{y$ 

$$\begin{bmatrix} -\pi & 0 \\ 0 & \sqrt{1} \end{bmatrix}_{\perp} = \begin{bmatrix} -\pi & 0 \\ 0 & -\overline{\pi} \end{bmatrix}$$

$$=) \qquad \left[\vec{x}, \vec{x}\right] = -\left[\vec{x}, \vec{x}\right] = 0$$

$$[\vec{x},\vec{y}] = [A\vec{x},A\vec{y}] \quad \forall \vec{x},\vec{y}.$$

Áquivalent:

$$[A\vec{x}, A\vec{y}] = (A\vec{x}, JA\vec{y}) = (\vec{x}, A^TJA\vec{y}) \stackrel{!}{=} (\vec{x}, J\vec{y})$$

$$(=)$$
  $A^{\mathsf{T}} \mathcal{J} A = \mathcal{J}$ 

# Eigen schaften:

· 
$$A \in S_P \iff A^T \in S_P$$

Poisson-Klamma: 
$$\{f,g\} = [\vec{\nabla}_g,\vec{\nabla}_f].$$

Weitere Eigenschaften und Beweisskizzen:

3 
$$A \in S_{P} \Rightarrow A^{-1} = J^{-1}A^{T}J$$
  
Brus  $A^{T}JA = J \Rightarrow J^{-1}A^{T}JA = A \Rightarrow J^{-1}A^{T}J = A^{-1}$ 

$$\bigcirc$$
 A  $\in$  Sp(2N)  $\Rightarrow$  det A=1.

Bew: Nicht ganz trivid.

Leichter zu sehen: det  $A=\pm 1$ . Direc: (\*)= det  $(A^{T} J A)=$  det (J)=0.  $(J+A)^{2}$  det (J)

Doss der -1- Fall nicht auftraten komm zeigen wir him nicht.

6) 
$$\mp iiv$$
  $N=1$  (and max dort) gift and die Vm Hahrung.  
Also:  $A \in S_{p}(Z) \in A$  det  $A=1$ .

But 
$$f(x) = f(x)$$
,  $f(x) = f(x)$ .

[ $f(x) = f(x)$ ] =  $f(x) = f(x)$  =  $f(x) = f(x)$ .

[ $f(x) = f(x)$ ] =  $f(x) = f(x)$ .

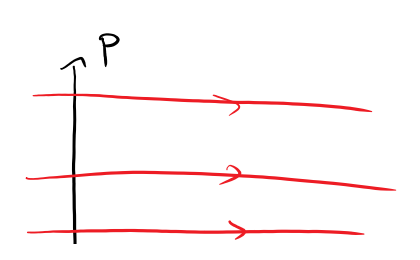
# 8.5.3 Poissonklammer-Kriterium für kanonische Transformationen

$$\frac{\text{Bsp.:}}{\text{H(q,p)}} + ||\text{and on isch}| = \frac{1}{2m} p^2 + \frac{1}{2} m \omega^2 q^2$$

Beh.: 
$$P(q,p) = \frac{1}{\omega} H(q,p)$$

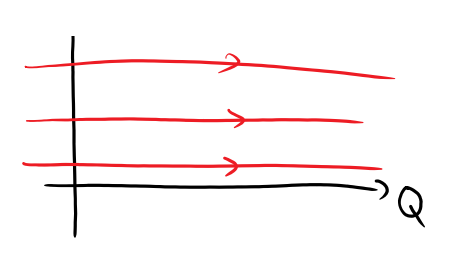
$$Q(q,p) = \alpha \tan (m \omega - \frac{q}{p})$$
ist kumomisch.

$$\frac{D_{\text{ann:}}}{\dot{P}} = -\frac{\partial H}{\partial Q} = 0$$



$$\dot{P} = -\frac{\partial Q}{\partial H} = 0$$

$$\dot{Q} = -\frac{\partial H}{\partial P} = \omega$$



Bew.;

$$= \frac{3b}{3d} - \frac{3d}{3b} \frac{3b}{3d}$$

$$H(q,r) = \frac{1}{2m} p^{2} + \frac{1}{2} m \omega^{2} q^{2}$$

$$P(q,r) = \frac{1}{\omega} H(q,r)$$

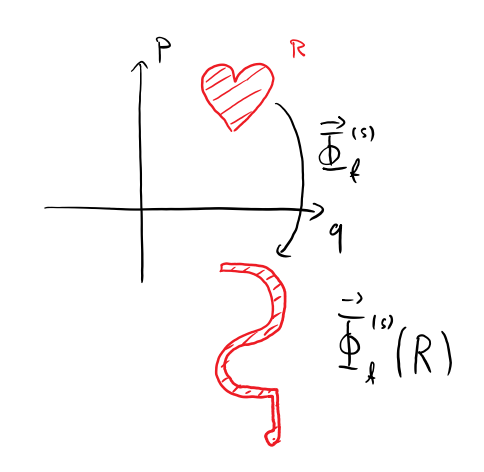
$$Q(q,r) = \alpha \tan (m \omega^{2} - r^{2})$$

$$= \frac{1}{1 + m^2 \omega^2 - \frac{q^2}{p^2}} \left( 1 + m \omega^2 - \frac{q^2}{p^2} \right) = 1$$

$$= \frac{1}{1+x^2}$$

## 8.5.4 Der Satz von Liouville

Anwendung: Hamiltonsche Fliße erholten Phosen roum volumen.



$$\frac{1}{\frac{1}{2}} \int_{\mathbb{R}^{2}}^{\mathbb{R}^{2}} \left( \mathbb{R} \right) d^{2N} \vec{x} = \int |J_{n} + A(x)| d^{2N} \vec{x}$$

$$\frac{1}{\frac{1}{2}} \int_{\mathbb{R}^{2}}^{\mathbb{R}^{2}} \left( \mathbb{R} \right) d^{2N} \vec{x} = \int |J_{n} + A(x)| d^{2N} \vec{x}$$

$$A(x) = \int_{\mathbb{R}^{2}}^{\mathbb{R}^{2}} \left( \mathbb{R} \right) d^{2N} \vec{x}$$

$$A(x) = \int_{\mathbb{R}^{2}}^{\mathbb{R}^{2}} \left( \mathbb{R}^{2} \right) d^{2N} \vec{x}$$

$$A(x) = \int_{\mathbb{R}^{2}}^{\mathbb{R}^{2}} d^{2N} \vec{x}$$

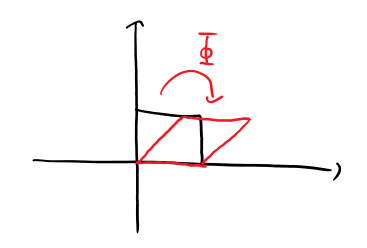
$$= \int_{\text{Eigenschaft (5)}} \int_{\mathbb{R}} d^{2} \vec{x}.$$

Bsp: Freie Tulchen (N=1):

$$\overrightarrow{\nabla} H = \begin{pmatrix} 0 & 1 \\ -1 & 0 \end{pmatrix} \begin{pmatrix} 0 \\ -\frac{P}{M} \end{pmatrix} = \begin{pmatrix} -\frac{P}{M} \\ 0 \end{pmatrix}$$

$$\Rightarrow \overrightarrow{\Phi}_{H}^{(s)} \begin{pmatrix} q \\ p \end{pmatrix} = \begin{pmatrix} q + -\frac{P}{M} - s \\ 0 & 1 \end{pmatrix} \begin{pmatrix} q \\ p \end{pmatrix}$$

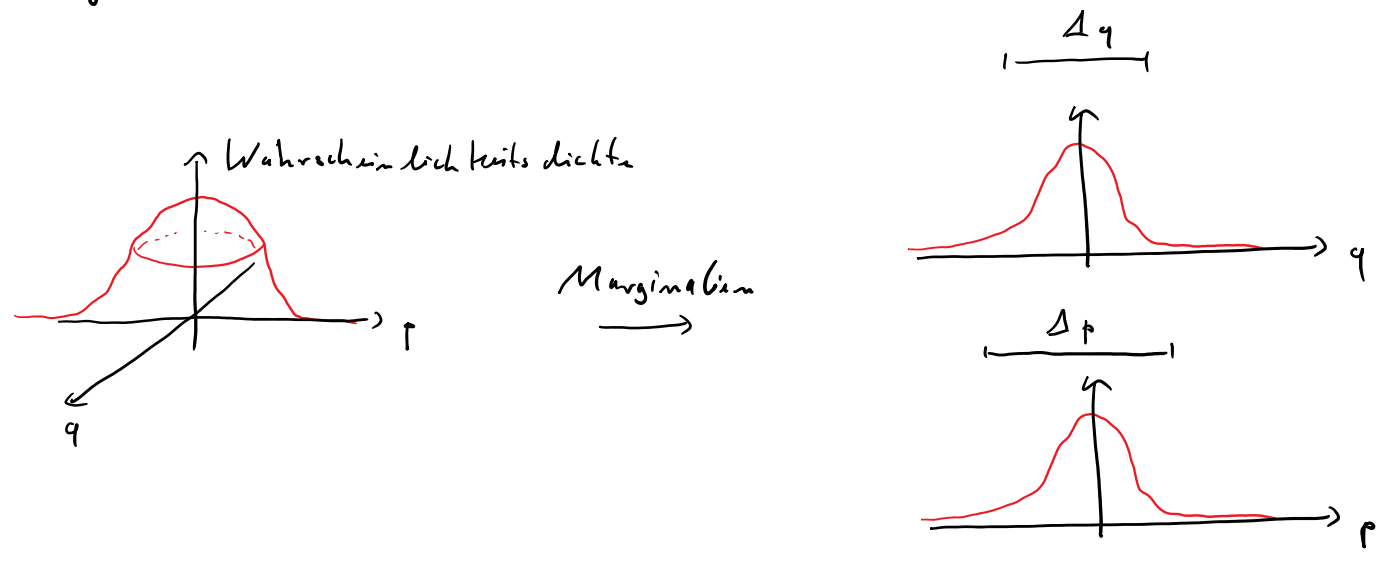
$$= A(s) \qquad \mathcal{E} \leq p(2) \quad \text{Eigenschaft (6)}$$



Volumen, aber nicht Längen oder Winkel erhält.

# Ausblich: Quitschunger im Quantemphasen raum

Es sist Quanton zustände, die bei Orts- und Impuls messunger die gliche Statistik Listern, wir Gauss'sche Wahr scheinlichtertsvorteilungen auf dem Phosenraum:

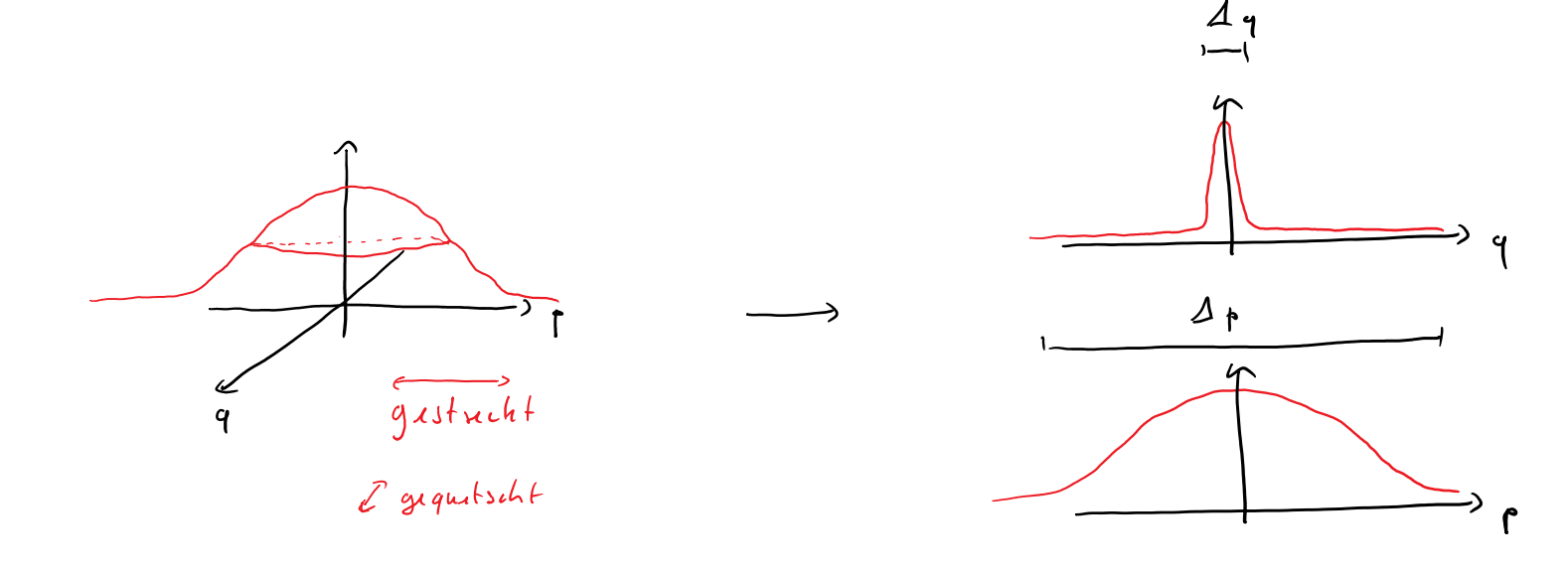


Aut Grund du Unschänfenelation 191p > to/2, kenn die Verteilung micht beliebig schant Konzentnint sein.

Lineare Kanonische Transformationen Können quantenmech.

Makisiat wurden. Bsp.: Rotationen  $\Phi(\vec{x}) = \begin{bmatrix} \cos s & -\sin s \\ \sin s & \cos s \end{bmatrix}.\vec{x}$ 

Onetschungen reduzieren Unschärfe entlang einer Achen, auf Kosten der anderen:





Interferomater, die mit "gegeetschten Licht" ærbeiten, erreichen höhere Geneuig. Keit. Westweit führend dolai: GEO660 bei Hannowe.

## 8.5.5 Satz von Liouville (Beweis)

Brus Zu zeign: 
$$A(s)_{i,j} = \frac{\partial X_i}{\partial x_i} = \frac{\partial (\overline{Q}_A^{(s)}(\overline{x}^i))_i}{\partial x_j} \stackrel{!}{\in} S_P(2N).$$

Betrachte Familie 
$$A(s) = 1 + s \underbrace{M}_{2N \times 2N \text{ Matrix}} + O(s^2).$$

$$O = \frac{1}{ds} \left| \left( A(s) \mathcal{J} A(s)^{\mathsf{T}} \right) \right| = \frac{d}{ds} \left| \left( \mathcal{J} + s \left( M \mathcal{J} + \mathcal{J} M^{\mathsf{T}} \right) + O(s^{2}) \right) \right|$$

Solche M heißen

"infinitesimel sympt. Transt."

· Elemente dor Lie Nybra sp(2N)

$$\frac{d}{ds}\Big|_{o}A(s)_{i,j} = \frac{d}{ds}\Big|_{o} \frac{\partial (\vec{\xi}_{A}^{(s)}(\vec{x}))_{i}}{\partial x_{i}} = \frac{\partial}{\partial x_{j}} \left(\vec{X} + \vec{J}\vec{\nabla}H\right)_{i}$$

$$= \int_{i,j} + \sum_{k} J_{i,k} \frac{\partial^{k}H}{\partial x_{j}\partial x_{k}}$$

$$\Rightarrow A(s) = 1 + s \vec{J}\vec{M} + O(s^{2})$$
Hassi metrix  $\vec{M}$ 

Damit:

$$M J + J M^{T} = J \tilde{M} J + J \tilde{M}^{T} J^{T}$$

$$\tilde{M} - J$$

$$= J \tilde{M} J - J \tilde{M} J = 0$$

$$= J\tilde{M}J - J\tilde{M}J = 0.$$

"Emperametry Groppe".

$$=$$
)  $A(s+t) = A(s) A(t)$ 

Biwis:
$$A (s+\epsilon)_{ij} = \frac{\partial \left(\overline{\phi}_{ij}^{(s+\epsilon)}\right)_{i}}{\partial \kappa_{ij}} = \frac{\partial \left(\overline{\phi}_{ij}^{(s)}\left(\overline{\phi}_{ij}^{(s)}\left(\overline{\phi}_{ij}^{(s)}\left(\overline{\phi}_{ij}^{(s)}\right)\right)\right)_{i}}{\partial \kappa_{ij}}$$

$$= \sum_{k} A(s)_{ik} A(t)_{kj} t$$

$$=) \frac{d}{ds}A(s) = \frac{d}{dt}\Big|_{0}A(s+t) = \frac{d}{dt}\Big|_{0}A(s)A(t) = A(s)M.$$

$$= \frac{1}{100} \left( A(s) \right) A(s)^{T} = A(s) M A(s)^{T} + A(s) J M^{T} A(s)^{T}$$

$$= A(s) \left( M J + J M^{T} \right) A(s)^{T} = 0.$$

$$= 0$$

Hamiltonmechanik Page 145

## 8.5.6 Erzeugende Funktionen: Hauptaussage

1) Wähl Flet. 
$$F: \mathbb{R}^{2N} \to \mathbb{R}$$
.
2) Definion  $\vec{Q}(\vec{q},\vec{p})$  in den

2 Definion 
$$\vec{Q}(\vec{q},\vec{p})$$
 in den
$$\vec{P}_i = \frac{\partial \vec{F}(\vec{q},\vec{Q})}{\partial q_i} \qquad i = 1,...,N$$

much 
$$\overrightarrow{Q}$$
 and get sist wind.

3 Setze damm
$$\overrightarrow{P}_i = \frac{\partial F(\overrightarrow{q}, \overrightarrow{Q}(\overrightarrow{q}, \overrightarrow{p}))}{\partial Q_i}$$

$$\frac{\overrightarrow{B}_{ah}}{\overrightarrow{X}} \left( \overrightarrow{X} \right) = \begin{pmatrix} \overrightarrow{Q} \left( \overrightarrow{q}, \overrightarrow{p} \right) \\ \overrightarrow{p} \left( \overrightarrow{q}, \overrightarrow{p} \right) \end{pmatrix} \quad ist \quad karanische Trata.$$

$$\frac{\sum_{l,N=1}^{N}}{(N=1)} = \frac{\partial P}{\partial Q} \left| \frac{\partial Q}{\partial Q} \right| - \frac{\partial P}{\partial Q} \left| \frac{\partial Q}{\partial Q} \right|$$

$$\left| \frac{\partial P}{\partial \rho} \right|_{q} = \left| \frac{\partial P}{\partial Q} \right|_{Q} + \left| \frac{\partial Q}{\partial Q} \right|_{Q} + \left| \frac$$

201 201 201

$$\frac{\partial P}{\partial P} \Big|_{q} = \frac{\partial P}{\partial Q} \Big|_{q} \frac{\partial Q}{\partial q} \Big|_{r} \frac{\partial P}{\partial q} \Big|_{q}$$

$$\frac{\partial P}{\partial P} \Big|_{q} = \frac{\partial P}{\partial Q} \Big|_{q} \frac{\partial Q}{\partial q} \Big|_{r} \frac{\partial P}{\partial q} \Big|_{q}$$

$$\Rightarrow Q(q, P)$$

$$\Rightarrow P(q, Q) = \frac{\partial F(q, Q)}{\partial q} = \frac{\partial F}{\partial Q} \Big|_{q}$$

$$\Rightarrow P(q, Q) = \frac{\partial F(q, Q)}{\partial Q} = \frac{\partial F(q, Q)}{\partial Q}$$

$$= -\frac{\partial P}{\partial Q} \begin{vmatrix} \partial Q & \partial Q \\ Q & \partial Q \end{vmatrix} = -\frac{\partial Q}{\partial Q} \begin{vmatrix} \partial Q & \partial Q \\ Q & \partial Q \end{vmatrix} = -\frac{\partial Q}{\partial Q} \begin{vmatrix} \partial Q & \partial Q \\ Q & \partial Q \end{vmatrix} = -\frac{\partial Q}{\partial Q} \begin{vmatrix} \partial Q & \partial Q \\ Q & \partial Q \end{vmatrix} = -\frac{\partial Q}{\partial Q} \begin{vmatrix} \partial Q & \partial Q \\ Q & \partial Q \end{vmatrix} = -\frac{\partial Q}{\partial Q} \begin{vmatrix} \partial Q & \partial Q \\ Q & \partial Q \end{vmatrix} = -\frac{\partial Q}{\partial Q} = -\frac{\partial Q}{\partial Q} \begin{vmatrix} \partial Q & \partial Q \\ Q & \partial Q \end{vmatrix} = -\frac{\partial Q}{\partial Q} =$$

Ziel hir ist es, weiter Kunonische Transf. zu finder.

\_ Dazu: \_\_

Auch die Hamiltonschen Gleichungen Kömme aus einem Stationanitätsprinzip abgeleitet werden:

bagl. Variationen By (1), Bp (1) mit By (to/b) = 0

Bew: Wie bis ELG... 1

Ann: - p(60/6,) muss unter Variationen micht fistgehalten werden.

· Warn  $H = \vec{p} \cdot \vec{q} - L$  dusch Ligardre-Transt. aus sins Lagrange-Flot. her var gelf, dann ist der Integrand in (\*) sinfach L. In dissum Fall ist (\*) mit dem zuver eingeführten Prinzip identisch. (\*) gilt abn allgemein.

Seien nun Ö, P nun Koordinaten, s.d. is im Funktion F aut dem Phasenraum gibt, s.d. entlang jede Bahn

$$(\Box) \qquad \overrightarrow{p} \cdot \overrightarrow{q} = \overrightarrow{P} \cdot \overrightarrow{Q} + \overrightarrow{d} + \overrightarrow{T}$$

gilt. Dann ist (für behidige Humilton-Flit.):

$$S[(\vec{Q}(\cdot), \vec{P}(\cdot))] = S[(\vec{q}(\cdot), \vec{p}(\cdot))] + \underbrace{f(t_0) - F(t_1)}_{const.}$$

Du der letzte Term nicht von de Bahn abhängt, ist

$$(\vec{q}(\cdot), \vec{p}(\cdot))$$
 stationar  $(\vec{Q}(\cdot), \vec{P}(\cdot))$  stationar

Alex auch:

$$\dot{q}_i = \frac{\partial H}{\partial P_i} \qquad \dot{P}_i = -\frac{\partial H}{\partial q_i}$$

$$Q_i = \frac{2H}{2P_i}$$
,  $P_i = \frac{2H}{2Q_i}$ 

In orderen Worten: Warn (1) mit greignetem F gilt, sind Q, P Kenonisch.

((Zumindest lokel) kenn men für jach kononische Tronst. ein solches

F finden. Das folgt ens der Theorie der <u>Differentialformen</u> - und
soll uns him nicht weiter beschöftigen...)

Sinn dieser Umformulierung ist, dess man die Konstruktion um kehren kenn, und aus  $\vec{p}', \vec{q}'$  und  $\vec{T}$  kenonische  $\vec{Q}', \vec{P}'$  erzeugen konn.

Das geht so:

$$P_i = \frac{\partial \mp (\bar{q}), \bar{Q})}{\partial q_i}$$

mach Q and getost wind.

3 Setze denn

$$P_{i}\left(\vec{q},\vec{p}\right)=-\frac{3\vec{Q}_{i}}{3\mp(\vec{q},\vec{Q}_{i}(\vec{q},\vec{p}))}$$

$$\frac{d}{dt} + (\vec{q}(t), \vec{Q}(t)) = \sum_{i} \frac{2\vec{T}}{2q_{i}} \dot{q}_{i} + \sum_{i} \frac{2\vec{T}}{2Q_{i}} \dot{Q}_{i}^{2}$$

$$= \vec{P} \cdot \dot{\vec{q}} - \vec{P} \cdot \dot{\vec{Q}},$$

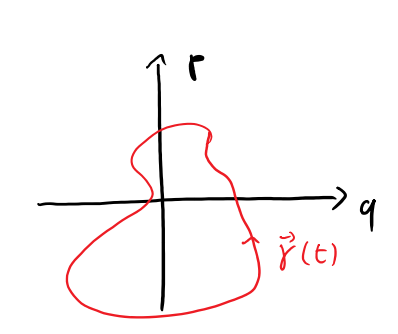
aber des ist  $(\Box)!$  Die durch  $\bigcirc -\bigcirc$  definiten  $\bigcirc, \overrightarrow{P}$  sind also kanonisch!

F ist die Erzengende des Koordinaten wechsels.

Die Technik Namm auf viele Arten wallgemeinst worden

(2.B. and zuitabhängige Transformationen, oder man kann F
als Fht. anderer Koordinaten ausdrücken...)

- Ausblick: Mahr zum Wirhungs integral -



Sei N = 1 and  $\overrightarrow{y} : [0, T] \rightarrow \mathbb{R}^{2}$   $\overrightarrow{y}'(t) = \begin{pmatrix} q(t) \\ p(t) \end{pmatrix}$ 

eine geschlossene Trajektories ?(0)=?(T).

Domm ist

Da Kanonische Transformationen Volumen whelten, ist

für balistige Kamerische Koordinater (Q,P). (Das folgt auch ens (F)...).

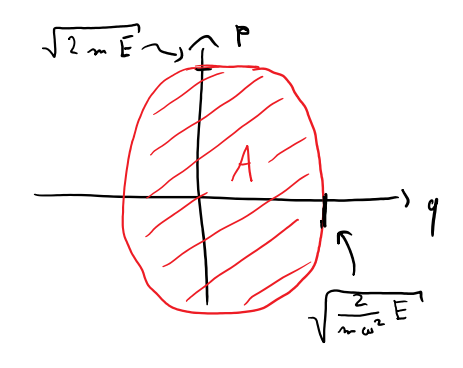
Die Flache ist also vine Koordinate unashängige Eigenschaft der Behn.

Anfang des 20. Jahrnhunderts kam das Wirkungsintegral kurzzeitig zu besonderer Prominenz. Bevor die moderne Quantentheorie entwickelt war, wurde eine ad hoc-Modifizierung der Hamiltonschen Mechanik postuliert:

Die Bohr-Sommerfeldsche Quantisierungsbedingung sagt, dass geschlossene Bahnen nur dann realisiert werden können, wenn das Wirkungsintegral ein ganzzahliges Vielfaches des Planckschen Wirkkungsquantums h=6.63 x 10^(-34) Js ist.

Die klassische Hamiltonmechanik zusammen mit der Quantisierungsbedingung kann für einige quantenmechanische Systeme richtige Vorhersagen machen - z.B. für die Energieniveaus des harmonischen Oszillators und des Wasserstoffatoms. Eine systematische Theorie konnte man auf ihr aber nicht aufbauen. Ab den 1930er Jahren wurde diese "alte Quantentheorie" durch die heute akzeptierte Version ersetzt.

Hurmonischer Oszi Mator:



Fliche de Ellipse  $= \pi E \frac{1}{\omega} \stackrel{!}{=} m h$   $(E) = \frac{h}{2\pi} m \omega = h m \omega$ 

# 9.1 Langzeitverhalten dynamischer Systeme

Ziel: Verstehe das Langzeitverhalten dynamischer System.

# Beispielfragen:

- Sind Bewegungen periodisch?
- Wie stabil sind Lösungen unter kleinen Störungen?
- Gibt es *universelle* Phänomene, also qualitative Eigenschaften von Lösungen, die nicht vom Detail der Bewegungsgleichungen abhängen?

so doss

$$\cdot \quad \widehat{\phi}^{(0)} \left( x \right) = x$$

$$\cdot \quad \overline{\Phi}^{(\epsilon_1)} \left( \overline{\underline{\Phi}}^{(\epsilon_1)} \left( \times \right) \right) = \quad \overline{\underline{\Phi}}^{(\epsilon_2 + \epsilon_1)} \left( \times \right)$$
 "Half gropping

# 9.2 Die Logistische Gleichung

Zunächst schauen wir uns ein radikal simples Modellsystem an, das überraschend, bereits hochkomplexes Verhalten zeigt. Chaos in der Hamiltonschen Mechanik ist dann das Thema des nächsten Kapitels. (Der Grund für diesen Umweg ist, dass alle Hamiltonschen Systeme mit einem Freiheitsgrad integrabel sind - die einfachesten chaotischen Systeme leben also in einem vierdimensionalen Phasenraum und sind viel schwieriger zu visualisieren als das leichte Beispiel hier).

$$M = [0, 1]$$
 $M \ni X$ 

Haxapopulation im Grüngürtzl

 $X = 0$ 

Kuim Hasan

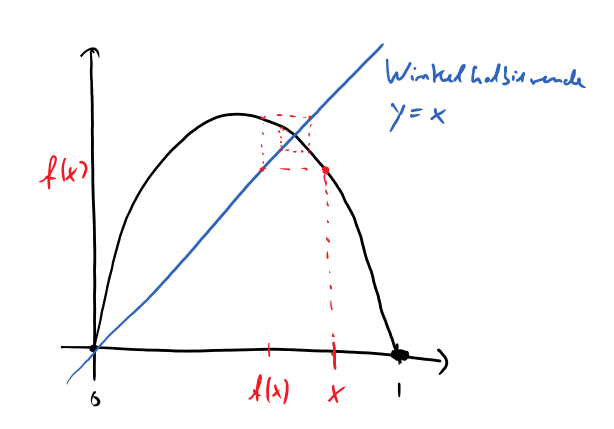
 $X = 1$ 

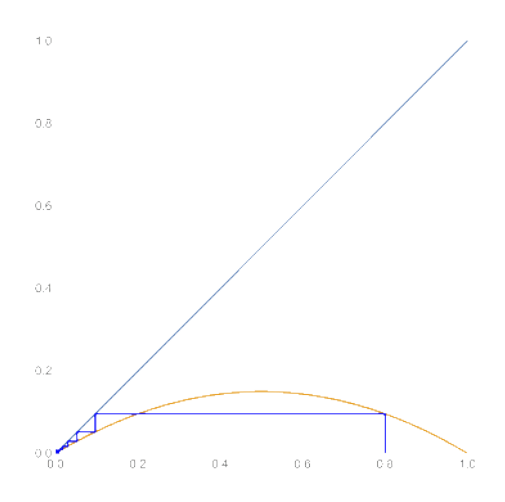
Maximum

t ∈ IN.

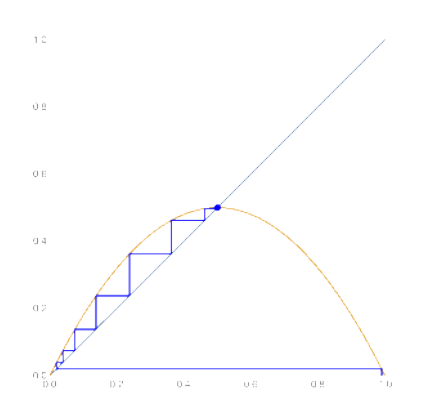
$$\underline{\delta}^{(n)}(\kappa) =: f(\kappa)$$

 $\int_{-\infty}^{\infty} f(x) = : f(x).$   $\int_{-\infty}^{\infty} f(x) = r \times (1-x).$   $\int_{-\infty}^{\infty} f(x) = r \times (1-x).$ 

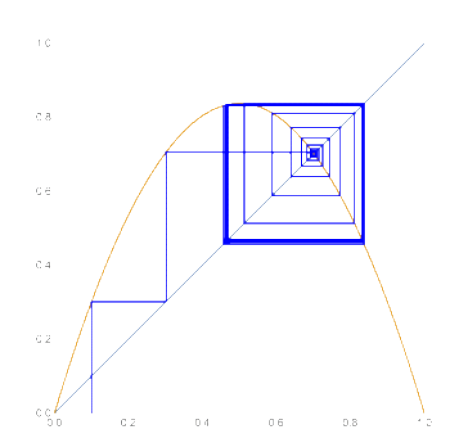




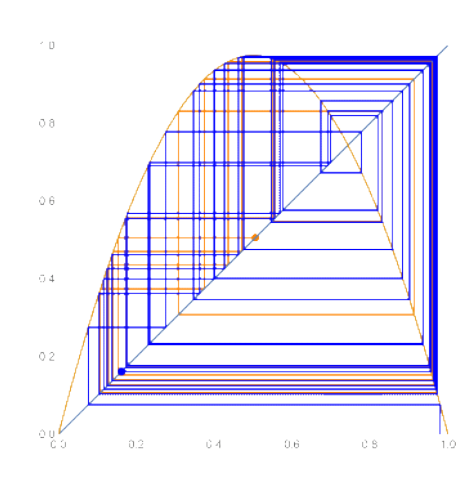
r <1 ~> exponentills Schrumpten.



r=2 ~> Fixponkt

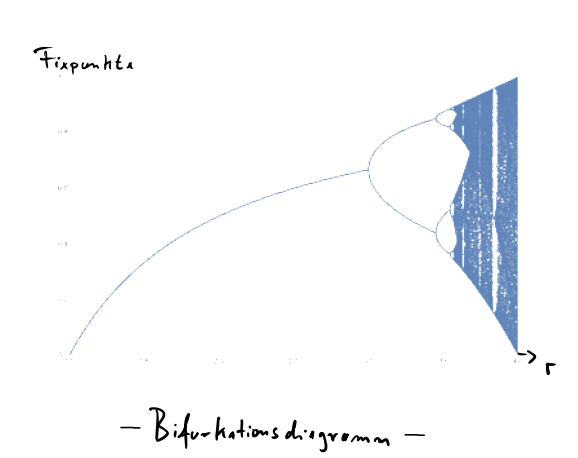


r=3,35 ~> "Schweine zykolus".



r=3,9 · Keine Struktur erkennber

· Vonstabil gegenüber Störungen



## 9.3 Periodische Bahnen und Fixpunkte

Sei Xo & M. Die Menze

 $X_{\bullet}, \quad X_{\bullet} = \overline{\Phi}^{(\bullet)}(x_{\bullet}), \quad X_{2} = \overline{\Phi}^{(\bullet)}(x_{\bullet}) = \overline{\Phi}^{(2)}(x_{\bullet}), \quad X_{3} = \dots$ 

heißt die Bahn von ko unter &.

(engl. orbit)

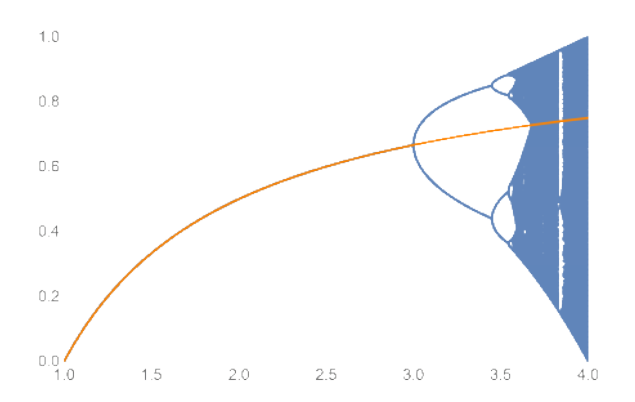
· Die Bahn hot Periodo p wenn Xp = Xo

· Fixpunkt: Ko mit I'' (xo) = xo ist Bohn mit Period = 1.

Bsp.: FP der Los. Ce.

$$f(x_o) \stackrel{!}{=} x_o$$





Die orangene Linie ist 1-1/r. Für  $r \leq 3$  stimmt die Numerik mit der Theorie überein. Aber was passiert dann? Der Fixpunkt scheint zu verschwinden - obwohl die dreizeilige einfache Rechnung oben beweist, dass er weiterhin existiert?

...die Lösung des scheinbaren Widerspruchs besteht darin, dass der Fixpunkt bei r=3 unstabil wird. Wie die Ruhelage des Pendels am oberen Totpunkt existiert er weiterhin prinzipiell, wird aber durch die Numerik, die mit zufälligen Anfangswerten operiert, nie gefunden. Um das mathematisch einzusehen, nehmen wir nun eine Stabilitätsanalyse von Fixpunkten vor.

# 9.4 Der Lyapunov-Exponent

$$\overline{\Phi}(x_0+s) = \overline{\Phi}(x_0) + \overline{\Phi}'(x_0) \cdot s + O(s^2)$$

$$\underline{\overline{\Phi}}\left(\underline{\overline{\Phi}}\left(x_{0}+s\right)\right) = \underline{\overline{\Phi}}\left(\underline{\underline{\overline{\Phi}}\left(x_{0}\right)}\right) + \underline{\overline{\Phi}}'\left(\underline{\underline{\overline{\Phi}}\left(x_{0}\right)}\right) \underline{\overline{\Phi}}'\left(x_{0}\right) \cdot s + \underline{\overline{\Phi}}\left(s^{2}\right)$$

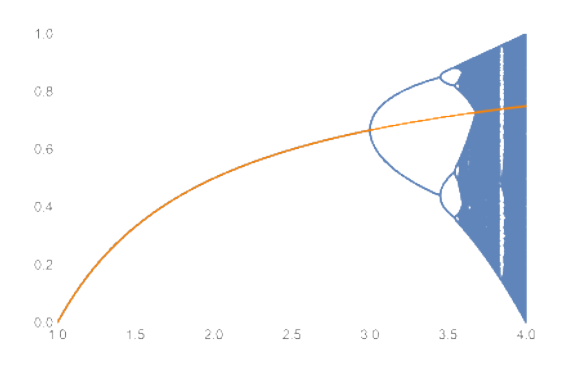
$$\underline{\overline{\Phi}} \left( \underline{\overline{\Phi}} \left( x_{o} + s \right) \right) = \underline{\overline{\Phi}} \left( \underline{\overline{\Phi}} \left( x_{o} \right) \right) + \underline{\overline{\Phi}}' \left( \underline{\overline{\Phi}} \left( x_{o} \right) \right) \underline{\overline{\Phi}}' \left( x_{o} \right) + \underline{\overline{\Phi}}' \left( s^{2} \right)$$

$$\underline{\overline{\Phi}}^{(P)} \left( x_{o} + s \right) = \underline{\overline{\Phi}}^{(P)} \left( x_{o} \right) + \left( \underbrace{\prod_{i=0}^{P-1}}_{i=0} \underline{\overline{\Phi}}' \left( x_{i} \right) \right) \cdot s + O(s^{2})$$

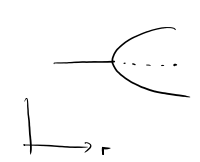
Nehme on: Xo hat Pariode p.

$$\sim) \quad \overline{\Phi}^{(p,k)}(x_{s+2}) = x_{o} + p^{k} + O(s^{2})$$

$$X_{o} = 1 - \frac{1}{r}$$
 $V = \int_{1}^{1} (x_{o}) = r(1 - 2x_{o}) = r(1 - 2 + \frac{2}{r}) = 2 - r$ 



#### 9.5 Bifurkationen



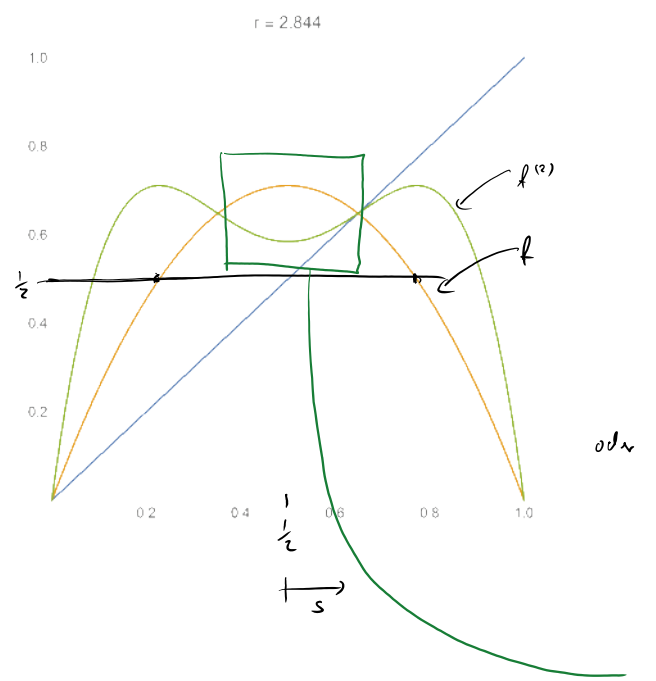
Wir verstehen nun, warum der FP mit Periode 1 aus dem Bifurkationsdiagramm verschwindet. Als nächstes schauen wir uns an, warum sich an seiner statt eine "Stimmgabelform" (pitchfork bifurcation) ausbildet.

Der interessanteste Aspekt der Analyse wird sein, dass lediglich *qualitative Eigenschaften* von  $f_r$  eingehen. Wir erwarten daher also, dass das Enstehen von Stimmgabelbifurkationen auch für andere Modelle auftritt, und nicht von der präzisen Form von f als umgedrehte Parabel abhängt.

Man nennt solche Eigenschaften *universell*. Die Beobachtung, dass ausgerechnet der Weg ins Chaos nicht "chaotisch" abläuft, sondern nach universellen Regeln abläuft, ist eine zentrale Entdeckung der Theorie klomplexer Systeme.

Betrechte fr\_1\_1"

Zunächst leiten wir die Aussagen über die Form von  $f^{(2)}$  ab. Wir nehmen dabei ledigich an, dass f genau bei 1/2 ein Maximum hat.



Demm:
$$O \stackrel{!}{=} \frac{d}{dx} f(f(x))$$

$$= f'(f(x)) \cdot f'(x)$$

$$\lim_{x \to \infty} Abd = 0 \iff x = \frac{1}{2} (1 Ls_{3})$$

$$Hußer Abd = 0 \iff f(x) = \frac{1}{2} (2 Ls_{3})$$

In Kesten:

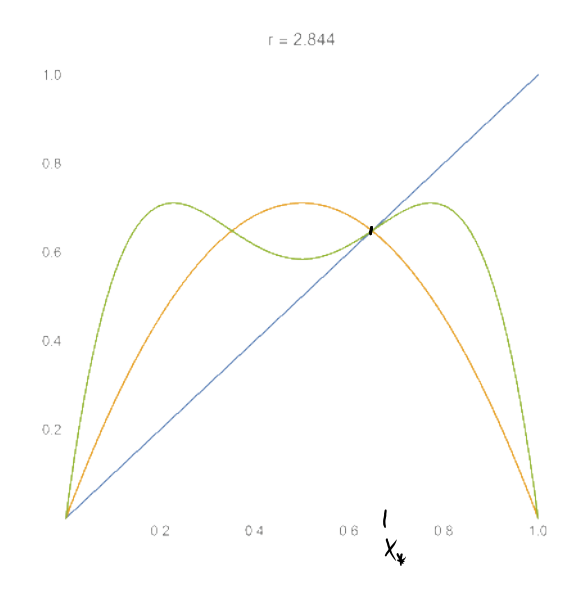
$$f^{(2)}(\{\xi+s\}) \approx f(\{\xi\}) + f(\{\xi+s\}) \cdot f'(\{f(\{\xi\})\})$$

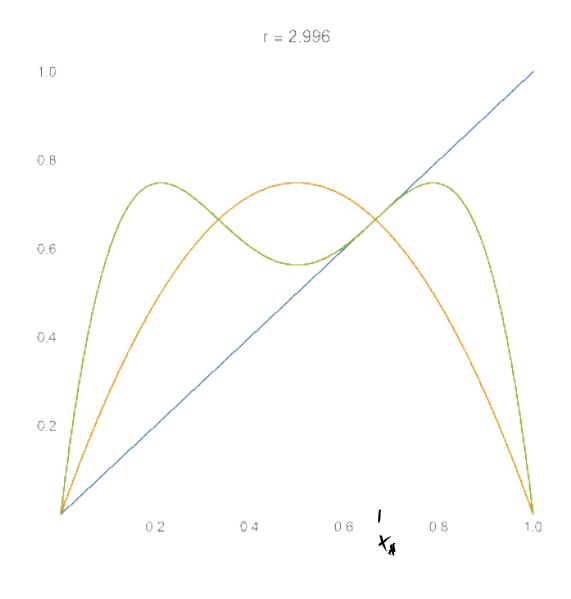
$$<0$$

$$f^{(2)} \quad \text{om} \quad \{\xi \approx f \quad \text{om} \quad \{\xi\}, \text{ we scholar und } y-Achse$$

$$\text{His Kodial}.$$

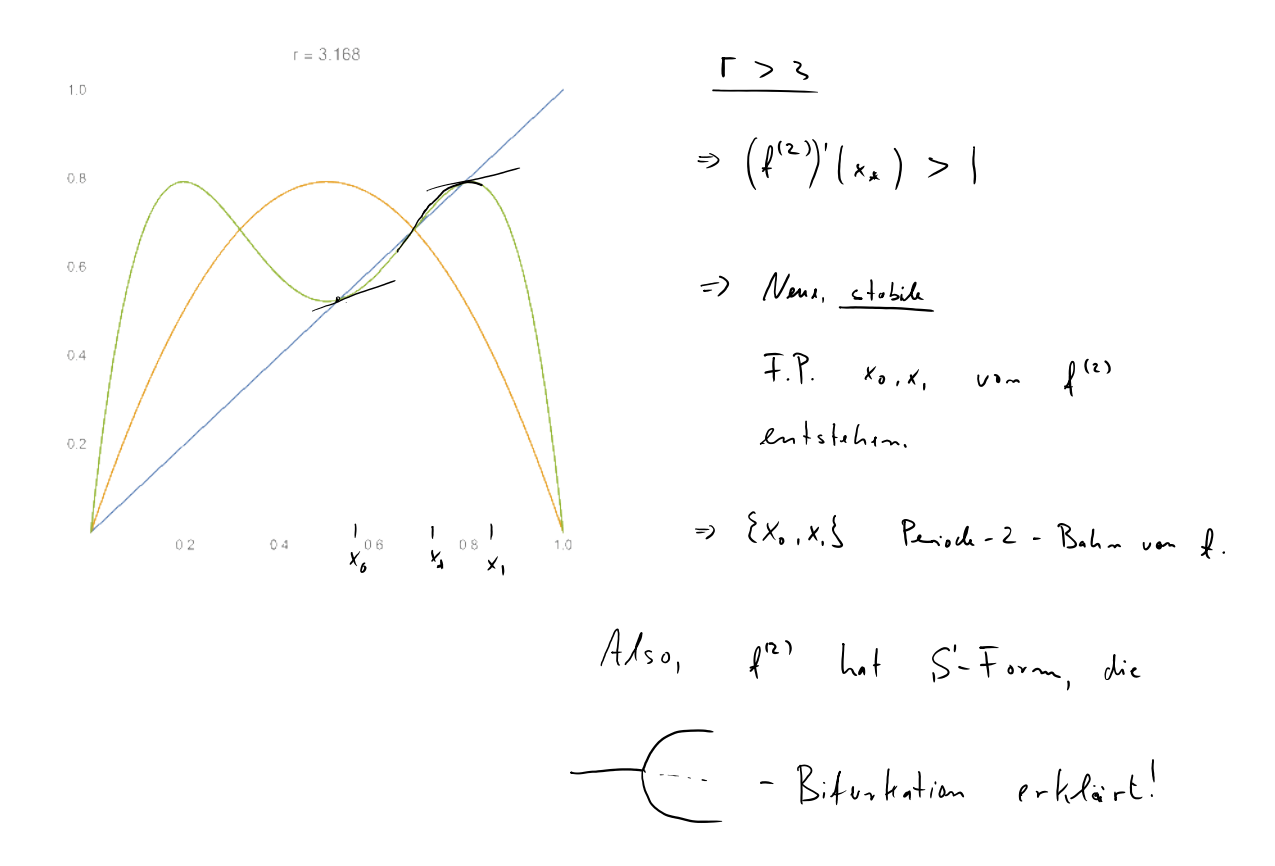
I Fix punkte von f. fa)



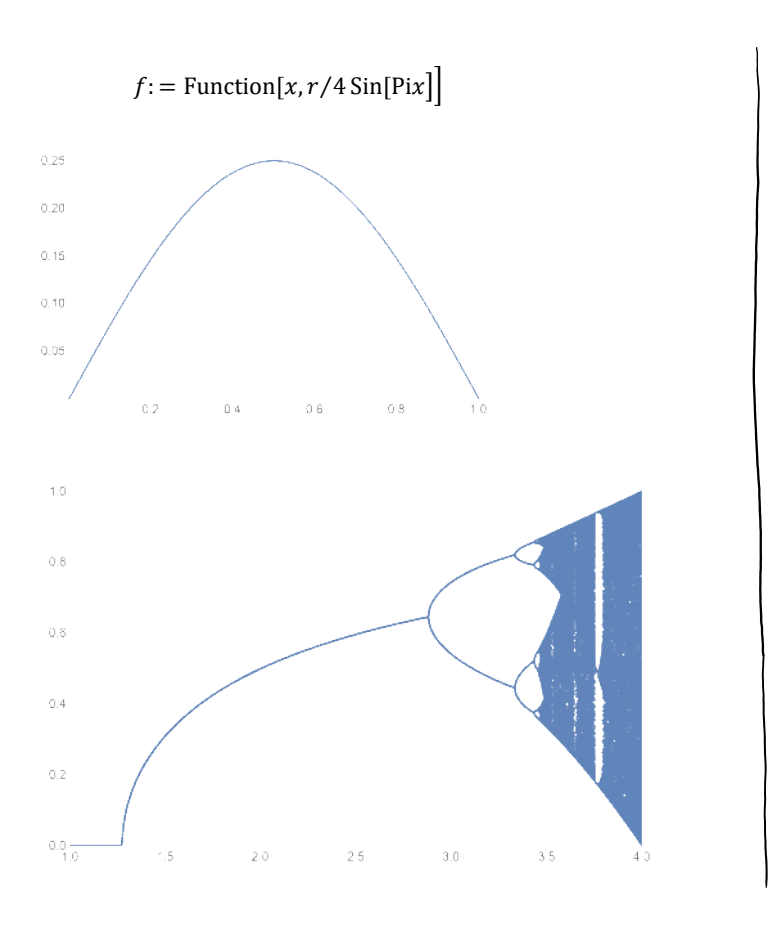


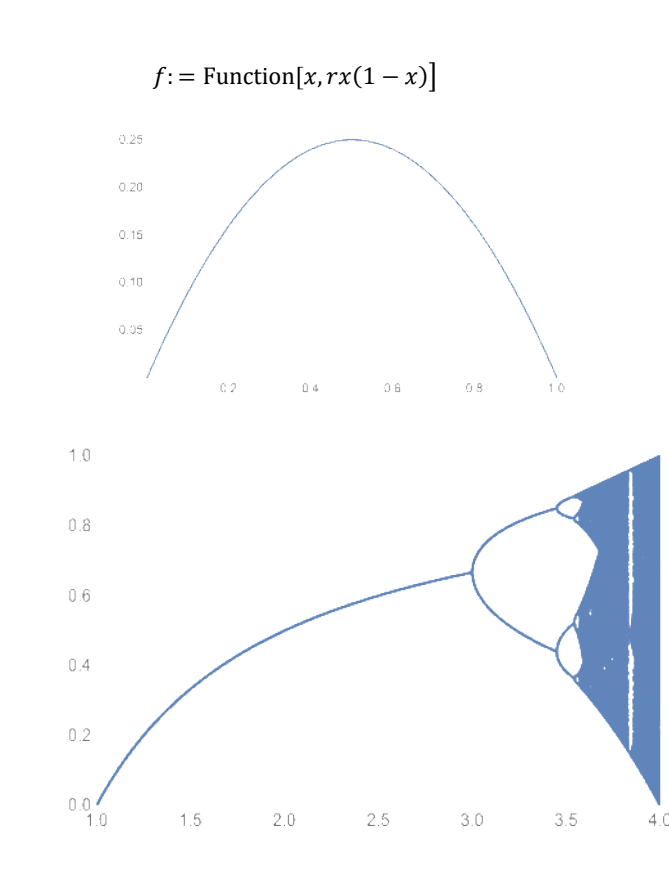
$$\frac{\Gamma = 3}{\left| A'(x_4) \right|} = 1$$

$$= \left( A'(x_4) \right)^2 \left( A'(x_4) \right)^2 = \left( A'(x_4) \right)^2 = 1$$

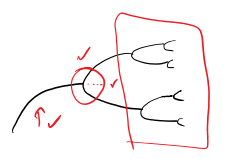


Wie versprochen, ging die genau funktionale Form von f in die Analyse nicht ein. Wir sollten also vergleichbare Bifurkationen auch für andere Funktionen finden. Probieren wir es aus:



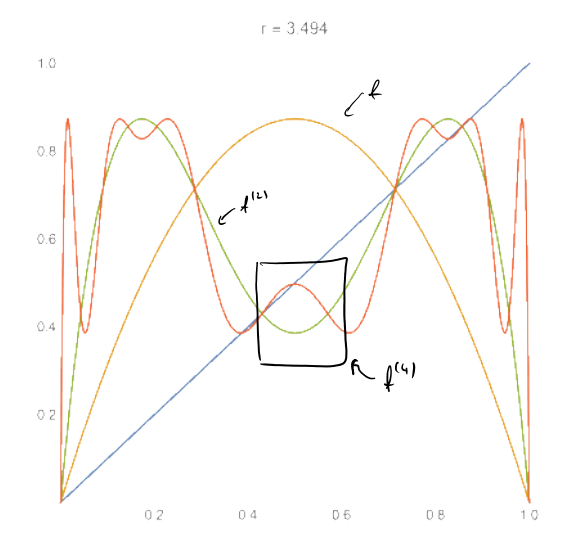


#### 9.6 Bifurkationskaskaden



Wir verstehen nun die erste Stimmgabel. Visuell besonders aufällig ist natürlich die Bifurkations kaskade, also die immer feineren Verzweigungen des Diagramms.

Den Mechanismus dahinter schauen wir uns nun kurz an. Wir werden sehen, dass auch dieser Mechanismus nur grobe Information über f benötigt - also auch universell ist. (Und tatsächlich, dass Sinus-Modell auf der letzten Seite zeigt auch eine solche Kaskade).

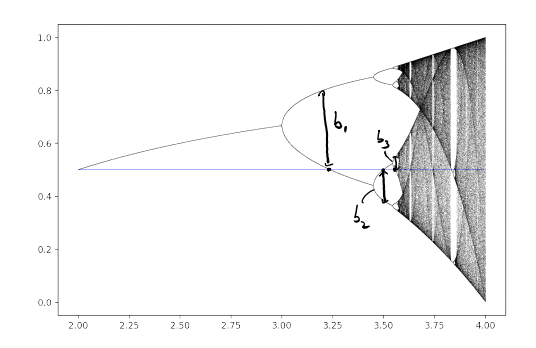


- $f^{(4)}$  which such an  $f^{(2)}$ ,
  with  $f^{(1)}$  and  $f^{(2)}$ .
- Form (bis and Vaschieburg und

  Skalierung) wir t um 1/2
- Bifur hationamechanismus uiddahdt sich ...
  ... 2-er Bahnen wadan instabil,
  erzeugen stabil F.P. von 141, ...

Das Modell wurde berühmt, weil nicht nur das *qualitative* Verhalten des Wegs ins Chaos universell ist, sondern es *quantitative* universelle Aspekte gibt.

Betrachtet man z.B. den Durchmesser  $b_i$  der i-ten Stimmgabel. Es bestimmt eine "Längenskala" der i-tenBifurkation. Wir werden argumentieren, dass im Limes n , das Verhätnis sukzessiver Skalen gegen eine universelle Konstante konvergiert, nämlich gegen die zweite Feigenbaumkonstante  $\alpha=2.5029$  ... Der Wert hängt nicht von den Details der Konstruktion ab, taucht in vielen anderen selbstähnlichen Figuren auf, und kann als fundamentale mathematische Konstante wie  $\pi$  oder e angesehen werden.



 $l_{im}$   $\frac{b_{mil}}{b} = -d = -2.5029...$ 

# Überblick über das Argument:

 Wir betrachten nur das Verhalten für Parameter x in der Nähe des Maximums, also 1/2.

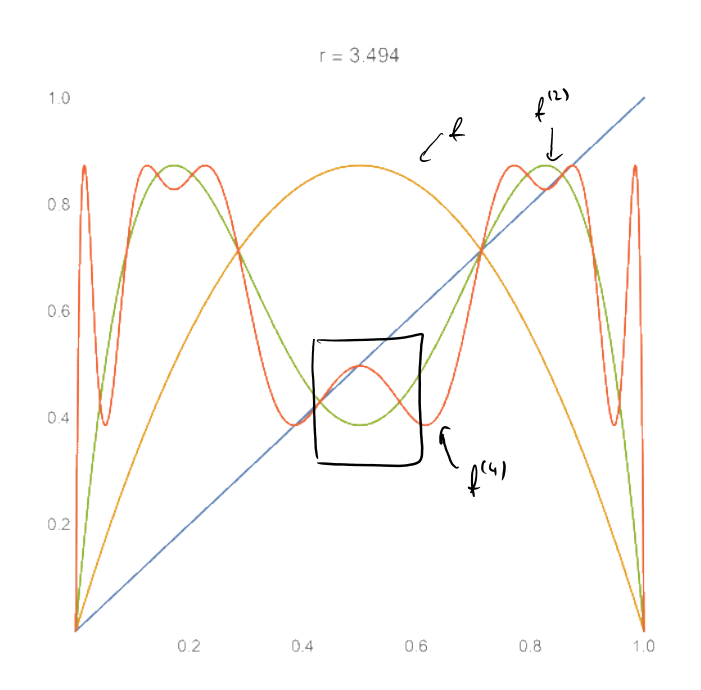
#### Quantitative Universality for a Class of Nonlinear Transformations

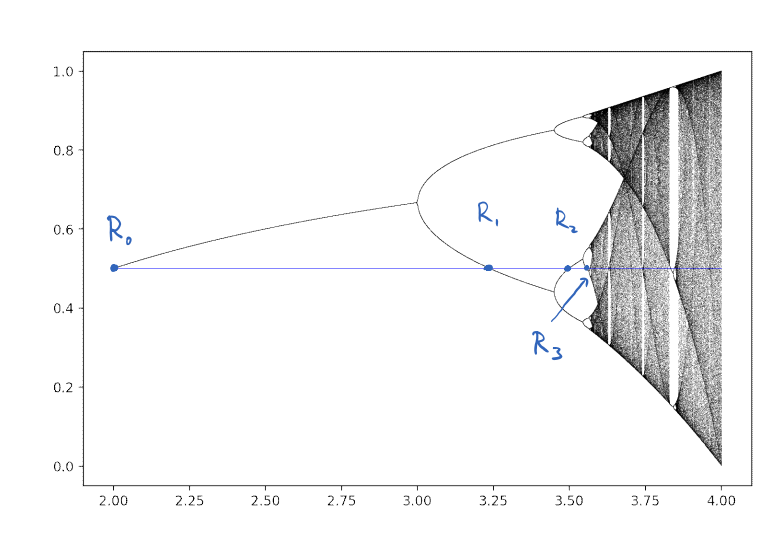
Mitchell J. Feigenbaum<sup>1</sup>

Received October 31, 1977

A large class of recursion relations  $x_{n-1} = \lambda f(x_n)$  exhibiting infinite bifurcation is shown to possess a rich quantitative structure essentially independent of the recursion function. The functions considered all have a unique differentiable maximum  $\bar{x}$ . With  $f(\bar{x}) = f(x) \sim |x - \bar{x}|^n$  (for  $|x - \bar{x}|$  sufficiently small), z > 1, the universal details depend only upon z. In particular, the local structure of high-order stability sets is shown to approach universality, rescaling in successive bifurcations, asymptotically by the ratio  $\alpha (\alpha = 2.5029078759957...$  for z = 2). This structure is determined by a universal function  $g^*(x)$ , where the  $2^n$ th iterate of f,  $f^{(n)}$ , converges locally to  $\alpha^{-n}g^n(\alpha^n)$  for large n. For the class of f's considered, there exists a  $\lambda_s$  such that a  $2^n$ -point stable limit cycle including  $\bar{x}$  exists;  $\frac{1}{n} = \frac{1}{n} \frac{(x-g)^n}{n} \frac{(x-g$ 

# 9.7 Superstabile Bahnen





Beobachung zuvor:

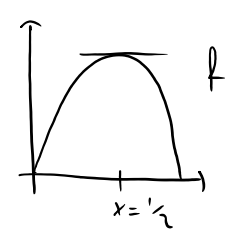
Um x = 1/2 herum, verhält sich  $f^{2^n}$  wie reskalierte Version  $f^{2^{n-1}}$ .

Ziel hier:

Erfasse diese Selbstähnlichkeit präziser, durch Betrachtung superstabilier Bahnen

Def.: Eine Bahn 
$$x_1, \dots, x_{p-1}$$
 ist super-stable
$$V = \left( \int_{0}^{(p)} (x_0) dx \right) = 0.$$

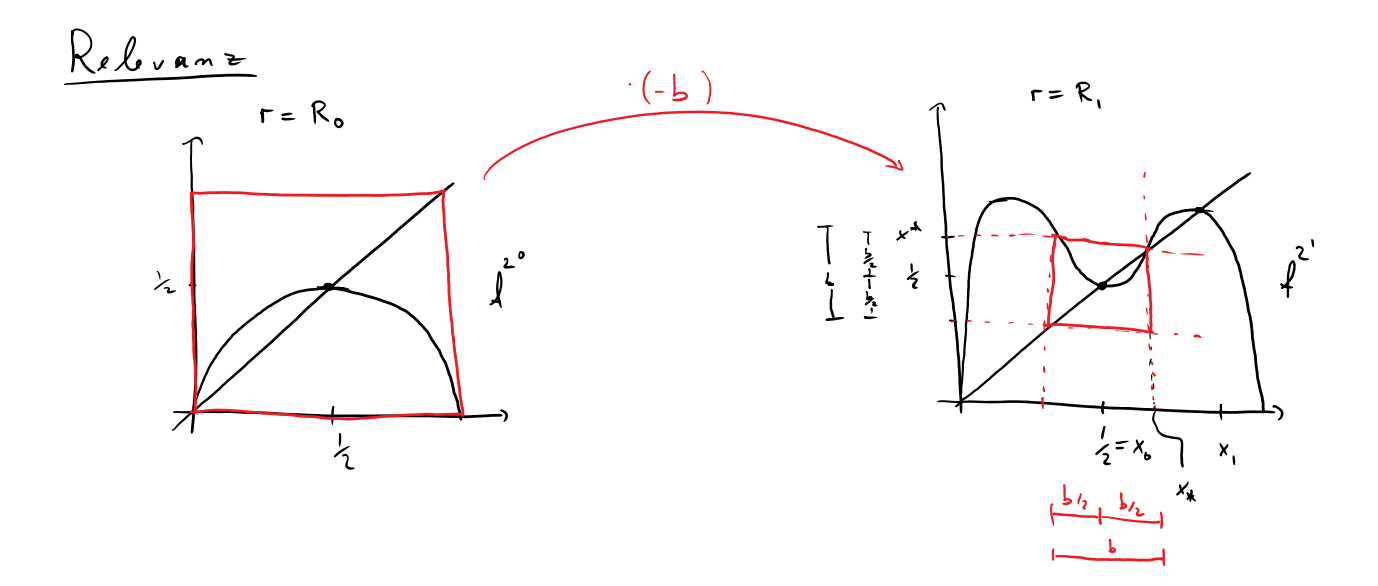
 $\rho = \prod_{i=0}^{p-1} f(x_i)$ E-innermy:



Behn ist s.s. ∈> ½ ∈ Bahn.

Sei Rm de West von r, wo Bohn mit Pariod 2" sis wied

Sei Rm du Wat von r, wo Bohn mit Period Z' sis. wird.



Informate Hoffmong: Mit a= 1/5, Tkt.

$$a_{m}\left(\int_{R_{m}}^{2^{m}}\left(\frac{1}{2}+\frac{s}{a_{m}}\right)-\frac{1}{2}\right)$$

ähnelm sich.

Hoffe miter: Es gibt ein de IR, s.d. für alle i:

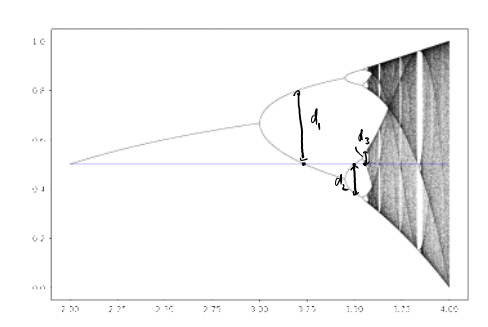
$$\lim_{m\to\infty} \left(-\lambda\right)^m \left(\int_{\mathbb{R}_{m+1}}^{2^m} \left(\frac{1}{2} + \frac{s}{(-\lambda)^m}\right) - \frac{1}{2}\right) =: g_i(s)$$

ex istint

#### 9.8 Feigenbaum-Universalität

Überraschende Erkenntnis: Der Skalenfaktor  $\alpha$  ist universell:

Sein exakter numerischer Wert hängt nur von der Ordnung des Maximums von f ab.



$$\frac{d_i}{d_{i+1}} \rightarrow \alpha = 2,5029 \dots$$

Argumentien mit

Damit: Definier <u>Dopplungefunktional</u>

$$T[g](s) = (-\lambda)g(g(\frac{s}{-\lambda}))$$

$$\Rightarrow$$
  $T[q_i]$   $=$  ....  $= q_{i-1}$ 

$$g(s) = T[g](s) = (-2)g(g(\frac{s}{-2}))$$

$$\overline{+} \text{ Liganbaum - Cuitanovic - G1.}$$

Faht: (F() list & eindusting first.

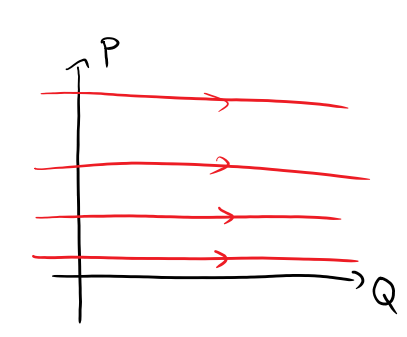
(Analogie za Eigenwerten in der L.A.)

Zur Berichnung: Wähle Potenzveihenansatz g(s) =  $\sum_{i=0}^{00} a_i s^i$  und schre ein.

$$H(Q,P) = \omega P$$

$$\dot{P} = -\frac{\partial H}{\partial Q} = 0$$

$$\dot{Q} = -\frac{\partial H}{\partial P} = \omega$$



Zuvor gezeigt: Fluss des harmonischen Osz. kann durch kanonische Trafo "geglättet" werden.

Allgemeiner: Graph System nit N FHG. Schön wäre sime kanonische Trako  $(\vec{q}, \vec{p}) \mapsto (\vec{\sigma}, \vec{I})$  s.d. H = H(I) nicht von

den v's abhingt.

Dann:

1 Dis BWG.

$$\dot{C}_{i} = \frac{3I_{i}}{9H} , \quad \dot{I}_{i} = \frac{3V_{i}}{9H} = 0$$

Sind dinkt läster ("integrierber"):

$$I_i(t) = \overline{I}_i(0)$$
,  $\sigma_i(t) = \omega_i t$  mit  $\omega_i = \frac{\partial H}{\partial I_i}(\overline{I}(0))$ 

3 => I; EHG

3 => Da die Trate Kononisch ist, {I; I;} = 0.

Man soot dazu: I; stehen in Involution.

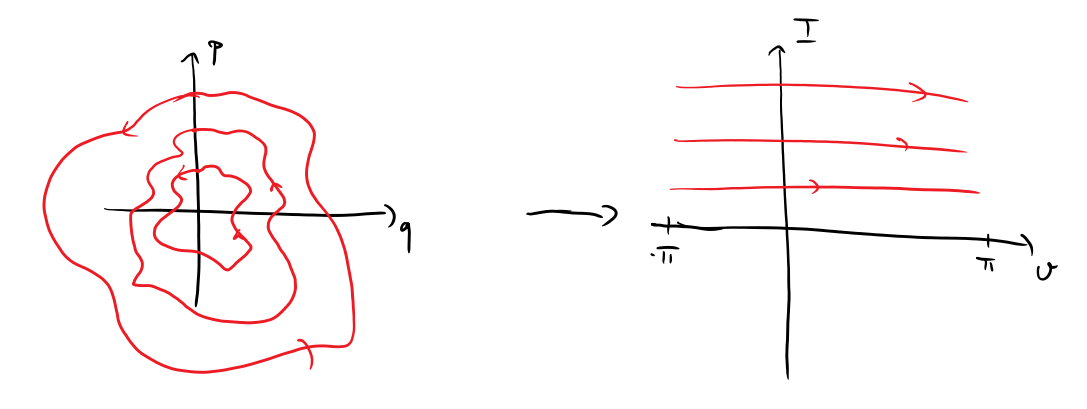
Del: System mit N FHG ist integrabel weren as N unabh.
EHG F, ..., FN gibt, die zueimander in Invulution stehen.

Damn  $\vec{L}$  Arnold-Liouvill  $\vec{J}$ :  $\vec{E}$   $\vec{E}$  gibt sine Ken. Trans.  $\vec{G}(q,p)$ ,  $\vec{T}(\vec{T}(\vec{q},\vec{p}))$  $\vec{S}$   $\vec{J}$   $\vec{$ 

# 10.2 Beispiele für integrable Systeme

He exhalten ist, and EH, HJ=0, sind alle Systems mit

Geometrisch:



Tailchen im Zantralpotential.

Aber: Drehimpulsk. micht in Imvolution. { Lx, Ly } = - Lz (zyhlish)

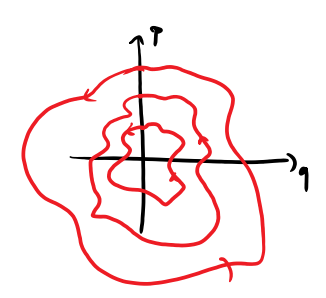
Trick: Betrockte F,=H, F2= || I) | F3 = L2.

Dann: {F, F3} = { L2 + L3 + L2 L2}

= 2 Lx & Lx, L2 } + 2 Ly & Ly, L2 }

= 0. = 2 Lx Ly - 2 Ly Lx

# 10.3 Tori und Poincaré-Schnitte



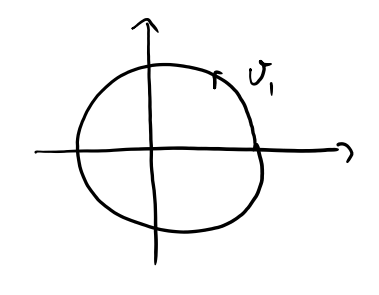
Bohman lür N=1.

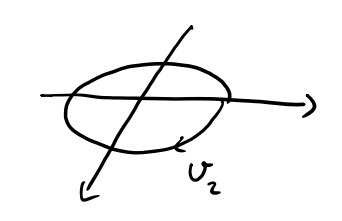
Wie sehen gebundene Bahnen Hamiltonscher Systeme für N=2 aus?

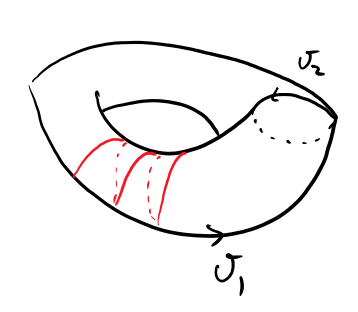
Zumächst: int. Systame

$$\mathcal{O}_{i}(t) = \mathcal{O}_{i}(0) + \omega_{i} t \in [-\pi, \pi]$$

$$\in [-\pi, \pi]$$







(I) a, and we im rationalism Vahaltuis.

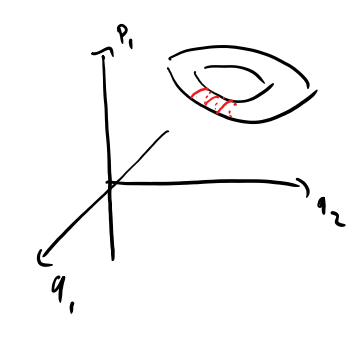
$$\frac{\omega_{i}}{\omega_{z}} = \frac{k}{l} \in \mathbb{Q} \quad \text{and} \quad \text{find the substite of the substitute}$$

$$\overline{\psi}(t) \quad \text{and} \quad \text{such subst.}$$

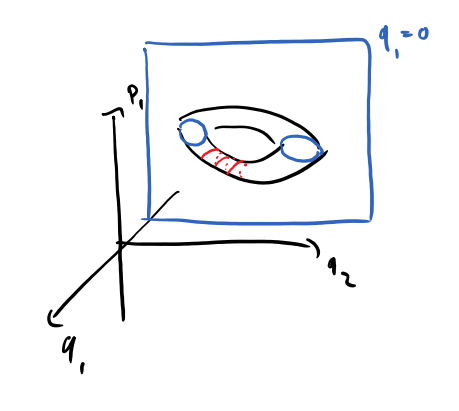
1) I-D Kurve c 2-D Tovus c 4-D Phisentum "Resonanter Torus"

Allgemaine: 20- Dorst. von Kurven (P) (t) e Rt.

autylist undm.

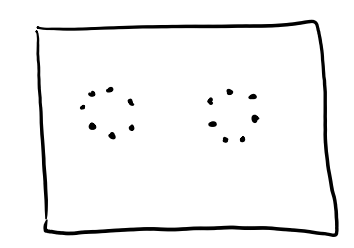


2. Schritt Off, übersichtlicher mit 2-D Ebane zu Schneiden.

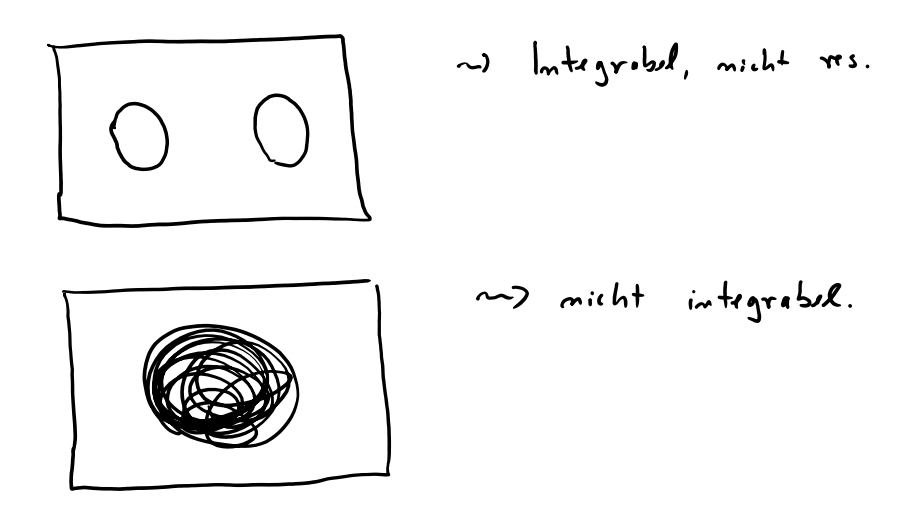


~ "Poincori - Schnitt'.

Ermatete Bilder



~> Integrabel, resonant.



Es ergibt sich folgendes Bild: Die Bahnen eines integrablen Systems mit N Freiheitsgraden sind (quasi-) periodisch, und liegen auf N-dimesnionalen Tori im 2N-dimensionalen Phasenraum.

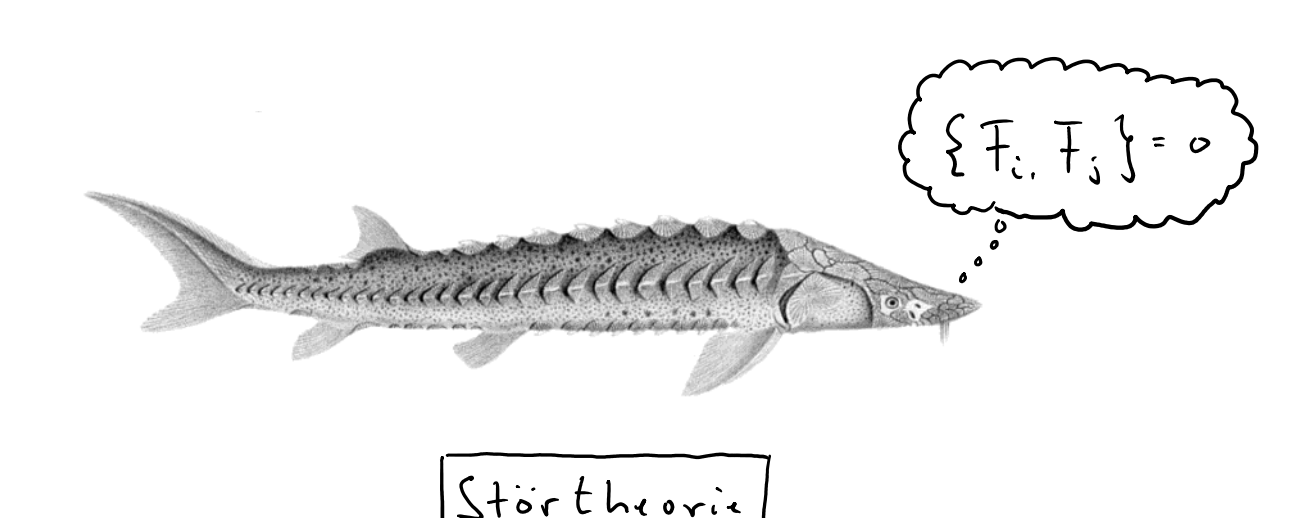
Integrable Systeme gelten als das Musterbeispiel geordneter Bewegung (wie chaotisches Verhalten aussieht, werden wir später sehen).

Die Rechnung, die die Integrabilität eines Teilchens mit Zentralpotential gezeigt hat, lässt sich leicht auf n Teilchen im Zentralpotential verallgemeinern (jedes neue Teilchen hat 3 FHG - aber seine Energie, seine Drehimpuls-z-Komponente und sein Gesamtdrehimpuls sind drei EHGs; alle stehen in Involution zueinander). Wenn man die Kräfte zwischen den Planeten vernachlässigt, ist das Sonnensystem also integrabel. Da diese Kräfte klein sind - verglichen mit der Anziehungskraft der Sonne - kann man versuchen, das Sonnensystem als "Störung" eines idealen, integrablen Systems mit Hilfe der klassischen Störtheorie zu behandeln. Für lange Zeit war es eine der heißesten Fragen der Physik (und Mathematik), ob schwach gestörte Systeme weiterhin quasi-periodische Orbits auf Tori haben. In der ersten Hälfte des 20. Jahrhunderts gab das KAM-Theorem im Prinzip eine positive Antwort darauf - allerdings unter vielen restriktiven Bedingungen (z.B. überleben resonante Tori nicht), und nur für sehr kleine Störungen. In unserem Sonnensystem sind die Kopplungen zwischen den Planeten zu stark - selbst wenn die Sonne unendlich lang scheinen würde, würde das System nicht überleben (tut mir Leid, die schlechte Nachricht überbringen zu müssen).

Während die Himmelsmechaniker des 19. Jahrhunderts zeigen wollten, dass mechanische Systeme stabil und integrabel sind, hoffte eine andere Gruppe auf das gegenteilige Resultat: Die junge statistische Physik. Boltzmann hatte vorgeschlagen, makroskopische Systeme so zu beschreiben, als würden sie zufällig jeden Zustand annehmen, der mit der Gesamtenergie kompatibel ist. Mit Hilfe dieses Axioms konnte man die Vorhersagen der Thermodynamik erklären - eine äußerst erfolgreiche Theorie, die aber bis dahin keine mikroskopische Rechtfertigung hatte. Das Problem ist nur: Warum war Boltzmanns Annahme gerechtfertigt? Dies ist eine Diskussion, die bis heute anhält. Ein früher Erklärungsansatz war die **Ergodenhypothese**. Sie besagt, dass die Trajektorien mechanischer Systeme alle mit der Energie verträglichen Zustände gleich häufig durchlaufen. Die Mittlung über zufällige Zustände in der statistischen Physik kann man dann als Zeitmittlung über eine Trajektorie verstehen. Sind mechanische Systeme ergodisch? Integrabele sind das sicher nicht! Die Menge der Zustände gegebener Energie ist (2N-1)-dimensional, die Tori integrabler Systeme haben aber nur N Dimensionen. Ein integrables System kann

"die meisten" Zustände gegebener Energie also nie erreichen. Aber vielleicht sind integrable Systeme die Ausnahme...

Welche mechanischen Systeme sind nun integrabel, stabil, chaotisch, ergodisch? Dies sind sehr schwierige Fragen, die bis heute nicht vollständig verstanden sind. Seit Mitte der 70er Jahre spielen Computersimulationen eine große Rolle für diese Probleme. Das werden wir uns als nächstes ansehen...



### 10.4 Chaos im Hénon-Heiles-System

The Applicability of the Third Integral Of Motion:

Some Numerical Experiments

Michel Hénon\* and Carl Heiles

Princeton University Observatory, Princeton, New Jersey
(Received 7 August 1963)

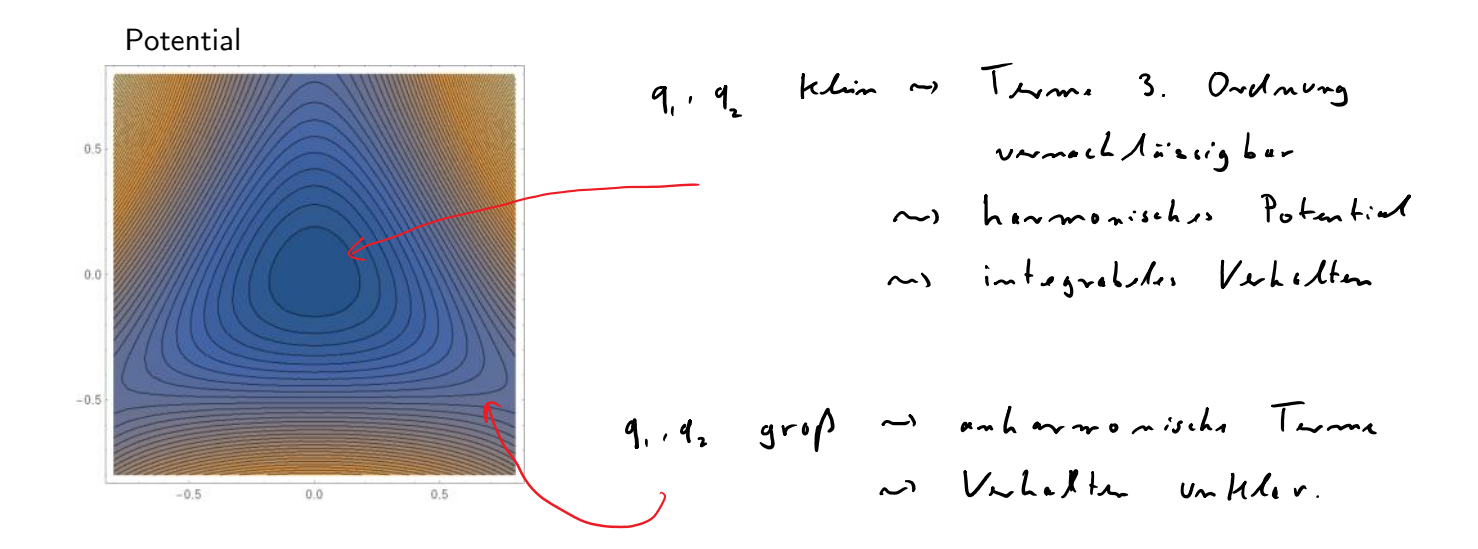
The problem of the existence of a third isolating integral of motion in an axisymmetric potential is investigated by numerical experiments. It is found that the third integral exists for only a limited range of initial conditions.

1. Introduction

In the present case, two isolating integrals are known:

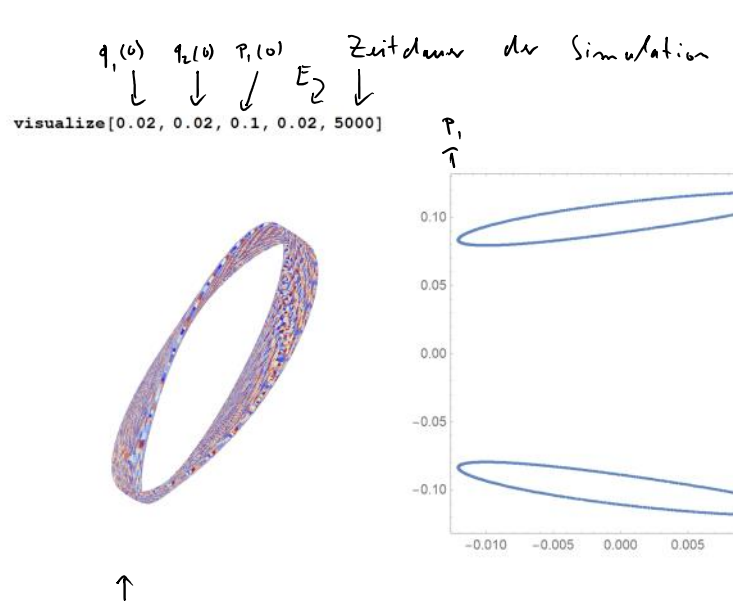
There has recently been a renewal of interest in the question of the existence of the third integral of galactic motion (Contopoulos 1957, 1958,  $I_1 = U_{\theta}(R, z) + \frac{1}{2}(R^2 + R^2\theta + z^2),$  (2) integral of galactic motion (Contopoulos 1957, 1958,

"Star in cylindrically symmetric galactic potential".



Numerih:

Mathematica: Lösz DGA numanisch (Code and Walseita)



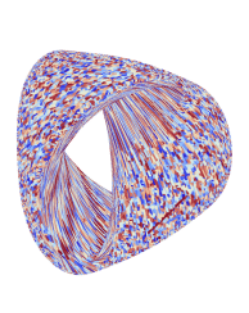
Für kleine Energie erwarten wir integrabeles Verhalten.

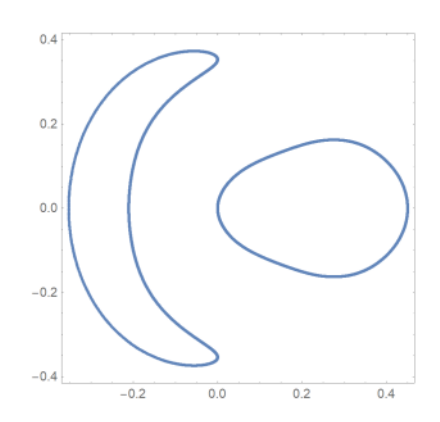
Hier zu sehen ist nicht-resonanter Torus. Links ist die Trajektorie in 3D, rechts der Poincare-Schnitt.

Auf der Webseite des Kurses ist das Mathematica-Notebook zum Herunterladen bereitgestellt. Mit Mathematica (z.B. im CIP-Pool nutzbar) kann man die 3D-Trajektorie drehen.

9,-92-P, Ravm

visualize[0, 0, 0, 1/12, 20000]



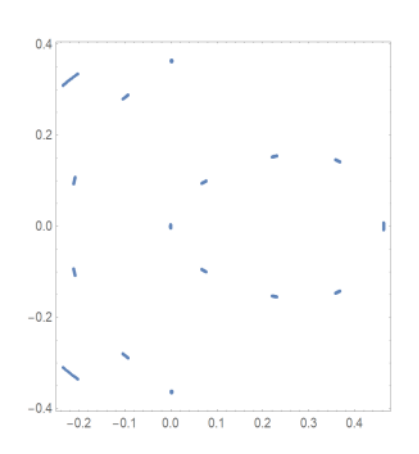


Andere Anfangsbedingungen, immer noch niedrige Energie.

Der Torus ist verzerrt. Das ist weiterhin mit integrablem Verhalten kompatibel: erst nach einem kanonischen Koordinatenwechsel erhält man den "Standard-Donut".

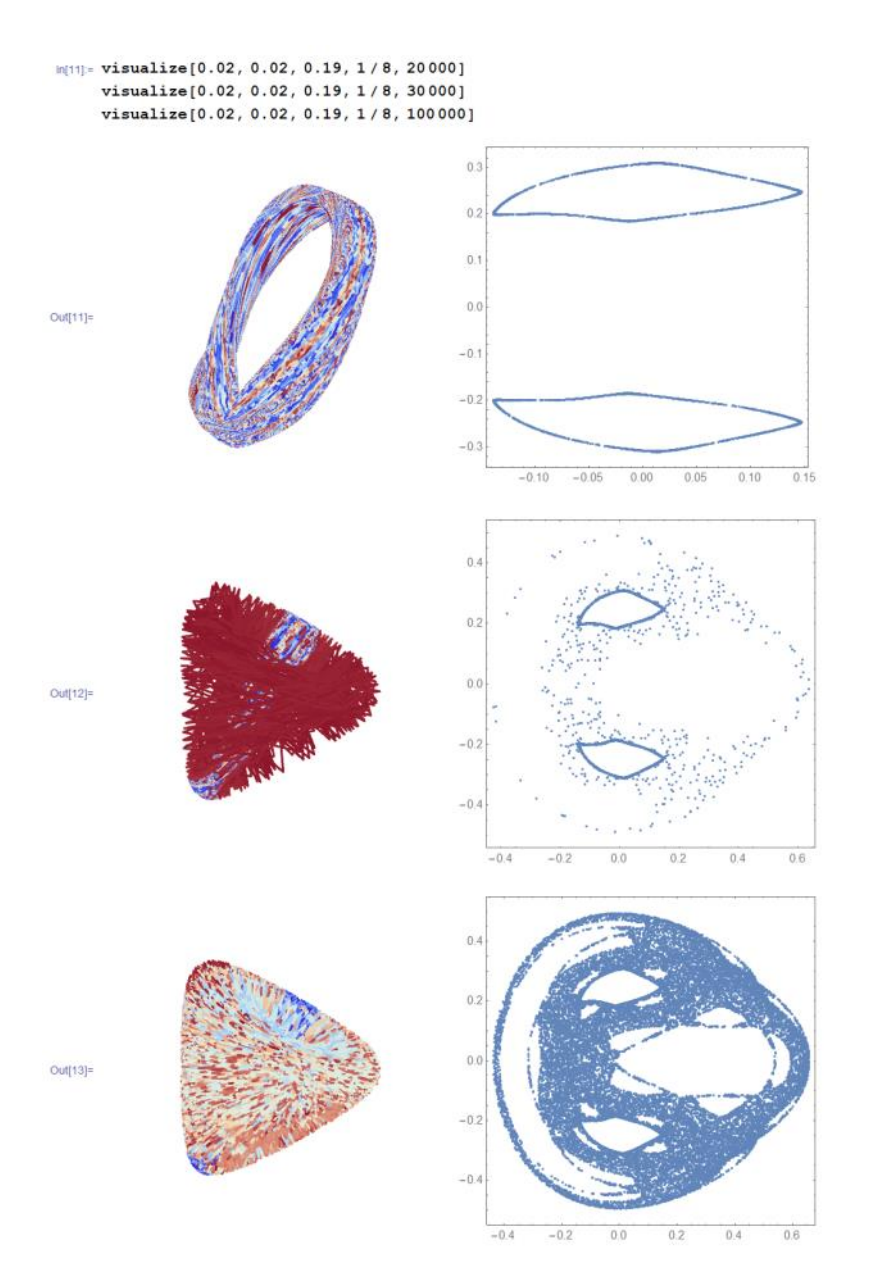
visualize[0, 0, 0, 0.088, 2000]





Ein resonanter Torus.

Schön, ne?



Jetzt wird's spannender.

Wir wählen eine höhere Energie.

Nach 20k Zeiteinheiten sieht die Trajektorie und der Poincare-Schnitt noch integrabel aus.

...nach 30k Zeiteinheiten verlässt die Trajektorie den Torus!

(Achtung: Die Skalierung der Achsen hat sich verglichen mit dem letzten Bild geändert).

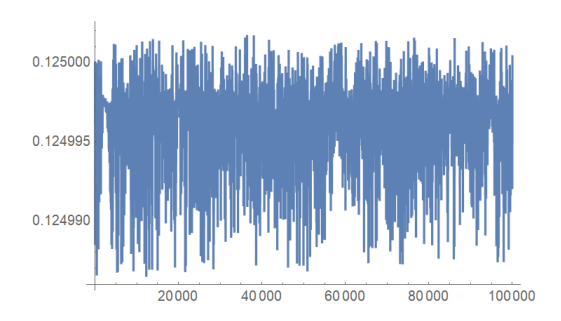
...nach 50k Zeiteinheiten sehen wir nun eindeutig nichtintegrables Verhalten.

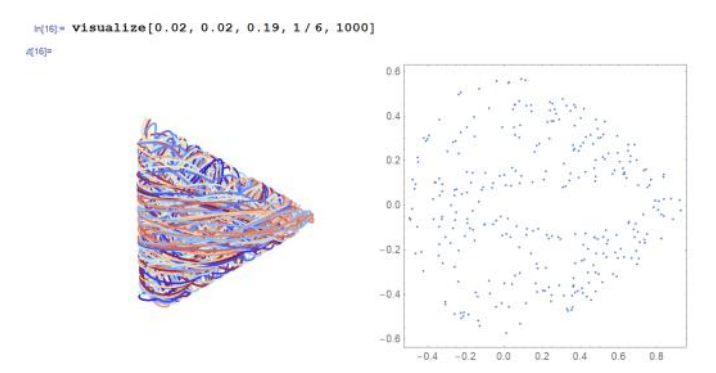
Der Poincare-Schnitt ist eine komplizierte zweidimensionale Fläche. Der topologische Abschluss der Trajektorie ist also eine drei-dimensionale Untermenge des vierdimensionalen Phasenraums. Da ein Torus zweidimensional ist, haben wir den integrablen Bereich hiermit verlassen.

Das Muster sieht nicht so aus, als ob man eine analytische Beschreibung finden könnte! Tatsächlich treten in solchen Probleme häufig fraktale Muster auf.

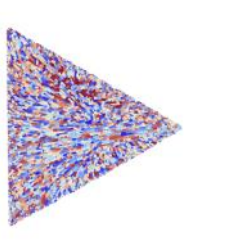
Interessant ist, dass wir während der ersten 20k Zeiteinheiten keine Spur von Chaos gesehen haben. Das sollte uns nachdenklich stimmen: Es zeigt, dass es nicht leicht ist, aus numerischen oder empirischen Beobachtungen auf Ordnung zu schließen. Man kann nur hoffen, dass der Keim des Chaos in unserem Sonnensystem nicht gleichermaßen angelegt ist.

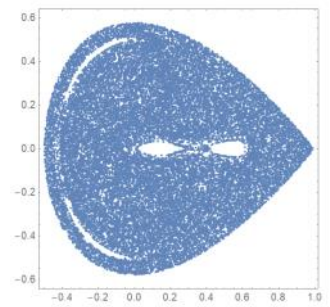
Noch ein Konsistenzcheck: Wenn man Differentialgleichungen für lange Zeiten numerisch integriert, können sich numerische Fehler aufaddieren. Vielleicht ist der späte Anfang des Chaos einfach ein Artefakt, weil der Löser durch numerische Fehler mehr und mehr Energie in das System pumpt. Wir plotten also Energie über Zeit für 100k Zeiteinheiten. Das Diagramm unten zeigt, dass Energie im Rahmen kleiner numerischer Fehler erhalten bleibt. Gut.





/[17]=

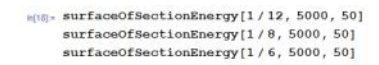


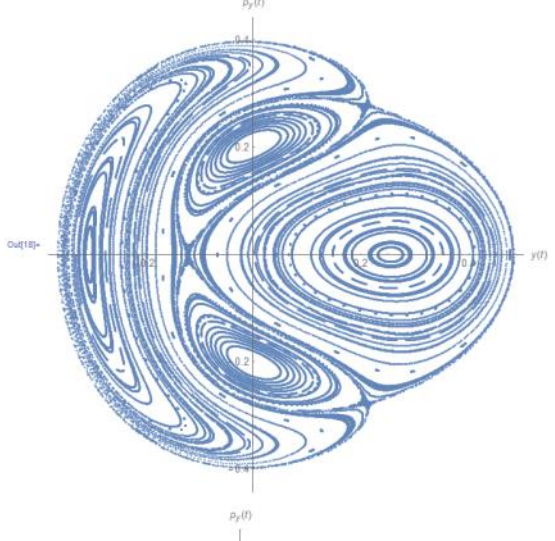


Wir erhöhen die Energie weiter. E=1/6 ist die höchste Energie, bei der die Lösungen noch gebunden sind.

Oben: 1k Zeiteinheiten, unten 100k Zeiteinheiten.

Im Poincare-Schnitt scheinen bis auf vier weiße Regionen alle Bereiche gleichmäßig bedeckt zu sein. Eine "glatte Struktur" ist nicht mehr erkennbar.

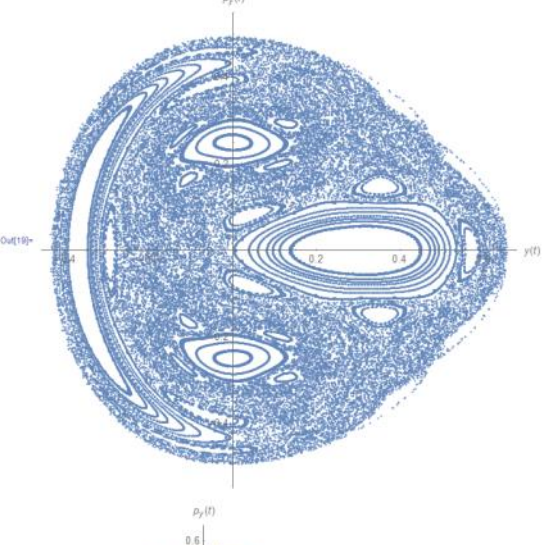




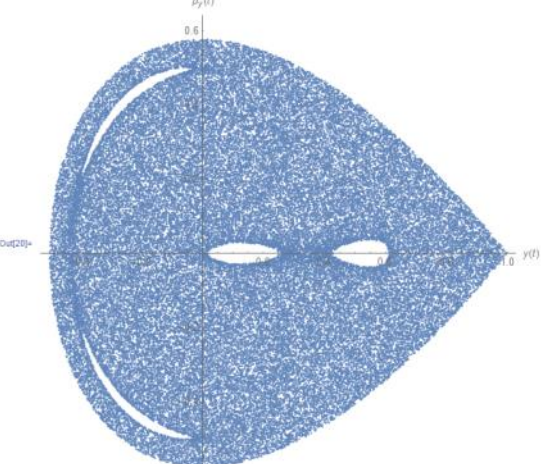
In den drei Diagrammen sind jeweils 50 Trajketorien mit gegebener Energie und zufälligen Anfangsbedingungen für je 5k Zeiteinheiten aufgetragen.

Die Energien sind: 1/12, 1/8, 1/6.

Bei E=1/12 sieht man glatte Trajektorien, mit einigen Resonanzen.



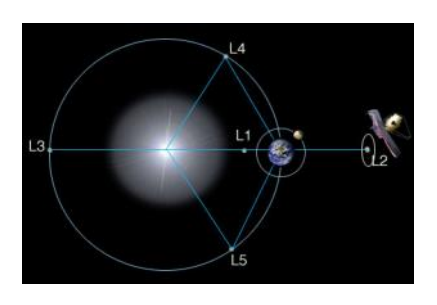
Bei E=1/8 verbleiben einige wenige glatte Bahnen. Die meisten ergeben jedoch chaotische Bilder.



Bei E=1/6 sind keine glatten Bahnen mehr erkennbar.

Interessant ist: Das Portrait der 50 zufälligen Bahnen hier sieht genauso aus, wie das Portait der einen Bahn für E= 1/6, die wir oben geplottet haben. Dieses Verhalten (Zeitmittel einer Bahn entspricht zufällig gewählten Punkten mit gegebener Energie) scheint ergodisch zu sein.

## Wo ist Webb?

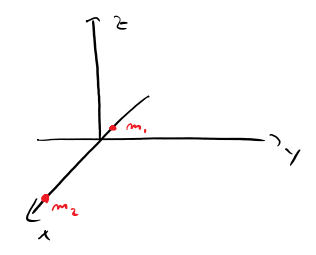


Mit Jahrzehnten Verspätung und Kosten, die das ursprüngliche Budget um ein Vielfaches überschreiten, ist das James Webb-Infrarotteleskop seit Anfang 2022 auf seiner Station am 2. Lagrange-Punkt des Sonnen-Erde-Systems angelgangt.

Unser Ziel hier ist es, den Ort dieses Lagrange-Punkts zu bestimmen.

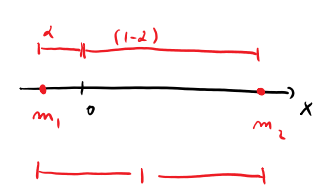
[Bilder: NASA]

T Erinnerung: Das Zweikörperproblem



Wir betrachten eine kreisförmige Kepler-Bahn. Wie üblich wählen wir Koordinaten so, dass die Ekliptik mit der x-y-Ebene zusammenfällt. Ursprung ist der Schwerpunkt. Die Ebene legen wir so, dass die Körper zum Zeitpunkt t=0 auf der x-Achse liegen.

Wir messen Längen in Einheiten des Abstands der beiden Körper (für das Erde-Sonnen-System also in astronomischen Einheiten  $1~{\rm AU} \simeq 150 \times 10^6~{\rm km}$ ).

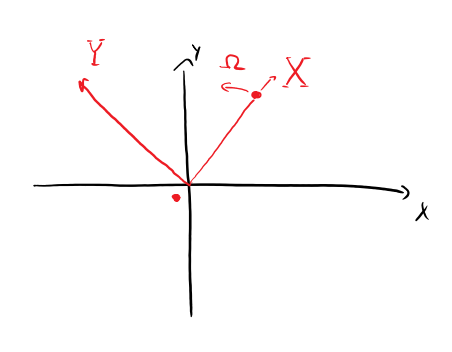


$$M = m_1 + m_2$$

$$A = \frac{m_2}{M} \implies \begin{cases} m_2 = A & M \\ m_1 = (1-A)M \end{cases}$$

Aus der Formel für den Schwerpunkt ergibt sich die Lage der Körper auf der x-Achse bei t=0.

Nun wählen wir Koordinaten die sich mit den Körpern mitdrehen:



$$\vec{q}' = \begin{pmatrix} x \\ y \\ z \end{pmatrix}$$
  $\vec{Q} = \begin{pmatrix} x \\ y \\ z \end{pmatrix}$ 

$$\Rightarrow \dot{\vec{q}} = \dot{\vec{R}} \dot{\vec{Q}} + R \dot{\vec{Q}}$$

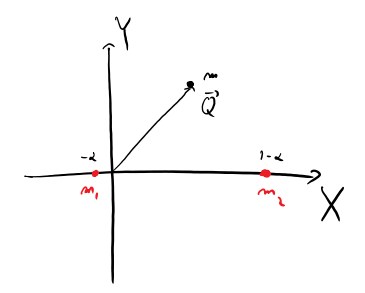
$$= \Re \left( \underbrace{\Omega \, \vec{e_{z}}}_{z} \right) \times \vec{Q} + \Re \vec{Q}$$

Für die Rechnung benötigen wir später den expliziten Wert der Kreisfrequenz. Wir hatten ihn bei der Behandlung des Zweikörperproblems nicht ausgerechnet. Nicht schwierig - aber für diese Rechnung schlagen wir den Wert einfach nach:

$$\Omega = \frac{2\pi}{T} = \sqrt{\frac{GM}{a^2}} = \sqrt{\frac{GM}{GM}}$$



Das reduzierte Dreikörperproblem



Die beiden Planeten erzeugen ein zeitabhängiges Gravitationspotential. Wir betrachten nun die Bewegung eines Körpers mit vergleichsweise geringer Masse  $m \ll m_1, m_2$  in diesem Potential. Der Einfluß des kleinen Körpers auf die Planeten wird dabei vernachlässigt (daher "reduziert").

Konkret rechnen wir die Lagrange-Fkt. im mitrotierendem Bezugssystem aus.

$$T = \frac{1}{2} m \| \dot{q} \|^{2} = \frac{1}{2} m \| R \overrightarrow{\Omega} \times \overrightarrow{Q} + R \overrightarrow{Q} \|^{2}$$

$$= \frac{1}{2} m \| \overrightarrow{Q} \|^{2} + \frac{1}{2} m \| \overrightarrow{\Omega} \times \overrightarrow{Q} \|^{2} + m (\overrightarrow{Q}, \overrightarrow{\Omega} \times \overrightarrow{Q})$$

$$= \frac{1}{2} m \Omega^{2} (X^{2} + Y^{2})$$

$$= \frac{1}{2} m G M (X^{2} + Y^{2}) \quad \text{Vereinfachung: Wir notation}$$

Vereinfachung: Wir nehmen an, dass sich der Körper initial in der Ekliptik bewegt. Dann wird er die Ebene nicht verlassen, da alle Kräfte in ihr enthalten sind. Damit kann das Kreuzprodukt explizit ausgerechnet werden.

Euler-Lagrange-Gleichung (in vektorieller Notation):

$$\frac{d}{dt} \frac{\partial L}{\partial \dot{Q}_i} = \frac{\partial L}{\partial \dot{Q}_i}$$

$$\stackrel{(=)}{\frac{d}{dt}} \overrightarrow{\nabla_{\dot{Q}}} = \overrightarrow{\nabla_{\dot{Q}}}$$

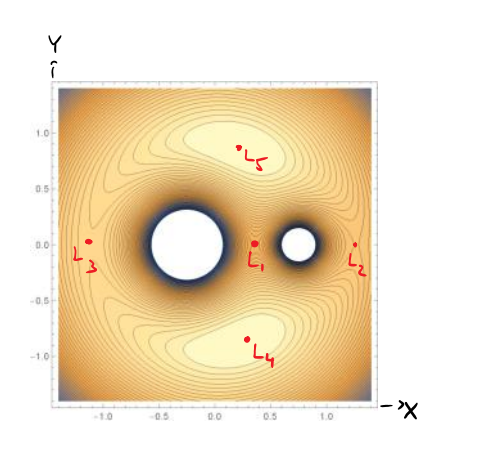
(=) 
$$m \dot{Q} + m \vec{\Omega} \times \dot{Q} = -\vec{\nabla}_{Q} \left( -\frac{1}{2} m \Omega^{2} \left( X^{2} + Y^{2} \right) + U \right)$$

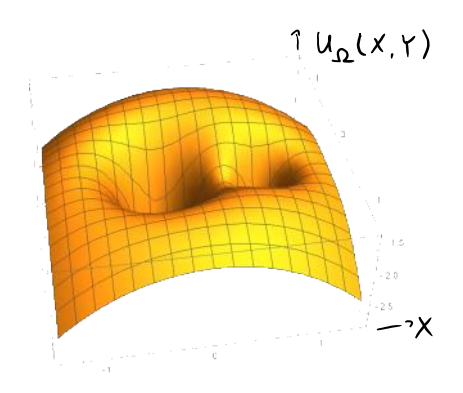
"Verellymeinster Potential"  $U_{Q}$ .

Wir suchen nun nach Bahnen  $\vec{Q}(t)$ , die im mitrotierenden Bezugssystem konstant sind.

Wähle dazu einen Punkt  $\vec{Q}_0$  und betrachte die Anfangsbedingungen  $\vec{Q}(0) = \vec{Q}_0$ ,  $\dot{\vec{Q}}(0) = 0$ . Aus der ELG folgt dann, dass die Beschleunigung verschwindet - und damit  $Q(t) = \vec{Q}_0$  ist - genau dann, wenn  $\vec{Q}_0$  ein stationärer Punkt des verallgemeinerten Potentials ist.

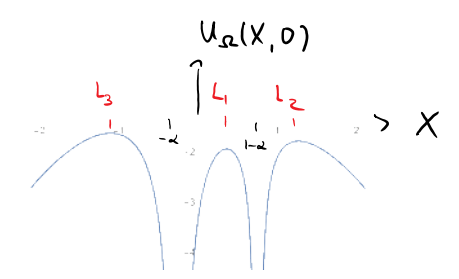
Ein Plot zeigt fünf stationäre Punkte:

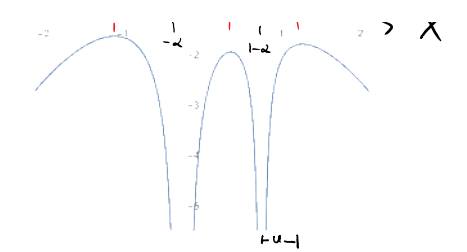




Wir schränken uns nun auf die drei Lösungen ein, die auf der X-Achse liegen. Aufgrund der Spiegelsymmetrie des verallgemeinerten Potentials unter  $Y\mapsto -Y$ , verschwindet der Gradient in Y-Richtung. Die stationären Punkte des Potentials auf der X-Achse sind also mit den stationären Punkte der eindimsionalen Funktion  $\mathrm{U}_\Omega(X,0)$  identisch.

Hier ein Plot, in dem die drei stationären Punkte auf der Achse klar erkennbar sind:





Ziel nun: Verstehe die Lage von L<sub>2</sub> analytisch.

Für uzo, definiere:

$$f(u) := \frac{-1}{m GM} U_{\Omega} \left( 1 - \alpha + u, 0 \right) = \frac{1}{2} \left( 1 - \alpha + u \right)^{2} + \frac{1 - \alpha}{1 + \alpha} + \frac{\alpha}{u}$$

Stationaritätebedingung:

$$0 \stackrel{!}{=} \int_{0}^{1} \left( u \right) = \left( 1 - \lambda + u \right) - \frac{1 - \lambda}{\left( 1 + u \right)^{2}} - \frac{\lambda}{u^{2}}$$

$$(- u^{2}(1+u)^{2}(1+u)^{2}(1+u) - u^{2} = \alpha \left[ -(1+u)^{2}u^{2} + u^{2} - (1+u)^{2} \right]$$

$$\leq c_{pav} \cdot T_{cime}$$

$$m_{i} + \alpha$$

$$(- u^{2}(1+u)^{2}(1+u) - u^{2} = \alpha \left[ -(1+u)^{2}u^{2} + u^{2} - (1+u)^{2} \right]$$

$$= \alpha \left[ -(1+u)^{2}u^{2} + u^{2} - (1+u)^{2} \right]$$

$$= \alpha \left[ -(1+u)^{2}u^{2} + u^{2} - (1+u)^{2} \right]$$

$$= \alpha \left[ -(1+u)^{2}u^{2} + u^{2} - (1+u)^{2} \right]$$

$$= \alpha \left[ -(1+u)^{2}u^{2} + u^{2} - (1+u)^{2} \right]$$

Eine explizite Lösung von (\*) für  $u(\alpha)$  ist leider nicht bekannt. :-(

Allerdings ist für das Sonne-Erde-System  $\alpha = \frac{\text{Erdmasse}}{\text{Sonnenmasse}} \simeq 3 \cdot 10^{-6}$  sehr klein. Da u(0) = 0, ist damit auch u klein. Dies rechtfertig, nur die jeweils niedrigsten Potenzen von u und  $\alpha$  zu betrachten: nämlich  $3u^3$  und  $\alpha$ . Es bleibt damit

$$u \approx \left(\frac{2}{3}\right)^{\frac{1}{3}} \approx \frac{1}{100}$$

Die Näherung suggeriert also, dass der Abstand Erde- $L_2$  etwa 1/100 astrononmische Einheiten beträgt, ca. 1,5m km. Das stimmt mit der NASA-Infografik zu Webb überein:



Da ist Webb.